


**RÉPUBLIQUE
FRANÇAISE**

*Liberté
Égalité
Fraternité*



ÉTUDE DES PLANS D'EAU DU PROGRAMME DE SURVEILLANCE
DES BASSINS RHONE-MEDITERRANEE ET CORSE –
LOT N°2 CENTRE
RAPPORT DE DONNEES BRUTES ET INTERPRETATION
LAC DE PIERRE-CHÂTEL

SUIVI ANNUEL 2022

Rapport n° 20-8342 – Pierre-Châtel – Juin 2023

*Sciences et Techniques de l'Environnement (S.T.E.)
Savoie Technolac – BP90374 –
17 allée du Lac d'Aiguebelette
73372 Le Bourget-du-Lac cedex
Tel : 04-79-25-08-06 – site internet : ste-eau.com*

STE
L'innovation —
au service de l'eau

Fiche qualité du document

Maître d'ouvrage	Agence de l'Eau Rhône Méditerranée Corse (AERMC) DCP- Service Données Techniques 2-4, Allée de Lodz 69363 Lyon Cedex 07 Interlocuteur : Mr IMBERT Loïc Coordonnées : loic.imbert@eurmc.fr
Titre du projet	Etude des plans d'eau du programme de surveillance des bassins Rhône-Méditerranée et Corse – Rapport de données brutes et interprétation – Lac de Pierre-Châtel.
Référence du document	Rapport n°20-8342 Rapport Pierre-Châtel 2022
Date	Juin 2023
Auteur(s)	S.T.E. Sciences et Techniques de l'Environnement

Contrôle qualité

Version	Rédigée par	Date	Visée par	Date
V0	Marthe Moiron, Sonia Baillot (phytoplancton), Claire Perrier (IML)	13/06/2023	Audrey Péricat	19/07/2023
VF	Marthe Moiron	16/10/2023	Suite aux remarques AERMC, courriel LI du 30/08/2023	

Thématique

Mots-clés	Géographiques : Bassin Rhône-Méditerranée et Corse – Isère (38) – Lac de Pierre-Châtel Thématiques : Réseaux de surveillance – Etat trophique – Plan d'eau
Résumé	Le rapport rend compte de l'ensemble des données collectées sur le lac de Pierre-Châtel lors des campagnes de suivi 2022. Une présentation du plan d'eau et du cadre d'intervention est menée puis les résultats des investigations sont développés dans la suite du document.

Diffusion

Nom	Organisme	Date	Format(s)
Loïc IMBERT	AERMC	19/07/2023	Informatique

Sommaire

1	Cadre du programme de suivi	9
2	Déroulement des investigations.....	11
2.1	Présentation du plan d'eau et localisation	11
2.2	Contenu du suivi 2022.....	12
2.3	Planning de réalisation.....	13
2.4	Étapes de la vie lacustres	13
2.5	Bilan climatique de l'année 2022.....	14
3	Rappel méthodologique	16
3.1	Investigations physicochimiques	16
3.1.1	Méthodologie	16
3.1.2	Programme analytique	18
3.2	Investigations hydrobiologiques	18
3.2.1	Étude des peuplement phytoplanctoniques	19
3.2.2	Étude des peuplements de macrophytes.....	20
3.2.3	Étude des peuplements de phytobenthos	23
3.2.4	Etude des peuplements invertébrés benthiques	24
4	Résultats des investigations	27
4.1	Investigations physicochimiques	27
4.1.1	Profils verticaux et évolutions saisonnières	27
4.1.2	Analyses physico-chimiques sur l'eau	31
4.1.3	Analyses des sédiments.....	34
4.2	Phytoplancton.....	38
4.2.1	Prélèvements intégrés.....	38
4.2.2	Listes Floristiques.....	39
4.2.3	Evolutions saisonnières des groupements phytoplanctoniques	41
4.2.4	Indice Phytoplanctonique IPLAC.....	43
4.2.5	Comparaison avec les inventaires antérieurs.....	43
4.3	Macrophytes	44
4.3.1	Choix des unités d'observation.....	44
4.3.2	Carte de localisation des unités d'observation.....	45
4.3.3	Végétation aquatique identifiée.....	45
4.3.4	Liste des espèces protégées et espèces invasives.....	49
4.3.5	Indice IBML et niveau trophique du plan d'eau	50
4.3.6	Comparaison avec les suivis antérieurs.....	50

4.4	Phytobenthos – méthode IBDLacs	51
4.4.1	Déroulement des prélèvements	51
4.4.2	Inventaire diatomées : liste floristique	51
4.4.3	Conclusions	52
4.5	Macroinvertébrés lacustres	53
4.5.1	Echantillonnage	53
4.5.2	Listes faunistiques	55
4.5.3	Interprétation et indices	56
5	Appréciation globale de la qualité du plan d'eau	58
6	Annexes	61

Tables des illustrations

Carte 1	: Localisation du lac de Pierre-Châtel (Isère)	11
Carte 2	: Présentation du point de prélèvement	12
Carte 3	: Localisation des unités d'observation pour l'étude des macrophytes sur le lac de Pierre-Châtel ...	46
Carte 4	: Localisation des points de prélèvements IML sur le lac de Pierre-Châtel	54
Tableau 1	: Synoptique générique des investigations menées sur une année de suivi d'un plan d'eau	9
Tableau 2	: Liste des plans d'eau suivis sur le centre du bassin Rhône-Méditerranée	10
Tableau 3	: Synoptique des interventions de terrain et de laboratoire sur le plan d'eau	13
Tableau 4	: Seuils de classes d'état définies pour l'IBML	23
Tableau 5	: Résultats des paramètres de minéralisation	31
Tableau 6	: Résultats des paramètres de physico-chimie classique sur eau	31
Tableau 7	: Résultats d'analyses de métaux sur eau	32
Tableau 8	: Résultats d'analyses de micropolluants organiques présents sur eau	34
Tableau 9	: Synthèse granulométrique sur le sédiment du point de plus grande profondeur	34
Tableau 10	: Analyse de sédiments	35
Tableau 11	: Résultats d'analyses de micropolluants minéraux sur sédiment	36
Tableau 12	: Résultats d'analyses de micropolluants organiques présents sur sédiment	37
Tableau 13	: Analyse de la chlorophylle a	38
Tableau 14	: Liste taxonomique du phytoplancton (en nombre de cellules/ml)	39
Tableau 15	: Liste taxonomique du phytoplancton (en mm ³ /l)	40
Tableau 16	: évolution des Indices IPLAC depuis 2007	43
Tableau 17	: Synthèse des résultats des profils IBML de l'UO 1 sur le lac de Pierre-Chatel	47
Tableau 18	: Synthèse des résultats des profils IBML de l'UO 2 sur le lac de Pierre-Chatel	48
Tableau 19	: Synthèse des résultats des profils IBML de l'UO 3 sur le lac de Pierre-Chatel	49
Tableau 20	: Évolution des indices IBML en EQR sur le lac de Pierre Châtel (38)	50
Tableau 21	: Liste des échantillons IBDIac pour le lac de Pierre-Châtel en 2022	51
Tableau 22	: Recouvrements des substrats sur le lac de Pierre-Châtel	53
Tableau 23	: Indices relatifs à l'IML sur le lac de Pierre-Châtel	56

Figure 1 : Moyennes mensuelles de température à la station de Vizille (<i>Info-climat</i>)	15
Figure 2 : Cumuls mensuels de précipitations à la station de Vizille (<i>site Info-climat</i>)	15
Figure 3 : Représentation schématique des différentes stratégies de comptage	19
Figure 4 : Seuils des classes d'état définis pour chaque métrique et pour l'IPLAC.....	20
Figure 5 : Représentation schématique d'une unité d'observation	22
Figure 6 : Echantillonnage IML sur la zone littorale d'un plan d'eau	25
Figure 7 : Profils verticaux de température au point de plus grande profondeur	27
Figure 8 : Profils verticaux de conductivité au point de plus grande profondeur.....	28
Figure 9 : Profils verticaux de pH au point de plus grande profondeur	28
Figure 10 : Profils verticaux d'oxygène (mg/L) au point de plus grande profondeur.....	29
Figure 11 : Profils verticaux d'oxygène (% sat.) au point de plus grande profondeur	29
Figure 12 : Profils verticaux de la chlorophylle a au point de plus grande profondeur	30
Figure 13 : Evolution de la transparence et de la zone euphotique lors des 4 campagnes	38
Figure 14 : Répartition du phytoplancton sur le lac de Pierre-Châtel à partir des abondances (cellules/ml)	41
Figure 15 : Évolution saisonnière des biovolumes des principaux groupes algaux de phytoplancton (mm ³ /l)	41
Figure 16 : Vue d'un point de prélèvement sur le lac de Pierre-Châtel	53
Figure 17 : A gauche : capsule céphalique d' <i>Ablabesmyia</i> (x100), à droite : larve d'éphémères <i>Caenis</i> (x40)	57

1 Cadre du programme de suivi

Dans le cadre de la mise en œuvre de la Directive Cadre européenne sur l'Eau (DCE), adoptée le 23 octobre 2000 et transposée en droit français le 21 avril 2004, un programme de surveillance a été mis en place au niveau national afin de suivre l'état écologique et l'état chimique des eaux douces de surface (cours d'eau et plans d'eau).

L'Agence de l'Eau Rhône Méditerranée Corse a en charge le suivi des plans d'eau faisant partie du programme de surveillance sur les bassins Rhône-Méditerranée et Corse.

Le suivi comprend la réalisation de prélèvements d'eau et de sédiments répartis sur quatre campagnes dans l'année pour analyse des paramètres physico-chimiques et des micropolluants. Différents compartiments biologiques sont étudiés (phytoplancton, macrophytes, diatomées, faune benthique). Le Tableau 1 synthétise les différentes mesures qui sont réalisées dans le cadre du suivi type (selon la nature des plans d'eau et les éléments déjà suivis antérieurement, le contenu du suivi n'englobera pas nécessairement l'ensemble des éléments listés dans le Tableau 1). Un suivi du peuplement piscicole doit également être réalisé dans le cadre du programme de surveillance sur certains types de plans d'eau.

Tableau 1 : Synoptique générique des investigations menées sur une année de suivi d'un plan d'eau

			Paramètres	Type de prélèvements/ Mesures	HIVER	PRINTEMPS	ETE	AUTOMNE
Sur EAU	Mesures in situ		O2 dis. (mg/l, %sat.), pH, COND (25°C), T°, Matières organiques dissoutes fluorescentes, transparence	Profils verticaux	X	X	X	X
	Physico-chimie classique et micropolluants		PO4, Ptot, NH4, NKJ, NO3, NO2, Corg, MEST, Turbidité, Si dissoute, Matières minérales en suspension	Intégré	X	X	X	X
				Ponctuel de fond	X	X	X	X
			Micropolluants sur eau*	Intégré	X	X	X	X
				Ponctuel de fond	X	X	X	X
			Chlorophylle a + phéopigments	Intégré	X	X	X	X
				Ponctuel de fond				
Paramètres de Minéralisation		Ca ²⁺ , Na ⁺ , Mg ²⁺ , K ⁺ , dureté, TAC, SO ₄ ²⁻ , Cl ⁻ , HCO ₃ ⁻	Intégré	X				
			Ponctuel de fond					
Sur SEDIMENTS	Eau interst.: Physico-chimie		PO4, Ptot, NH4					
	Phase solide	Physico-chimie classique	Corg., Ptot, Norg, Granulométrie, perte au feu	Prélèvement au point de plus grande profondeur				X
		Micropolluants	Micropolluants sur sédiments*					
HYDROBIOLOGIE et HYDROMORPHOLOGIE			Phytoplancton	Intégré - Norme XP T90-719 Protocole IRSTEA/Utermöhl	X	X	X	X
			Invertébrés	Protocole Test - Université de Franche-Comté (Dedieu, Verneaux)		X		
			Diatomées	Protocole IRSTEA			X	
			Macrophytes	Norme XP T 90-328			X	

* : se référer à l'arrêté modificatif "Surveillance" du 17 octobre 2018

RCS : un passage par plan de gestion pour le suivi complet (soit une fois tous les six ans / tous les trois ans pour le phytoplancton)

CO : un passage tous les trois ans

Poissons et hydromorphologie en charge de l'OFB (un passage tous les 6 ans)

Différents réseaux constituent le programme de surveillance. Parmi ceux-ci, deux réseaux sont actuellement mis en œuvre sur les plans d'eau :

Le réseau de contrôle de surveillance (RCS) vise à donner une image globale de la qualité des eaux. Tous les plans d'eau naturels de superficie supérieure à 50 ha ont été pris en compte sur les bassins Rhône-Méditerranée et Corse. Pour les plans d'eau d'origine anthropique, une sélection a été opérée parmi les plans d'eau de superficie supérieure à 50 ha, afin de couvrir au mieux les différents types présents sur les bassins Rhône-Méditerranée et Corse (grandes retenues, plans d'eau de digue, plans d'eau de creusement).

Le contrôle opérationnel (CO) vise à suivre spécifiquement les plans d'eau (naturels ou anthropiques) de superficie supérieure à 50 ha qui risquent de ne pas atteindre leurs objectifs environnementaux (le bon état ou le bon potentiel).

Au total, 74 plans d'eau sont suivis sur les bassins Rhône-Méditerranée et Corse dans le cadre de ces deux réseaux.

La liste des plans d'eau suivis en 2022 pour le centre du bassin Rhône-Méditerranée, précisant pour chaque plan d'eau le réseau qui le concerne, est fournie dans le Tableau 2.

Tableau 2 : Liste des plans d'eau suivis sur le centre du bassin Rhône-Méditerranée

Code lac	Libellé	Origine	Dept	Réseaux	Type de suivi réalisé
V1235003	Annecy	Naturel	74	RCS/CO	Classique
V1335003	Bourget	Naturel	73	RCS/CO	Classique
W2715003	Chambon	MEFM	38	RCS	Phytoplancton
W0005083	Chevril	MEFM	73	RCS	Classique
V3005063	Eaux bleues ¹	MEA	69	RCS/CO	Classique
V03-4003	Léman	Naturel	74	RCS/CO	Classique
Y6705023	Mont-cenis	MEFM	73	RCS	Phytoplancton
V2515003	Nantua	Naturel	1	RCS/CO	Classique
W2405023	Pierre-châtel ²	Naturel	38	RCS/CO	Classique
W0435023	Roselend	MEFM	73	RCS	Phytoplancton

¹ échantillonnages diatomées et invertébrés réalisés par la DREAL Auvergne-Rhône-Alpes

² échantillonnages diatomées réalisés par la DREAL Auvergne-Rhône-Alpes

MEFM : masses d'eau fortement modifiée

MEA : masses d'eau artificielle

RCS : réseau de contrôle de surveillance

CO : contrôle opérationnel

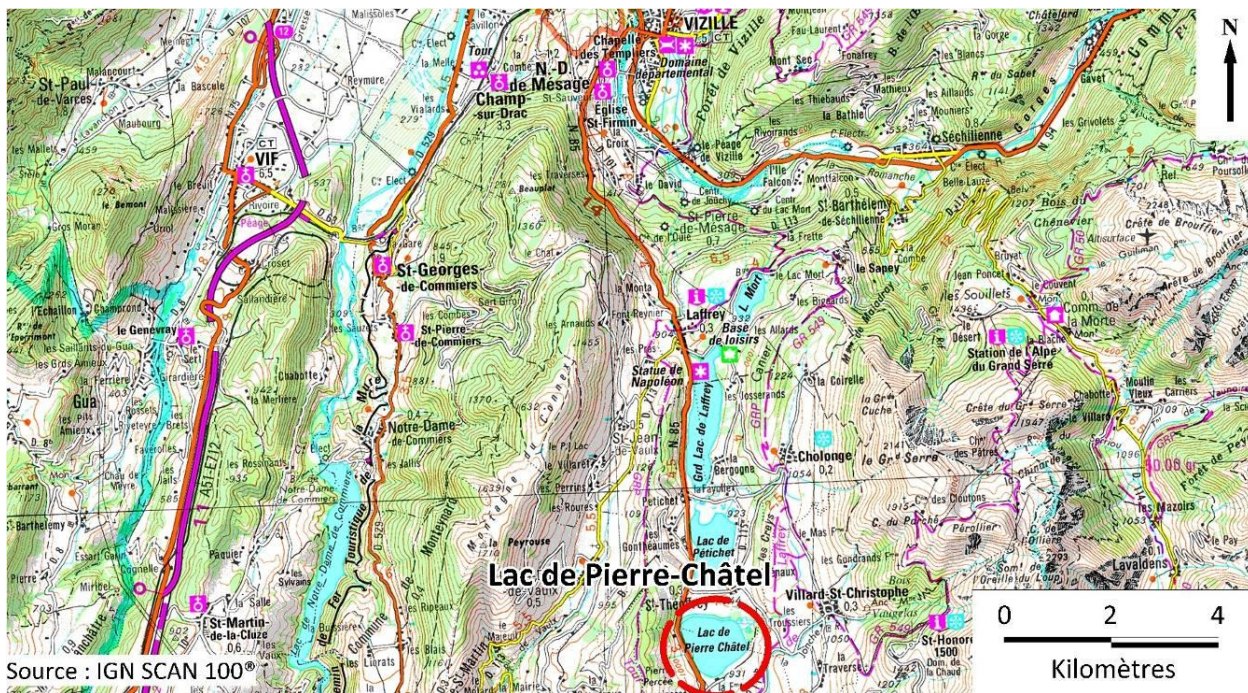
REF : plan d'eau de référence

2 Déroulement des investigations

2.1 Présentation du plan d'eau et localisation

Le lac de Pierre-Châtel (Carte 1) est un plan d'eau naturel d'origine glaciaire situé dans le département de l'Isère. Il se trouve sur le plateau Matheysin, célèbre bassin houiller, qui se situe à plus de 900 m d'altitude. Ce plan d'eau de faible profondeur (10 m) ne présente pas de stratification thermique.

Il a une forme arrondie et couvre une superficie proche de 97 ha. La surface du plan d'eau est gelée une partie de l'hiver, sur décembre à février.



Carte 1 : Localisation du lac de Pierre-Châtel (Isère)

Le lac est alimenté par quelques ruisseaux de petite taille dont la combe de l'Oche. L'exutoire du lac est le canal du Moulin : un ouvrage de régulation permet de gérer le niveau du plan d'eau.

Le plan d'eau est privé, la famille De Marliave est propriétaire du site. Les activités sont regroupées sur la rive sud : plage de baignade, maison du gardien, camping. La navigation motorisée n'est pas autorisée.

La zone de plus grande profondeur se situe au milieu du lac. La plus grande profondeur atteint 10m pour cette année 2022 (Carte 2) comme lors des suivis précédents. Il n'a pas été enregistré de marnage en 2022.



Carte 2 : Présentation du point de prélèvement

Le lac est dimictique, c'est-à-dire qu'il présente deux phases de stratification annuelle : une stratification thermique normale en période estivale et une stratification inverse en période hivernale (prise en glace superficielle).

2.2 Contenu du suivi 2022

Le lac de Pierre-Châtel est suivi au titre des Réseaux de Contrôle de Surveillance (RCS) et du Contrôle Opérationnel (CO). Les précédents suivis ont eu lieu en 2013, 2016, et 2019.

Le plan d'eau présente la pression suivante à l'origine du risque de non atteinte des objectifs environnementaux fixés par la DCE :

- ✓ Pollution par les nutriments agricoles.

Les compartiments biologiques ont été suivis à travers le peuplement phytoplanctonique (IPLAC), l'étude de la végétation aquatique (IBML), et l'étude de la faune invertébrée lacustre (IML).

L'étude du phytobenthos (IBDLac) a été réalisée par la DREAL-ARA. Les résultats et interprétations qui en découlent, sont intégrés dans ce présent rapport.

2.3 Planning de réalisation

Le tableau ci-dessous indique la répartition des missions aussi bien en phase terrain qu'en phase laboratoire/détermination. S.T.E. a, en outre, eu en charge de coordonner la mission et de collecter l'ensemble des données pour établir les rapports et mener l'exploitation des données.

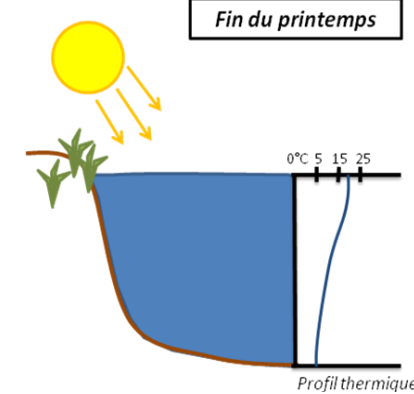
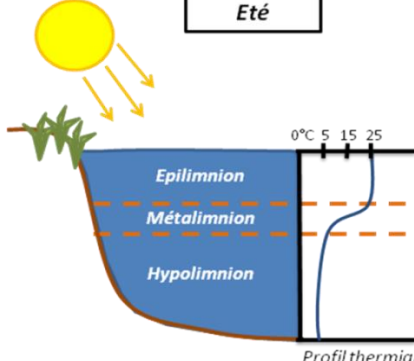
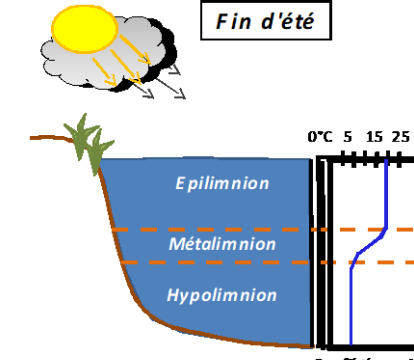
Tableau 3 : Synoptique des interventions de terrain et de laboratoire sur le plan d'eau

Lac de Pierre-Châtel	Phase terrain					Laboratoire - détermination
	C1	C2	Biologie	C3	C4	
Campagne						
Date	29/03/2022	07/06/2022		12/08/2022	16/09/2022	Automne/hiver 2022-2023
Physicochimie des eaux	S.T.E.	S.T.E.		S.T.E.	S.T.E.	CARSO
Physicochimie des sédiments					S.T.E.	LDA 26
Phytoplancton	S.T.E.	S.T.E.		S.T.E.	S.T.E.	LEMNA : Sonia Baillot
Indice biologique macrophytique en lac (IBML)			S.T.E / MOSAIQUE (21 & 22/07/2022)			MOSAIQUE Environnement : M. Reich
Indice biologique Diatomées en lac (IBDLacs)			DREAL ARA (31/08/2022)			DREAL ARA
Indice macro-invertébrés lacustres (IML)			S.T.E. (27/04/22)			S.T.E. (faune y/c Chironomidae)

2.4 Étapes de la vie lacustres

Les investigations physicochimiques ont été réalisées lors de quatre campagnes qui correspondent aux différentes étapes de développement de la vie lacustre.

<p><u>Campagne 1</u></p> <p>La première campagne correspond à la phase d'homothermie du plan d'eau. La masse d'eau est homogène (en température et en oxygène). Sur les lacs dimictiques, cette phase intervient en fin d'hiver à la suite du dégel. La période varie entre juin et juillet suivant l'altitude du plan d'eau.</p>	<p>Stratification hivernale - Brassage de fin d'hiver</p>
--	--

<p>Campagne 2</p> <p>La seconde campagne correspond à la période de démarrage et de développement de l'activité biologique des lacs. Il s'agit de la période de mise en place de la stratification thermique conditionnée par le réchauffement. Cette campagne correspond à la phase printanière de croissance du phytoplancton. La campagne est donc généralement réalisée durant les mois de mai à juin (exceptionnellement juillet pour les plans d'eau d'altitude).</p>	<p style="text-align: center;">Fin du printemps</p>  <p style="text-align: center;">Profil thermique</p>
<p>Campagne 3</p> <p>La troisième campagne correspond à la période de stratification maximum du plan d'eau avec une thermocline bien installée avec une 2^{ème} phase de croissance du phytoplancton. Cette phase intervient en période estivale. La campagne est donc réalisée durant les mois de juillet à août, lorsque l'activité biologique est généralement maximale.</p>	<p style="text-align: center;">Été</p>  <p style="text-align: center;">Profil thermique</p>
<p>Campagne 4</p> <p>La quatrième campagne correspond à la fin de la stratification estivale du plan d'eau. Elle intervient avant la baisse de la température et la disparition de la thermocline. L'épilimnion présente alors son épaisseur maximale. Cette phase intervient en fin d'été : la campagne est donc réalisée durant le mois de septembre voire début octobre selon l'altitude du plan d'eau et le climat de l'année.</p>	<p style="text-align: center;">Fin d'été</p>  <p style="text-align: center;">Profil thermique</p>

2.5 Bilan climatique de l'année 2022

Les conditions climatiques de l'année 2022 pour le lac de Pierre-Châtel sont analysées à partir de la station météorologique de Vizille (à 280 m d'altitude), située à 10 km au nord du plan d'eau dans la basse vallée de la Romanche. Cette station dispose d'enregistrements depuis 2008.

L'année 2022 a été globalement assez chaude par rapport aux moyennes de saison (Figure 1)¹ avec une température moyenne de 13,6°C en 2022 contre 12,8°C sur la période 2008-2021, soit +0,8°C. Les températures sont très élevées de mai à août 2022 avec une augmentation moyenne des températures de 1,75°C par rapport aux normales saisonnières de 2008-2021.

¹ Pour les figures 1 et 2, les moyennes saisonnières n'apparaissent pas sur les graphiques compte-tenu de la faible chronique de la station météorologique.

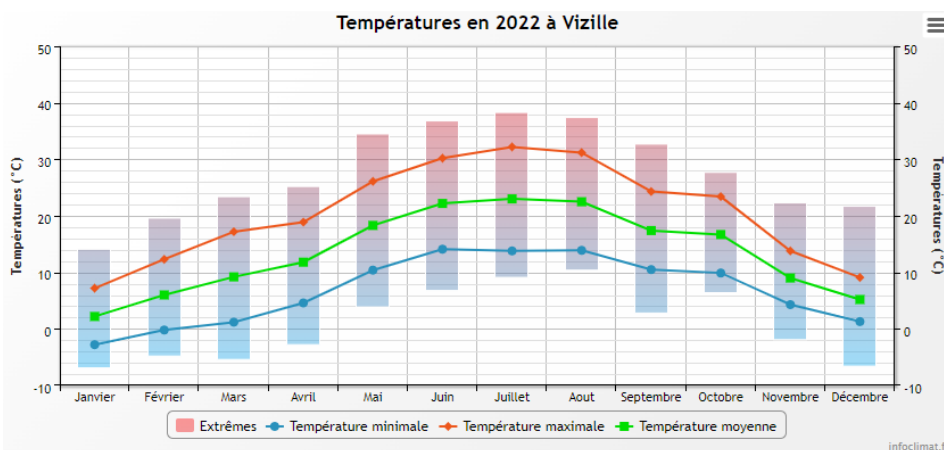


Figure 1 : Moyennes mensuelles de température à la station de Vizille (Info-climat)

Le cumul de précipitations en 2022 est inférieur à la normale (748 mm en 2022 contre 844 mm mesuré en moyenne sur la période 2008-2021), soit **-11% de pluviométrie**. Ces données sont présentées sur la Figure 2. La station ne dispose pas de normales saisonnières en raison d'une faible chronique (13 ans). Un graphique a été établi sur la base des moyennes mensuelles de 2008 à 2021 afin de pouvoir les comparer aux données de 2022. La chronique étant faible, l'interprétation sera moins représentative et à prendre avec du recul.

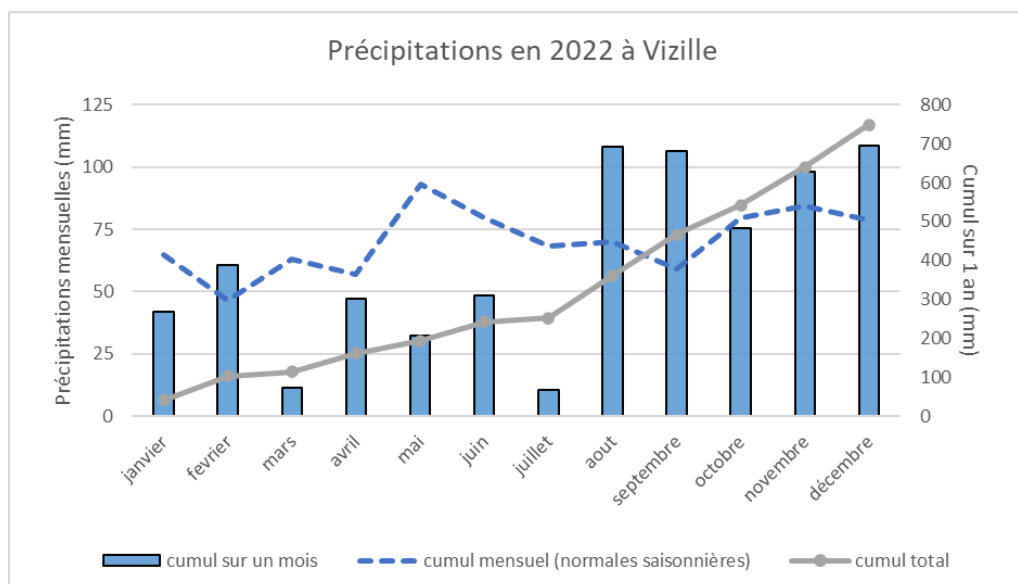


Figure 2 : Cumuls mensuels de précipitations à la station de Vizille (site Info-climat)

Il ressort les éléments suivants :

- ✓ Déficits importants en mars, mai et juillet (cumul < -60%) par rapport à la période 2008-2021;
- ✓ Précipitations importantes en aout et septembre 2022 (cumul ≈ 110 mm) soit plus du double des cumuls moyens de précipitations sur ces mois sur la période 2008-2021 ;

L'année 2022 a connu un hiver doux et principalement sec avec un mois de février avec des précipitations excédentaires, et un mois de mars déficitaire. Puis la période de mars à juillet est en déficit par rapport aux normales saisonnières de 2008-2021. C'est à partir du mois de mai que les températures deviennent élevées. Des précipitations importantes seront recensées lors des mois d'aout et de septembre. Puis l'hiver se finira en moyenne plutôt bien arrosé.

L'année 2022 a été très chaude et déficitaire en pluviométrie notamment en apports neigeux sur les massifs alpins.

3 Rappel méthodologique

3.1 Investigations physicochimiques

3.1.1 METHODOLOGIE

Le contenu des investigations physicochimiques est similaire sur les quatre campagnes réalisées.

Le profil vertical et les prélèvements sont réalisés dans le secteur de plus grande profondeur que l'on recherche à partir des données collectées au préalable (fiche station fournie par l'Agence de l'Eau, bathymétrie, étude, communication avec les gestionnaires). Dans le cas des retenues, cette zone se situe en général à proximité du barrage dans le chenal central. Sur le terrain, la recherche du point de plus grande profondeur est menée à l'aide d'un échosondeur.

Au point de plus grande profondeur, sont effectués, dans l'ordre :

- a) **une mesure de transparence** au disque de Secchi, avec lecture côté "ombre" du bateau pour une parfaite acuité visuelle. Chacun des deux opérateurs fait la lecture en aveugle (1^{ère} lecture non indiquée au 2^{ème} lecteur).
- b) **un profil vertical** de température (°C), conductivité ($\mu\text{S}/\text{cm}$ à 25°C), pH (u. pH) et oxygène dissous (% sat. et mg/l). Il est réalisé à l'aide de 2 sondes multiparamètres OTT MS5 et EXO qui peuvent effectuer des mesures jusqu'à 200 m de profondeur : les sondes MS1 et MS2 disposant d'une mémoire interne pouvant être programmée pour enregistrer les données à une fréquence de temps définie préalablement (5 secondes). Les sondes sont équipées d'un capteur de pression permettant d'enregistrer la profondeur de la mesure. Les deux sondes sont descendues en parallèle sur la colonne d'eau pour le recueil du profil vertical.

Un profil vertical du paramètre Chlorophylle a est également mené lors de toutes les campagnes à l'aide d'une sonde EXO.

- c) **trois prélèvements pour analyses physicochimiques :**
 - **l'échantillon intégré** est en général constitué de prélèvements ponctuels tous les mètres² sur la zone euphotique (soit 2,5 fois la transparence) ; ces prélèvements unitaires, de même volume, sont réalisés à l'aide d'une bouteille Kemmerer 1,2 L (téflon) et disposés, pour conditionner les échantillons dans une cuve en inox de 25 L équipée d'un robinet inox. Pour les analyses physicochimiques (uniquement micropolluants minéraux et organiques), 10 litres sont nécessaires. Une fois l'échantillon finalisé, le conditionnement est réalisé en respectant l'ensemble des prescriptions du laboratoire ;
 - **l'échantillon ponctuel de fond** est prélevé à environ 2 m du fond, pour éviter la mise en suspension des sédiments. Les prélèvements sont réalisés à l'aide d'une bouteille Niskin X *General Oceanics* téflonnée (5,2 L) et disposés dans une cuve en inox de 25 litres et équipée d'un robinet inox pour conditionner les échantillons. Pour les analyses physicochimiques (physico-chimie classique, micropolluants minéraux et organiques), 15 litres sont nécessaires. Une fois l'échantillon finalisé, le conditionnement est réalisé en respectant l'ensemble des prescriptions du laboratoire.

² Compte tenu de la transparence Tr. de certains plans d'eau, exprimable en plusieurs mètres, la règle du Tr. x 2,5 a parfois conduit à une valeur calculée supérieure à la profondeur du plan d'eau. Dans ces cas, le prélèvement a été arrêté à 1 m du fond, pour éviter le prélèvement d'eau de contact avec le sédiment, qui peut, selon les cas, présenter des caractéristiques spécifiques. Inversement, lorsque la transparence est très faible, amenant à une épaisseur de zone euphotique d'à peine quelques mètres, les prélèvements peuvent être resserrés à un pas moindre que 1 m (par exemple : tous les 50 cm).

Pour chaque échantillon, le laboratoire CARSO fournit une glacière avec les flacons préalablement étiquetés adaptés aux analyses demandées par l'Agence de l'Eau RM&C.

Les échantillons sont conservés dans une enceinte isolée au contact de blocs réfrigérants, puis envoyés par transporteur TNT pour un acheminement au laboratoire CARSO dans un délai de 24h, sauf cas particuliers.

d) un prélèvement intégré destiné à l'analyse du phytoplancton et de la chlorophylle et aux analyses de physico-chimie classique :

Les prélèvements doivent être obligatoirement intégrateurs de la colonne d'eau correspondant à la zone euphotique. Pour les analyses, 7 litres sont nécessaires. Ainsi, selon la profondeur de la zone euphotique, plusieurs matériels peuvent être utilisés, l'objectif étant de limiter les aliquotes, et donc les manipulations afin que l'échantillon soit le plus homogène possible :

- ✓ le tuyau intégrateur (système décrit dans le protocole de l'IRSTEA) est adaptable pour toute profondeur, le volume échantillonné dépend du diamètre du tuyau. S.T.E. a mis au point 2 tuyaux : l'un de 5 ou 9 m de diamètre élevé ($\varnothing 18$ mm) pour les zones euphotiques réduites, et l'autre de 30 m ($\varnothing 14$ mm) pour les transparences élevées.

A partir de 2022, la filtration de la chlorophylle n'est plus effectuée sur le terrain par S.T.E. Un flacon de 1L blanc opaque est envoyé au laboratoire d'analyses qui réalise la filtration directement au laboratoire.

Pour l'analyse du phytoplancton, 2 échantillons sont réalisés dans des flacons blancs opaques en PP de 250 ml dûment étiquetés (nom du lac, date, préleveur, campagne). Un volume connu de lugol (3 à 5 ml) est ajouté pour fixation. Les échantillons sont conservés au réfrigérateur. Un des deux échantillons est ensuite transmis au bureau d'études LEMNA, en charge de la détermination et du comptage du phytoplancton. L'autre échantillon est conservé dans les locaux de S.T.E. dans le cadre du contrôle qualité.

Pour les analyses de physico-chimie classique, le laboratoire CARSO fournit une glacière avec les flacons préalablement étiquetés adaptés aux analyses demandées par l'Agence de l'Eau RM&C.

Les échantillons sont conservés dans une enceinte isolée au contact de blocs réfrigérants, puis envoyés par transporteur TNT pour un acheminement au laboratoire CARSO dans un délai de 24h, sauf cas particuliers.

e) un prélèvement de sédiment :

Ce type de prélèvement n'est réalisé que lors d'une seule campagne, celle de fin d'été (septembre), susceptible de représenter la phase la plus critique pour ce compartiment. Le prélèvement de sédiments est réalisé impérativement **après** les prélèvements d'eau afin d'éviter tout risque de mise en suspension de particules du sédiment lors de son échantillonnage, et donc de contamination du prélèvement d'eau (surtout celui du fond).

Il est réalisé par une série de prélèvements à la benne Ekman. Au vu de sa taille et de la fraction ramenée par ce type de benne (en forme de secteur angulaire), de 2 à 5 prélèvements sont réalisés pour ramener une surface de l'ordre de $1/10$ m². La structure du sédiment est observée sur chacun des échantillons dans le double but de :

- ✓ description (couleur, odeur, aspect, granulométrie...);
- ✓ sélection de la seule tranche superficielle (environ 2-3 premiers cm) destinée à l'analyse.

Pour chaque échantillon, le laboratoire LDA26 fournit une glacière avec le flacon adapté aux analyses demandées par l'Agence de l'Eau RM&C. Les échantillons sont conservés dans une enceinte

isolée au contact de blocs réfrigérants, puis envoyés par transporteur Chronopost pour un acheminement au Laboratoire de la Drôme (LDA26) dans un délai de 24h, sauf cas particuliers.

3.1.2 PROGRAMME ANALYTIQUE

Concernant les analyses, les paramètres suivants sont mesurés :

- ✓ sur le prélèvement intégré destiné aux analyses de physico-chimie classique et de la chlorophylle :
 - turbidité, MES, COD, DBO₅, DCO, PO₄³⁻, P_{tot}, NH₄⁺, NKJ, NO₃⁻, NO₂⁻, silicates ;
 - chlorophylle *a* et indice phéopigments ;
 - dureté, TAC, HCO₃⁻, Ca⁺⁺, Mg⁺⁺, Na⁺, K⁺, Cl⁻, SO₄⁻, F⁻ ;
- ✓ sur le prélèvement intégré destiné aux analyses de micropolluants minéraux et organiques :
 - micropolluants minéraux et organiques : liste des substances fournie en annexe I.
- ✓ sur le prélèvement de fond :
 - turbidité, MES, COD, DBO₅, DCO, PO₄³⁻, P_{tot}, NH₄⁺, NKJ, NO₃⁻, NO₂⁻, silicates ;
 - micropolluants minéraux et organiques : liste des substances fournie en annexe I.

Les paramètres analysés sur les sédiments prélevés lors de la 4ème campagne sont les suivants :

- ✓ sur la phase solide (fraction < 2 mm) :
 - granulométrie ;
 - matières sèches minérales, perte au feu, matières sèches totales ;
 - carbone organique ;
 - phosphore total ;
 - azote Kjeldahl ;
 - micropolluants minéraux et organiques : liste des substances fournie en annexe II.
- ✓ Sur l'eau interstitielle :
 - orthophosphates ;
 - phosphore total ;
 - ammonium.

3.2 Investigations hydrobiologiques

Les investigations hydrobiologiques menées en 2022 comprennent :

- ✓ l'étude des peuplements phytoplanctoniques à partir de la norme XP T 90-719, « Échantillonnage du phytoplancton dans les eaux intérieures » pour la phase d'échantillonnage. Pour la partie détermination, on se réfère à la Norme guide pour le dénombrement du phytoplancton par microscopie inversée (norme NF EN 15204, décembre 2006), correspondant à la méthode d'Utermöhl, et suivant les spécifications particulières décrites au chapitre 5 du « Protocole standardisé d'échantillonnage, de conservation, d'observation et de dénombrement du phytoplancton en plan pour la mise en œuvre de la DCE » - Version 3.3.1, septembre 2009 ;
- ✓ l'étude des peuplements de macrophytes sur le lac s'appuie sur la méthode mise au point par l'IRSTEA et décrite au sein de la norme AFNOR XP T90-328 : « Échantillonnage des communautés de macrophytes en plans d'eau », décembre 2010 ;

- ✓ l'étude des peuplements de phytobenthos à partir du protocole d'échantillonnage des communautés de phytobenthos en plans d'eau (IRSTEA ; version 1.2 de février 2013) ;
- ✓ l'étude du peuplement invertébré à partir du protocole mis au point par l'Université de Franche-Comté (N. Dedieu – V. Verneaux, Mars 2022) : « Indice Macroinvertébrés Lacustres (IML), GUIDE TECHNIQUE, Notice d'application et de calcul ».

3.2.1 ÉTUDE DES PEUPEMENT PHYTOPLANCTONIQUES

Les prélèvements ont été effectués par S.T.E. lors des campagnes de prélèvements pour analyses physico-chimiques. La détermination a été réalisée par Sonia Baillot du bureau d'études LEMNA, spécialiste en systématique et écologie des algues d'eau douce.

3.2.1.1 Prélèvement des échantillons

Les prélèvements ont été réalisés selon la méthodologie présentée au point d) du §d) du présent chapitre « Rappel méthodologique ».

3.2.1.2 Détermination des taxons

La détermination est faite au microscope inversé, à l'espèce dans la mesure du possible.

À noter : la systématique du phytoplancton est en perpétuelle évolution, les références bibliographiques se confortent ou se complètent, mais s'opposent quelquefois. Il est donc important de rappeler qu'il vaut mieux une bonne détermination à un niveau taxonomique moindre qu'une mauvaise à un niveau supérieur (Laplace-Treytore et al., 2009).

L'analyse quantitative implique l'identification et le dénombrement des taxons observés dans une surface connue de la chambre de comptage. Selon la concentration en algues décroissante, le comptage peut être réalisé de trois manières différentes (Figure 3).

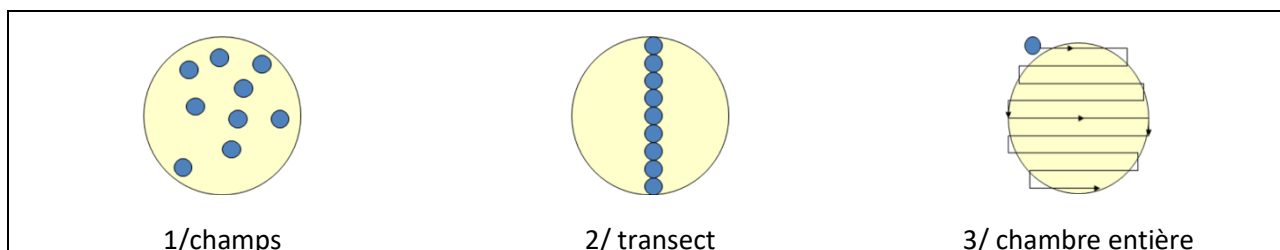


Figure 3 : Représentation schématique des différentes stratégies de comptage

Le comptage est réalisé en balayant des champs strictement aléatoires, ou des transects, ou la chambre entière jusqu'à atteindre 400 individus algaux. La stratégie de comptage utilisée est fonction de la concentration des algues.

Différentes règles de comptage sont appliquées, en respect des échanges inter-opérateurs issus des réunions d'harmonisation phytoplancton INRA 2015-2016. Il est entendu que :

- ✓ tout filament, colonie, ou cœnobe, compte pour un individu algal à X cellules. Le nombre de cellules présentes dans le champ et par individu est dénombré (cellules/individus algaux) ;
- ✓ seules les cellules contenant un plaste (excepté pour les cyanobactéries et chrysophycées à logettes) sont comptées. Les cellules vides des colonies, des cœnobes, des filaments ou des diatomées ne sont pas dénombrées ;
- ✓ les logettes des chrysophycées (ex : *Dinobryon*, *Kephyrion*,...) sont dénombrées même si elles sont vides, les cellules de flagellés isolées ne sont pas dénombrées ;

- ✓ pour les diatomées, en cas de difficulté d'identification et de fortes abondances (supérieures à 20% de l'abondance totale), une préparation entre lame et lamelle selon le mode préparatoire décrit par la norme NF T 90-354 (AFNOR) est effectuée.

3.2.1.3 Traitement des données

Les résultats sont exprimés en nombre de cellules par millilitre. Ils sont également exprimés en biovolume (mm^3/l), ce qui reflète l'occupation des différentes espèces. En effet, les espèces de petite taille n'occupent pas un même volume que les espèces de grandes tailles. Les biovolumes sont obtenus de trois manières :

- ✓ grâce aux données proposées par le logiciel Phytobs (version 3.1.3), d'aide au dénombrement ;
- ✓ si les données sont absentes, les mesures sur 30 individus lors de l'observation au microscope sont employées pour calculer un biovolume robuste ;
- ✓ si l'ensemble des dimensions utiles au calcul n'est pas observé, les données complémentaires issues de la bibliographie sont employées.

Le comptage terminé, la liste bancarisée dans l'outil de comptage PHYTOBS est exportée au format .xls ou .csv. Cet outil permet de présenter des résultats complets.

Le calcul de l'indice Phytoplancton lacustre ou IPLAC est réalisé à l'aide du Système d'Évaluation de l'État des Eaux (SEEE). Il s'appuie sur 2 métriques :

- ✓ la Métrique de biomasse algale ou MBA est basée sur la concentration moyenne de la chlorophylle a sur la période de végétation ;
- ✓ la Métrique de Composition Spécifique ou MCS exprime une note en fonction de la présence (exprimée en biovolume) de taxons indicateurs, figurant dans une liste de référence de 165 taxons (SEEE 1.1.0). À chaque taxon correspond une cote spécifique et une note de sténoécie, représentant l'amplitude écologique du taxon. La note finale est obtenue en mesurant l'écart avec la valeur prédite en condition de référence.

La note IPLAC résulte de l'agrégation par somme pondérée de ces deux métriques.

Valeurs de limite	Classe
[1 - 0.8]	Très bon
]0.8 - 0.6]	Bon
]0.6 - 0.4]	Moyen
]0.4 - 0.2]	Médiocre
]0.2 - 0]	Mauvais

Figure 4 : Seuils des classes d'état définis pour chaque métrique et pour l'IPLAC

L'interprétation des caractéristiques écologiques du peuplement permet d'établir si une dégradation de la note indicielle peut être expliquée par la présence de taxons polluo-tolérants ou favorisés par une abondance de nutriments liée à l'eutrophisation du milieu, ou être liée au fonctionnement du milieu (stratification, anoxie,...).

L'utilisation de la bibliographie et des groupes morfo-fonctionnels permet d'affiner notre analyse et d'évaluer la robustesse de la note IPLAC obtenue.

3.2.2 ÉTUDE DES PEUPEMENTS DE MACROPHYTES

La méthodologie s'appuie sur la norme AFNOR XP T90-328 « échantillonnage des communautés de macrophytes en plans d'eau », décembre 2010.

L'étude des peuplements de macrophytes a été réalisée par Mathilde Reich ou Éric Boucard du bureau d'études Mosaïque Environnement assisté par un technicien de S.T.E.

3.2.2.1 Choix des unités d'observation

Le positionnement des unités d'observation (UO) est basé sur la méthode de Jensen. À l'issue de cette première phase, le nombre de points-pivots d'investigations est ainsi déterminé et les points pivots sont localisés. Intervient alors une deuxième phase qui permet d'effectuer un choix parmi ces points désormais qualifiables de potentiels.

Les linéaires de rives du plan d'eau sont classés selon les formations végétales et les aménagements de rive, en référence à la typologie des rives de la norme XP T 90-328 :

- ✓ type 1 : zones humides caractéristiques ;
- ✓ type 2 : avec végétation arbustive/arborescente non humide ;
- ✓ type 3 : sans végétation arbustive/arborescente non humide ;
- ✓ type 4 : zones artificialisées, avec pressions anthropiques.

La norme AFNOR XP T90-328 indique le nombre d'unités d'observation à réaliser en fonction de la superficie du plan d'eau : au moins 3 UO pour un plan d'eau inférieur à 250 ha, au moins 6 UO pour un plan d'eau de 250 à 1000 ha et au moins 8 UO pour un plan d'eau supérieur à 1000 ha.

Finalement, les unités d'observation sont choisies parmi les points contacts définis par la méthode de Jensen, avec comme objectif de représenter tous les types de rives dont le linéaire est égal ou supérieur à 10% du total du linéaire du plan d'eau.

Les unités d'observation ont été reprises du suivi antérieur pour les plans d'eau ayant déjà fait l'objet d'une étude macrophytes afin d'assurer la continuité des suivis de végétation.

3.2.2.2 Description d'une unité d'observation

Schématiquement, chaque unité d'observation comporte :

- ✓ un relevé de la zone littorale L, de part et d'autre du point central, sur une longueur maximale de 100 m ;
- ✓ profils P1 à P3, perpendiculaires à la rive (= 3 relevés), espacés au maximum de 50 m et au minimum de 10 m sur lesquels on effectue les observations.

La zone littorale s'étend jusqu'à 1 m de profondeur, la prospection vise à détecter l'ensemble des espèces présentes et leur abondance relative.

Sur chacun des 3 transects perpendiculaires à la rive, 30 points contacts sont répartis de manière homogène, l'échantillonnage est mené à l'aide d'un râteau télescopique ou d'un grappin.

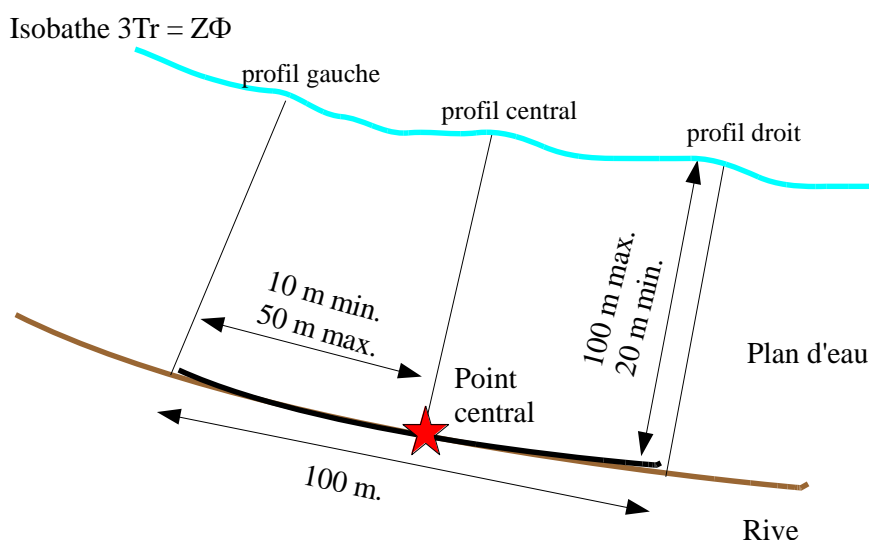


Figure 5 : Représentation schématique d'une unité d'observation

Les espèces déterminables sur place sont déterminées à l'aide d'une loupe de terrain (x10 et x20). L'observation au bathyscope permet de bien contrôler le prélèvement au râteau. Les échantillons sont ensuite prélevés (sauf espèces protégées), numérotés, conservés, puis déterminés au bureau à l'aide d'une loupe binoculaire et/ou d'un microscope (ex : cas des algues et bryophytes).

3.2.2.3 Traitement des données/ bancarisation

Toutes les informations descriptives de terrain demandées par la norme, et les listes floristiques par UO/transect et points contacts, ont été saisies dans les formulaires Excel mis à disposition par l'IRSTEA.

Pour toutes précisions sur les modalités de calcul de l'indice, il convient de se reporter à la note de calcul de l'indice établie par l'IRSTEA³.

Une typologie de plans d'eau a été constituée à partir des critères environnementaux disponibles lors du développement de l'indice, critères correspondant à ceux utilisés dans les groupes européens d'intercalibration, c'est à dire l'altitude et l'alcalinité. Les types IBML se déclinent en 4 catégories, et les calculs EQR (Ecological Quality Ratio = écart à la référence) sont présentés dans le tableau suivant.

Types IBML	Calcul EQR
B-Aci : plans d'eau de basse altitude (< à 300 m) et à caractère acide (inférieur à 1 mEq.l ⁻¹)	$EQR_{B-Aci} = 1.404 * (IBML / 13.20) - 0.532$
B-Alc : plans d'eau de basse altitude (< à 300 m) et à caractère alcalin (supérieur à 1 mEq.l ⁻¹)	$EQR_{B-Alc} = 1.543 * (IBML / 10.51) - 0.734$
H-Aci : plans d'eau de moyenne et haute altitude (> à 300 m) et à caractère acide (inférieur à 1 mEq.l ⁻¹)	$EQR_{H-Aci} = 1.399 * (IBML / 14.16) - 0.492$
H-Alc : plans d'eau de moyenne et haute (> à 300 m) et à caractère alcalin (supérieur à 1 mEq.l ⁻¹)	$EQR_{H-Alc} = 1.497 * (IBML / 11.83) - 0.633$

Pour chaque type IBML, les seuils de référence sont donnés par la médiane des notes d'IBML obtenues sur les plans d'eau dits « de référence » du type concerné. La limite de classe « Très

³ S. Boutry, V. Bertrin, A. Dutartre. 2015. Indice Biologique Macrophytique Lac (IBML), Notice de calcul. Rapport technique, IRSTEA. 30p.

bon/Bon » est donnée par le 75^e percentile déterminé sur les données des sites de référence. Les seuils des classes d'état de l'indice IBML, exprimé en EQR, sont donnés dans le Tableau 4.

Tableau 4 : Seuils de classes d'état définies pour l'IBML

Valeurs de limite	Classe
[1 - 0.8]	Très bon
]0.8 - 0.6]	Bon
]0.6 - 0.4]	Moyen
]0.4 - 0.2]	Médiocre
]0.2 - 0]	Mauvais

L'indice IBML est calculé à partir du SEEE version utilisateur V1.0.1. Cet indice n'est constitué pour l'instant que d'une seule métrique : la note de trophie. Il renseigne sur le niveau de dégradation globale du peuplement macrophytique.

3.2.3 ÉTUDE DES PEUPELEMENTS DE PHYTOBENTHOS

Les diatomées benthiques, présentes sur les macrophytes (la base immergée des hélophytes) ou sur des supports inertes durs dans les plans d'eau, sont prélevées afin de produire des échantillons représentatifs du peuplement diatomique en place, considéré comme un indicateur de la qualité de l'eau.

La méthode s'appuie sur le document suivant : *l'étude des peuplements de phytobenthos à partir du protocole d'échantillonnage des communautés de phytobenthos en plans d'eau (IRSTEA ; version 1.2 de février 2013)*.

Les prélèvements et déterminations ont été effectués par la DREAL ARA.

3.2.3.1 Prélèvements IBDlacs

Les prélèvements de diatomées benthiques sont réalisés en période estivale sur les unités d'observation choisies pour l'étude des communautés de macrophytes, telles qu'elles sont décrites dans la norme XP T90-328 (décembre 2010).

L'échantillonnage doit se faire si possible sur 2 types de substrat :

- ✓ échantillonnage sur substrat minéral dur : l'échantillonnage se fait de préférence sur des éléments granulométriques de grande taille tels que des blocs rocheux ou des galets. Un minimum de 5 supports doit être prélevé, équivalant à une surface finale de 100 cm², pris au hasard. Les supports choisis doivent être immergés à une profondeur comprise dans la zone euphotique et ne doivent pas être prélevés à plus de 50 cm de profondeur ;
- ✓ échantillonnage sur les tiges de macrophytes (hélophytes) : l'échantillonnage se fait sur des macrophytes dont au moins la base est immergée de manière permanente, si possible sur hélophytes (notamment *Phragmites australis*). Pour un plan d'eau donné, l'échantillonnage est fait sur des macrophytes du même type biologique, et, si possible, sur le même taxon. 5 tiges minimum (jeunes pousses avec recouvrement algues filamenteuses <75%) sont prélevées.

Les tiges recouvertes par plus de 75% d'algues filamenteuses ne sont pas prélevées. Les échantillons sont conservés à l'alcool à 90°.

3.2.3.2 Phase de détermination et d'interprétation

Le traitement des diatomées benthiques est réalisé selon la norme française NF T 90-354 d'avril 2016 et la norme européenne NF EN 14407 d'avril 2014.

Les diatomées sont identifiées au microscope optique équipé du contraste de phase au grossissement x1000 à immersion. Entre 400 et 430 valves sont comptées afin d'établir une liste floristique diatomées. Si les 400 unités ne sont pas atteintes à l'issue de la première lame, une seconde peut être analysée.

La saisie des listes floristiques est réalisée, sous forme de code à 4 lettres, à l'aide d'OMNIDIA 6.1.2.

Actuellement, l'indice diatomées spécifique des plans d'eau n'est pas disponible. Les deux principaux indices utilisés en France, l'Indice de Polluosensibilité Spécifique, l'IPS (Cemagref, 1982) et l'Indice Biologique Diatomées, l'IBD (Lenoir & Coste, 1996), sont adaptés aux cours d'eau et ne peuvent être utilisés pour les communautés de diatomées benthiques des plans d'eau.

L'interprétation porte donc sur la composition du peuplement en termes de taxons dominants avec un commentaire sur leur écologie. Les classifications de Van Dam et al. (1994) ou d'Hofmann (1994) ainsi que les données bibliographiques des espèces sont utilisées afin de définir les caractéristiques écologiques des communautés de diatomées, notamment l'affinité vis-à-vis de la matière organique (saprobie) et le degré de trophie. Des commentaires sur les affinités écologiques des taxons dominants sont réalisés et permettent d'appréhender les éventuelles pollutions présentes ou dégradations constatées.

3.2.4 ETUDE DES PEUPELEMENTS INVERTEBRES BENTHIQUES

Le peuplement invertébré fait l'objet d'un protocole d'échantillonnage mis au point par l'Université de Franche-Comté (N. Dedieu – V. Verneaux, Mars 2022) : « Indice Macroinvertébrés Lacustres (IML), GUIDE TECHNIQUE, Notice d'application et de calcul ».

Ce protocole doit permettre d'étudier les pressions physiques et chimiques subies par les populations invertébrées peuplant les littoraux. Un indice de qualité est calculé : l'Indice Macroinvertébrés Lacustres (IML).

Afin de récolter le maximum de taxons, la période d'échantillonnage est celle qui précède les émergences des imagos d'insectes, c'est-à-dire avant le réchauffement printanier des eaux. Cette période est à adapter à la situation géographique des hydrosystèmes et aux conditions climatiques. Elle peut donc s'étaler de fin mars à début juillet. Pour les plans d'eau marnants, il faut combiner cette période à celle où le plan d'eau atteint une cote stabilisée depuis au moins 15 jours.

L'étude des peuplements invertébrés a été réalisée par S.T.E. pour les parties prélèvements et analyse-déterminations des macroinvertébrés (y compris les chironomes).

3.2.4.1 Sélection des points d'échantillonnages

15 points sont à échantillonner pour la réalisation du protocole IML. La sélection des points se base sur le travail de description des habitats réalisés par l'OFB lors de l'étude menée sur les conditions morphologiques du plan d'eau (protocole CHARLI : Caractérisation des Habitats des Rives et du Littoral des plans d'eau). Une base de données « CHARLI » intègre ces informations et est disponible auprès de l'INRAE – pôle ECLA.

Les recouvrements des substrats littoraux sont connus et peuvent donc servir à établir un plan d'échantillonnage pour les prélèvements IML. Seuls les substrats dont le recouvrement dépasse 5%

sont pris en compte. Les pourcentages de recouvrement des substrats sélectionnés sont ramenés à 100%. Enfin le nombre d'échantillons à prélever sur chaque substrat est défini par la formule suivante :

$$n = \frac{\%rec}{100} \times 15$$

avec n = nombre d'échantillon à prélever sur le substrat

$\%rec$ = pourcentage de recouvrement des substrats sélectionnés (>5%)

Les 15 points sont ensuite placés sur une carte selon les règles du protocole : par exemple les zones de baignade ou de travaux sont évitées et les zones les plus représentatives pour chaque substrat sont privilégiées afin d'obtenir un échantillon homogène. Les coordonnées des points ainsi placés sont exportées sur la fiche terrain ou directement sur le GPS terrain pour s'orienter rapidement une fois sur le lac.

3.2.4.2 Phase de prélèvements

Les prélèvements s'effectuent à l'aide d'une embarcation et d'un troubleau équipé d'un filet de maille 300 μ m. Les opérateurs se repèrent sur le lac grâce à un GPS de terrain et la carte de localisation des points d'échantillonnages préalablement établie.

Seule la zone littorale située hors de l'influence du batillage est visée. Les prélèvements doivent donc être effectués dans une bande d'une largeur limitée à 10 m de la berge et à des profondeurs comprises entre 50 cm et 1 m (Figure 6). La méthode consiste à ramener par des mouvements de va et vient une partie du substrat dans le filet. L'opérateur peut rester dans l'embarcation ou en descendre pour plus de stabilité selon la configuration du littoral. Au moins 3 balayages sont réalisés sur chaque point sur une longueur de 40 cm afin d'atteindre une surface de prélèvement de 0.1m² (largeur troubleau= 25cm x longueur balayage 40 cm). Le premier passage met en suspension la faune et les suivants permettent de la récolter. Il est demandé de prélever un volume maximum de 1L.



Figure 6 : Echantillonnage IML sur la zone littorale d'un plan d'eau

Une fois la faune et le substrat collectés, les opérateurs nettoient et retirent les éléments les plus grossiers afin de préserver l'échantillon pendant le transport et la conservation (risque d'endommagement des invertébrés). Chaque échantillon est ensuite conditionné séparément dans un flacon identifié de manière non équivoque et conservé à l'alcool 95%.

Une fiche terrain est renseignée avec les substrats effectivement prélevés, leur profondeur, les coordonnées précises des points d'échantillonnages et toutes les informations nécessaires à l'interprétation des résultats (conditions hydrologiques, problèmes rencontrés, ...).

3.2.4.3 Phase laboratoire

Le traitement des échantillons au laboratoire s'apparente à celui préconisé par la norme NF T 90-388 destinée aux échantillons d'invertébrés prélevés en rivières. Il s'agit de séparer la faune du substrat (tri) et d'identifier au niveau taxonomique requis les larves et imagos collectés (détermination) à l'aide de tamis, pinces, loupe et stéréomicroscope.

A la différence de la norme NF T 90-388, certains taxons comme les oligochètes et hydracariens ne sont pas pris en compte. La détermination des larves de *Chironomidae* est également plus poussée : le niveau requis pour la norme en rivières est la famille alors que le protocole mis en œuvre en plan d'eau va jusqu'au genre. Cette détermination générique étant basée essentiellement sur l'observation des caractéristiques de la capsule céphalique des chironomes, elle requiert l'utilisation d'un microscope avec montage de chaque individu entre lame et lamelle après un pré-traitement des larves à la potasse (KOH 10%) et à l'acide (HCl 10%).

3.2.4.4 Traitement des données

Toutes les données récoltées (cotes journalières et taxons) sont envoyées et traitées à l'Université de Franche-Comté (V. Verneaux). La liste des taxons identifiés est saisie dans un tableur ainsi que les caractéristiques du lac étudié (altitude, conductivité, géologie, cotes journalières, ...). Les données mésologiques sont issues du guide technique relatif à l'Indice Macroinvertébrés Lacustres – IML (version de février 2022) établi par l'Université de Franche-Comté (N. Dedieu – V. Verneaux, Mars 2022) : « Indice Macroinvertébrés Lacustres (IML), GUIDE TECHNIQUE, Notice d'application et de calcul ».

Il existe deux versions de l'IML :

- ✓ L'**IML_{E-PE}** : Indice d'évaluation de l'**Etat écologique** de tous les lacs naturels et indice d'évaluation du **Potentiel Ecologique** des lacs artificiels faiblement marnant (marnage max. ≤ 2 m).
- ✓ L'**IML_{PE}** : Indice d'évaluation du Potentiel Ecologique pour les lacs artificiels dont le marnage maximum dépasse 2m.

Ces indices comportent chacun trois sous-indices (chimie, habitat et marnage) utiles à la compréhension de la qualité finale.

Les seuils de classes d'état des indices et sous-indices de l'IML (E-PE et PE) sont donnés dans le tableau ci-après :

Limites de classe	$1 \leq \text{IML} \leq 0,8$	$0,8 < \text{IML} \leq 0,6$	$0,6 < \text{IML} \leq 0,4$	$0,4 < \text{IML} \leq 0,2$	$0,2 < \text{IML} \leq 0$
Classe d'état	Très bon	Bon	Moyen	Médiocre	Mauvais

Les résultats de l'indice sont donnés à titre indicatif, celui-ci n'étant pas encore intégré aux règles officielles d'évaluation de l'état des plans d'eau (arrêté du 27/07/2018 modifiant l'arrêté « Evaluation » du 25 janvier 2010). De plus, la valeur doit être considérée avec précaution puisque non issue de l'outil national officiel de calcul des indicateurs à considérer dans l'évaluation de l'état des eaux (SEEE).

Des indices de diversité et d'équitabilité sont également calculés (indice de Shannon et de Piélou) afin d'étudier la variété et la répartition des taxons au sein du peuplement.

4 Résultats des investigations

4.1 Investigations physicochimiques

Les comptes rendus des campagnes de prélèvements physicochimiques et phytoplanctoniques sont présentés en Annexe III.

4.1.1 PROFILS VERTICAUX ET EVOLUTIONS SAISONNIERES

Le suivi prévoit la réalisation de profils verticaux sur la colonne d'eau à chaque campagne. Cinq paramètres sont mesurés : la température, la conductivité, l'oxygène (en concentration et en % saturation), le pH et la chlorophylle a . Les graphiques regroupant ces résultats pour chaque paramètre lors des 4 campagnes, sont affichés dans ce chapitre.

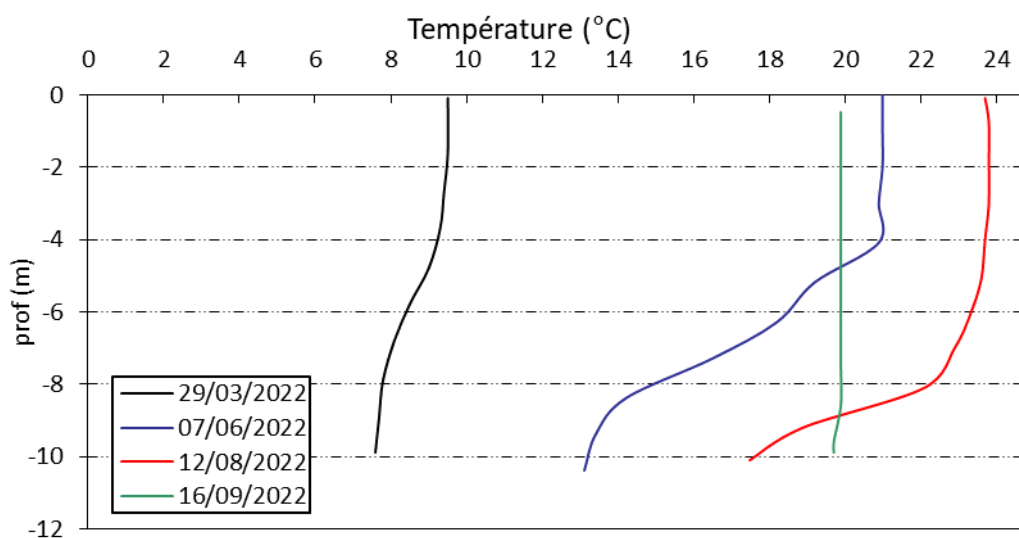


Figure 7 : Profils verticaux de température au point de plus grande profondeur

En fin d'hiver, la température est de 9.5°C jusqu'à 4 m de profondeur, et de 7.6 °C au fond du lac.

Lors de la campagne printanière, la masse d'eau s'est largement réchauffée en surface avec les chaleurs du mois de juin : la température est de 21°C en surface et diminue progressivement pour atteindre 13.1°C au fond.

Le réchauffement de la colonne d'eau se poursuit durant la période estivale : la température est proche de 24°C jusqu'à 5 m de profondeur, et diminue ensuite pour atteindre 17.5°C au fond.

Un brassage des eaux a ensuite lieu entre les campagnes 3 et 4, homogénéisant la colonne d'eau à la température de 19.9°C le 16 septembre.

Les profils thermiques 2022 sur le lac de Pierre-Châtel sont très similaires à ceux de 2019 et 2016 : la colonne d'eau n'est pas véritablement stratifiée thermiquement en raison de la faible profondeur du plan d'eau. Lors des campagnes 2 et 3, un épilimnion est défini mais la thermocline n'est pas aboutie (aucune distinction entre métalimnion et hypolimnion).

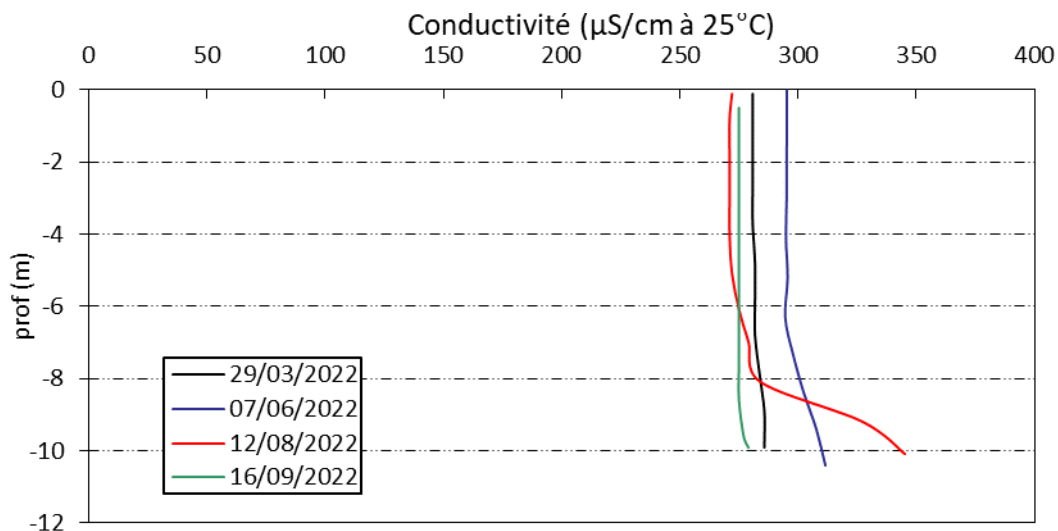


Figure 8 : Profils verticaux de conductivité au point de plus grande profondeur

La conductivité indique une eau moyennement minéralisée, typiquement en lien avec les terrains morainiques sur lesquels reposent les lacs du plateau Matheysin, associés aux substrats calcaires des versants.

Elle varie peu lors des 4 campagnes de mesures avec des valeurs comprises entre 271 et 295 $\mu\text{S}/\text{cm}$ à 25°C.

Globalement, les profils sont relativement homogènes à environ 270-280 $\mu\text{S}/\text{cm}$ lors de toutes les campagnes avec toutefois, une légère augmentation à proximité du fond lors des campagnes estivales (312 $\mu\text{S}/\text{cm}$ le 07 juin et 345 $\mu\text{S}/\text{cm}$ le 12 août), en lien avec les processus de minéralisation de la matière organique.

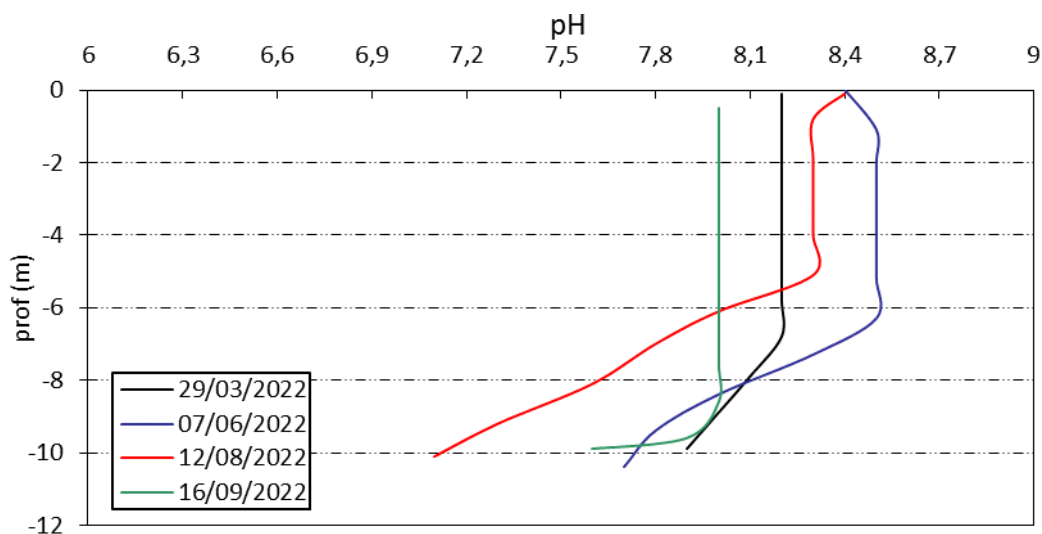


Figure 9 : Profils verticaux de pH au point de plus grande profondeur

Le pH est alcalin dans les eaux de Pierre-Châtel. En fin d'hiver, il est quasi homogène à 8 u pH. Les profils des campagnes 2 et 3 suivent des courbes analogues :

- ✓ le pH est un peu plus élevé dans l'épilimnion (8,3 à 8,5 jusqu'à 5 à 6 m de profondeur) du fait de l'activité photosynthétique qui entraîne une augmentation du pH ;
- ✓ le pH est plus faible dans l'hypolimnion (7,1 à 7,7 au fond) où les processus de respiration et de décomposition entraînent une diminution du pH.
- ✓ En fin d'été, les eaux ont été brassées et le profil pH est similaire à la campagne 1 (et homogène jusque très proche du fond).

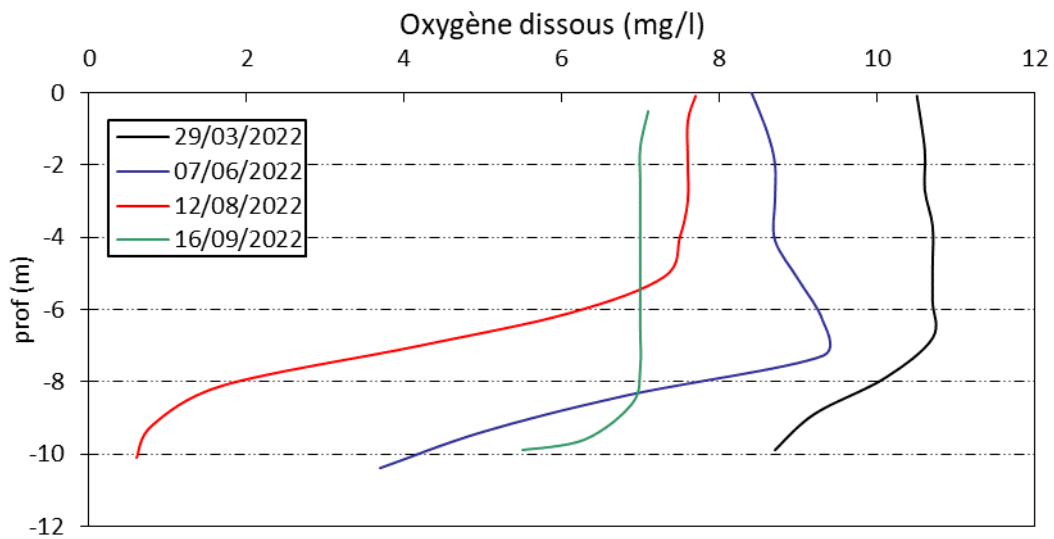


Figure 10 : Profils verticaux d'oxygène (mg/L) au point de plus grande profondeur

En fin d'hiver, une désoxygénation partielle du fond de la masse d'eau est déjà observée (82 % sat). La surface est oxygénée de façon optimale.

Les campagnes 2 et 3 sont ensuite marquées par une nette consommation d'oxygène à proximité immédiate du fond (35% sat le 07 juin et seulement 7% sat le 12 août) alors que les 7 à 8 premiers mètres restent relativement homogènes et bien oxygénés (97 à 101 % de saturation). La demande en oxygène dans le fond du plan d'eau est très importante et aboutit à des conditions anoxiques sur le mois d'août.

La campagne 4 se caractérise enfin par une ré-homogénéisation de la colonne d'eau jusqu'à 9 m de profondeur (à 87% de saturation en oxygène), et une légère réoxygénation. Cette campagne a eu lieu pendant le brassage de la masse d'eau, qui se produit fréquemment sur ce plateau d'altitude très venté.

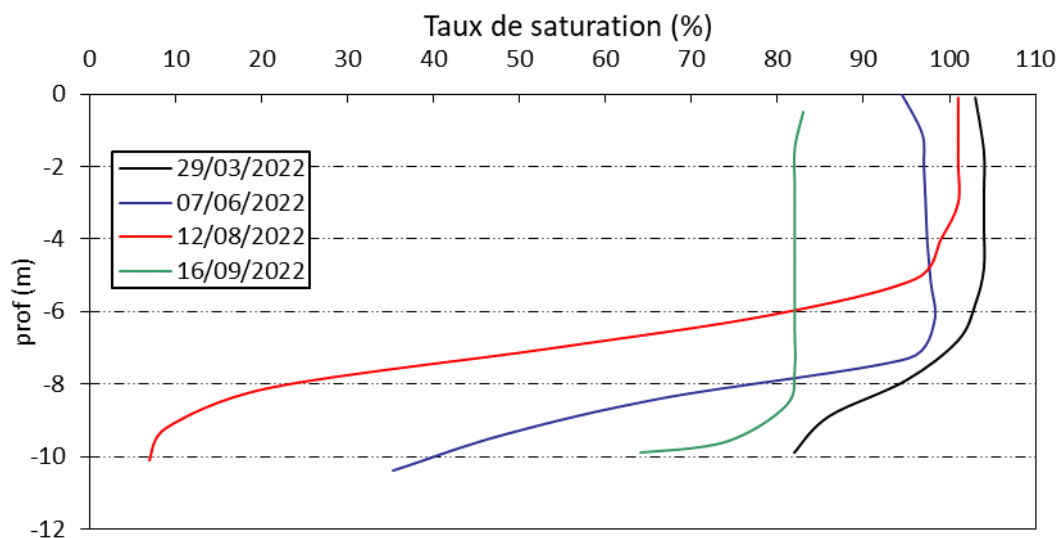


Figure 11 : Profils verticaux d'oxygène (% sat.) au point de plus grande profondeur

La chlorophylle a , est étudiée à l'aide d'une sonde EXO équipée d'un capteur spécifique qui mesure la concentration en chlorophylle a en $\mu\text{g/l}$. Les profils des quatre campagnes sont présentés sur la Figure 12.

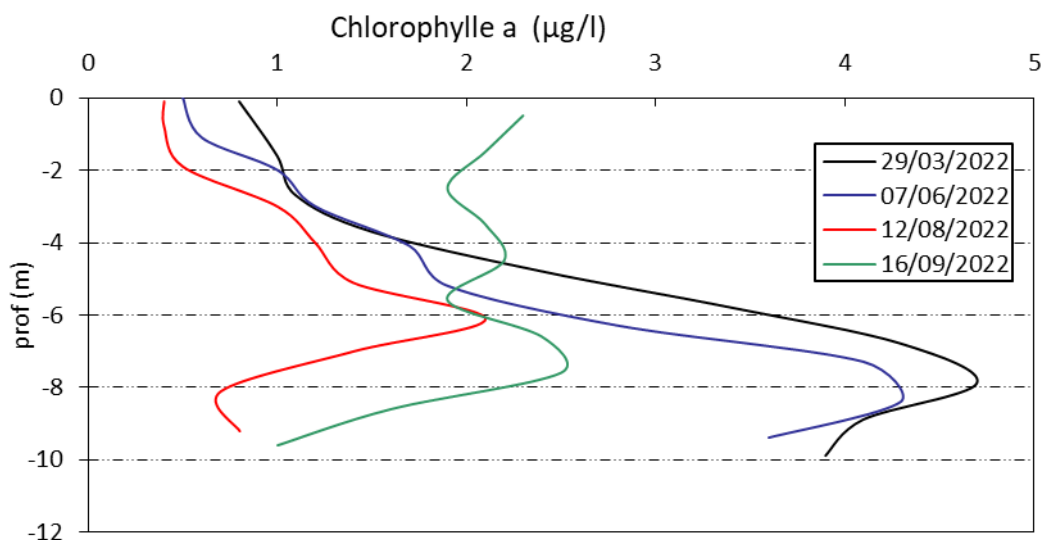


Figure 12 : Profils verticaux de la chlorophylle a au point de plus grande profondeur

Sur le lac de Pierre-Châtel, les profils montrent des teneurs en chlorophylle non négligeables (1 à 5 µg/l). Des pics de chlorophylle sont enregistrés (4 à 5 µg/l) à environ 8 m de profondeur lors des campagnes de fin d'hiver et de printemps. En période estivale, le pic est à 6 m de profondeur (2 µg/l).

Lors de la dernière campagne, la concentration en chlorophylle est plus faible (≈ 2 µg/l) mais homogène sur toute la colonne d'eau.

4.1.2 ANALYSES PHYSICO-CHIMIQUES SUR L'EAU

4.1.2.1 Paramètres de constitution et typologie du lac

N.B. pour tous les tableaux suivants : LQ = limite de quantification.

Les résultats des paramètres de minéralisation des campagnes 2022 sont présentés dans le Tableau 5.

Tableau 5 : Résultats des paramètres de minéralisation

Lac de Pierre-Chatel (38)		Unité	Code sandre	LQ	29/03/2022		07/06/2022		12/08/2022		16/09/2022	
Code plan d'eau: W0435023					intégré	fond	intégré	fond	intégré	fond	intégré	fond
Minéralisation	Bicarbonates	mg(HCO ₃)/L	1327	6,1	142,0	143,0	140,0	148,0	134,0	154,0	137,0	137,0
	Dureté	°F	1345	0,5	12,1	12,2	12,4	12,5	11,7	12,9	11,6	11,5
	TAC	°F	1347	0,5	11,6	11,7	11,8	12,2	11,0	12,7	11,3	11,2
	Calcium	mg(Ca)/L	1374	0,1	40,2	40,9	41,4	42,0	38,2	42,9	37,6	37,5
	Chlorures	mg(Cl)/L	1337	0,1	10,0	10,0	11,0	11,0	11,0	11,0	11,0	11,0
	Magnésium	mg(Mg)/L	1372	0,05	4,90	4,90	5,00	4,90	5,20	5,20	5,30	5,20
	Potassium	mg(K)/L	1367	0,1	0,7	0,7	0,8	0,8	0,9	1,0	0,8	0,8
	Sodium	mg(Na)/L	1375	0,2	7,8	7,7	7,3	7,3	7,7	7,9	7,9	7,8
	Sulfates	mg(SO ₄)/L	1338	0,2	13,0	13,0	13,0	12,0	12,0	8,9	11,0	11,0

Les résultats indiquent une eau moyennement riche en hydrogénocarbonates, de dureté moyenne (≈ 12 °F), conformément à la nature mixte (moraines et calcaires) des terrains environnants.

Globalement, les eaux du lac de Pierre-Châtel sont relativement riches en sodium et en chlorures. Les concentrations en calcium, magnésium et sulfates sont assez faibles.

4.1.2.2 Analyses physicochimiques des eaux (hors micropolluants)

Tableau 6 : Résultats des paramètres de physico-chimie classique sur eau

Lac de Pierre-Chatel (38)		Unité	Code sandre	LQ	29/03/2022		07/06/2022		12/08/2022		16/09/2022	
Code plan d'eau: W0435023					intégré	fond	intégré	fond	intégré	fond	intégré	fond
PC eau	Carbone organique	mg(C)/L	1841	0,2	2,5	2,5	2,4	2,4	3,3	3,1	3,1	3
	DBO	mg(O ₂)/L	1313	0,5	<LQ	0,8	<LQ	1,0	1,1	1,1	1,1	0,8
	DCO	mg(O ₂)/L	1314	20	<LQ	<LQ	<LQ	<LQ	<LQ	<LQ	<LQ	<LQ
	Azote Kjeldahl	mg(N)/L	1319	0,5	<LQ	<LQ	<LQ	<LQ	<LQ	1,3	<LQ	<LQ
	Ammonium	mg(NH ₄)/L	1335	0,01	0,08	0,09	0,06	0,09	0,11	0,46	0,20	0,20
	Nitrates	mg(NO ₃)/L	1340	0,5	1,4	1,3	1,0	0,6	<LQ	<LQ	<LQ	<LQ
	Nitrites	mg(NO ₂)/L	1339	0,01	0,01	0,01	0,01	0,01	<LQ	<LQ	<LQ	<LQ
	Phosphates	mg(PO ₄)/L	1433	0,01	0,02	0,03	<LQ	<LQ	0,02	0,02	0,01	0,02
	Phosphore total	mg(P)/L	1350	0,005	<LQ	0,011	<LQ	0,006	<LQ	0,010	0,005	0,006
	Silicates	mg(SiO ₂)/L	1342	0,05	9,90	10,40	7,50	9,30	11,60	15,80	13,00	13,40
	MeS	mg/L	1305	1	1,4	1,3	1,4	1,7	1,4	6,6	3,0	1,2
	Turbidité	NFU	1295	0,1	1,3	1,4	1,1	2,1	2,8	7,3	1,7	1,8

Les analyses des fractions dissoutes ont été réalisées sur eau filtrée (COD, NH₄, NO₃, NO₂, PO₄, Si).

La concentration en carbone organique dissous est moyenne, comprise entre 2.4 et 3.3 mg/l. L'azote Kjeldahl est sous le seuil de quantification pour tous les échantillons (hormis au fond en août (1.3 mg(N)/l)), de même que la DCO, suggérant une absence de pollution organique. La DBO₅ est assez faible, comprise entre 0.8 et 1.1 mg/l.

Les eaux du lac de Pierre-Châtel sont faiblement chargées en matières en suspension (entre 1 et 7 mg/l de MeS). Elles sont un peu plus chargées en période estivale, et d'autant plus lorsqu'il y a présence d'azote organique, et le maximum de silicates.

Concernant les nutriments, les concentrations en nitrates sont faibles en fin d'hiver (1.4 mg/l) et diminuent ensuite durant la période estivale (<0.5mg/l) : les nitrates sont consommés pour la production biologique. En fin d'hiver, les concentrations en orthophosphates sont également faibles ($[\text{PO}_4^{3-}] = 0.03 \text{ mg/l}$). Le rapport N/P⁴ est élevé (168) en fin d'hiver : Le phosphore est donc le facteur limitant pour la production végétale par rapport à l'azote.

La présence de la forme réduite de l'azote NH_4^+ lors de toutes les campagnes est à signaler bien que les teneurs restent modérées, l'observation avait déjà été faite en 2019 et 2016.

La concentration en silicates est assez élevée sur l'ensemble de la colonne d'eau, lors des 4 campagnes. Elle est comprise entre 7.5 et 15.8 mg/l.

4.1.2.3 Micropolluants minéraux

Tableau 7 : Résultats d'analyses de métaux sur eau

Lac de Pierre-Chatel (38)		Unité	Code sandre	LQ	29/03/2022		07/06/2022		12/08/2022		16/09/2022	
Code plan d'eau: W0435023					intégré	fond	intégré	fond	intégré	fond	intégré	fond
Métaux	Aluminium	µg(Al)/L	1370	2	<LQ	<LQ	<LQ	<LQ	<LQ	<LQ	<LQ	<LQ
	Antimoine	µg(Sb)/L	1376	0,5	<LQ	<LQ	<LQ	<LQ	<LQ	<LQ	<LQ	<LQ
	Argent	µg(Ag)/L	1368	0,01	<LQ	<LQ	<LQ	<LQ	<LQ	<LQ	<LQ	<LQ
	Arsenic	µg(As)/L	1369	0,05	0,31	0,3	0,39	0,33	0,81	1,18	0,8	0,82
	Baryum	µg(Ba)/L	1396	0,5	56,7	58,5	60,1	59,5	70,5	80,2	70,2	72,5
	Beryllium	µg(Be)/L	1377	0,01	<LQ	<LQ	<LQ	<LQ	<LQ	<LQ	<LQ	<LQ
	Bore	µg(B)/L	1362	10	<LQ	<LQ	<LQ	<LQ	<LQ	<LQ	<LQ	<LQ
	Cadmium	µg(Cd)/L	1388	0,01	<LQ	<LQ	<LQ	<LQ	<LQ	<LQ	<LQ	<LQ
	Chrome	µg(Cr)/L	1389	0,5	<LQ	<LQ	<LQ	<LQ	<LQ	<LQ	<LQ	<LQ
	Cobalt	µg(Co)/L	1379	0,05	<LQ	<LQ	<LQ	<LQ	<LQ	<LQ	<LQ	<LQ
	Cuivre	µg(Cu)/L	1392	0,1	0,19	1,3	0,23	0,23	0,17	0,11	0,17	0,18
	Etain	µg(Sn)/L	1380	0,5	<LQ	<LQ	<LQ	<LQ	<LQ	<LQ	<LQ	<LQ
	Fer	µg(Fe)/L	1393	1	2,6	3	3,4	4,7	6	12,6	4,2	3,9
	Lithium	µg(Li)/L	1364	0,5	1,9	1,8	2,1	2	2,4	2,3	2,3	2,3
	Manganèse	µg(Mn)/L	1394	0,5	<LQ	<LQ	<LQ	1,9	3,5	2,2	1,5	1,2
	Mercuré	µg(Hg)/L	1387	0,01	<LQ	<LQ	<LQ	<LQ	<LQ	<LQ	<LQ	<LQ
	Molybdène	µg(Mo)/L	1395	1	<LQ	<LQ	<LQ	<LQ	<LQ	<LQ	<LQ	<LQ
	Nickel	µg(Ni)/L	1386	0,5	<LQ	<LQ	<LQ	<LQ	<LQ	0,5	<LQ	<LQ
	Plomb	µg(Pb)/L	1382	0,05	<LQ	<LQ	<LQ	<LQ	<LQ	<LQ	<LQ	<LQ
	Sélénium	µg(Se)/L	1385	0,1	0,15	0,12	0,12	<LQ	<LQ	<LQ	<LQ	0,1
	Tellure	µg(Te)/L	2559	0,5	<LQ	<LQ	<LQ	<LQ	<LQ	<LQ	<LQ	<LQ
	Thallium	µg(Tl)/L	2555	0,01	0,022	<LQ						
	Titane	µg(Ti)/L	1373	0,5	<LQ	<LQ	<LQ	<LQ	<LQ	<LQ	<LQ	<LQ
	Uranium	µg(U)/L	1361	0,05	0,08	0,08	0,09	0,08	0,1	0,08	0,09	0,09
	Vanadium	µg(V)/L	1384	0,1	0,19	0,2	0,18	0,16	0,22	<LQ	0,23	0,24
	Zinc	µg(Zn)/L	1383	1	<LQ	<LQ	<LQ	<LQ	<LQ	<LQ	<LQ	<LQ

Les eaux du lac de Pierre-Châtel sont assez pauvres en métaux (16 éléments non quantifiés sur 26). Elles sont assez riches en baryum. Parmi les autres éléments de constitution du substrat, on trouve régulièrement de l'uranium, du vanadium et plus ponctuellement du sélénium.

⁴ le rapport N/P est calculé à partir de $[\text{Nminéral}]/[\text{P-PO}_4^{3-}]$ avec N minéral = $[\text{N-NO}_3^-] + [\text{N-NO}_2^-] + [\text{N-NH}_4^+]$ sur la campagne de fin d'hiver.

Parmi les métaux lourds, on note la présence :

- ✓ d'arsenic dans les 8 échantillons, à des concentrations faibles à modérées en fin de saison (0.3 à 1.18 µg/l) ;
- ✓ de cuivre dans les 8 échantillons, à des concentrations faibles de l'ordre de 0.2 µg/l, sauf dans l'échantillon de fond en C1 (1.3 µg/l) ;

De plus, la présence de fer et de manganèse est marquée dans les eaux lors de la campagne du mois d'août : 12.6 mg/l de Fe et ≈ 3.5 mg/l de Mn. Ces éléments sont présents dans les eaux lors des autres campagnes, mais en plus faible quantité.

4.1.2.4 Micropolluants organiques

Le Tableau 8 indique les micropolluants organiques qui ont été quantifiés lors des campagnes de prélèvements. La liste de l'ensemble des substances analysées est fournie en Annexe I.

*Pour plusieurs paramètres, la limite de quantification varie de manière importante entre les différentes campagnes réalisées en 2022. Le laboratoire a rencontré des problèmes analytiques (interférences environnementales, pollution temporaire pour certains des paramètres), ce qui l'a conduit à **augmenter** les limites de quantification d'un certain nombre de composés.*

19 micropolluants organiques ont été détectés dans les eaux du lac de Pierre-Châtel. Parmi eux, on recense uniquement une substance de manière systématique :

- ✓ La Metformine est mesurée dans tous les échantillons entre 0.010 et 0.026 µg/l. Il s'agit d'une substance médicamenteuse, analysée dans les eaux depuis 2018. C'est un antidiabétique oral appartenant à la famille des biguanides qui a été retrouvé dans de nombreux plans d'eau des bassins RMC .

Les autres substances retrouvées de manière récurrente sont les suivantes :

- ✓ Des cyanures libres dans les échantillons des campagnes 1, 3 et 4 ;
- ✓ Deux composés plastifiants : le n-butylPhtalate dans les échantillons estivaux (0.06 à 0.11 µg/l), ainsi que le Di(2-ethylhexyl)phtalate (DEHP) de 0.2 à 0.7 µg/l ;
- ✓ Deux stimulants d'origine naturelle végétale : la caféine et la nicotine (ainsi que son métabolite : la cotinine), mesurés dans la plupart des échantillons.

Tableau 8 : Résultats d'analyses de micropolluants organiques présents sur eau

Lac de Pierre-Chatel (38)		Unité	Code sandre	LQ	29/03/2022		07/06/2022		12/08/2022		16/09/2022	
Code plan d'eau: W0435023					intégré	fond	intégré	fond	intégré	fond	intégré	fond
Antioxydant	4-tert-butylphénol	µg/L	2610	0,01	<LQ	<LQ	<LQ	0,012	<LQ	0,011	<LQ	<LQ
Autre phénol	Nitrophénol-2	µg/L	1637	0,02	0,022	0,026	0,021	<LQ	<LQ	<LQ	<LQ (0,03)	<LQ (0,03)
Dérivé benzenique	N-Butylbenzenesulfonamide	µg/L	5299	0,1	<LQ	<LQ	<LQ	0,11	<LQ	<LQ	<LQ	0,14
Divers	Acétaldéhyde	µg/L	1454	5	<LQ	<LQ	<LQ	<LQ	6	17	<LQ	<LQ
Divers	Cyanures libres	µg(CN)/L	1084	0,2	0,30	0,26	<LQ	<LQ	0,85	0,66	0,28	0,23
HAP	Naphtalène	µg/L	1517	0,005	<LQ	0,005						
Médicament	2-Hydroxy Ibuprofen	µg/L	7012	0,01	<LQ	<LQ	<LQ	<LQ	0,013	<LQ	<LQ	<LQ
Médicament	Acide salicylique	µg/L	5355	0,05	<LQ	<LQ	<LQ	0,213	<LQ	0,164	<LQ	<LQ
Médicament	Metformine	µg/L	6755	0,005	0,0257	0,0236	0,0195	0,0141	0,0136	0,0100	0,0158	0,0157
Musc synthétique pour parfums	Galaxolide	µg/L	6618	0,025	<LQ (0,05)	<LQ	0,111	0,131	<LQ	<LQ	<LQ	<LQ
Organostannique	Monobutyletain cation	µg/L	2542	0,0025	<LQ	<LQ	0,055	0,051	<LQ	<LQ	<LQ	<LQ
Plastifiant	Bisphénol-A	µg/L	2766	0,02	0,027	<LQ						
Plastifiant	DEHP	µg/L	6616	0,2	0,68	0,25	0,30	<LQ	<LQ	<LQ (0,7)	0,22	<LQ
Plastifiant	n-Butyl Phtalate	µg/L	1462	0,05	<LQ	<LQ	0,11	<LQ	0,06	<LQ (0,08)	<LQ	<LQ
Semi-volatils divers	Formaldéhyde	µg/L	1702	1	<LQ	<LQ	<LQ	<LQ	<LQ	2	<LQ	<LQ
Stimulant	1,7-Dimethylxanthine	µg/L	6751	0,02	<LQ	<LQ	<LQ	0,043	<LQ	0,025	<LQ	<LQ
Stimulants	Cafeine	µg/L	6519	0,01	<LQ	<LQ	0,033	0,057	0,037	0,414	0,024	0,057
Stimulants	Cotinine	µg/L	6520	0,005	0,006	0,007	<LQ	0,010	0,007	0,006	0,009	0,007
Stimulants	Nicotine	µg/L	5657	0,02	0,046	0,047	<LQ	0,426	<LQ	<LQ	0,033	0,050

*Réhausse temporaire de la LQ de certains paramètres, suite à un problème analytique
Résultat incertain*

4.1.3 ANALYSES DES SEDIMENTS

4.1.3.1 Analyses physicochimiques des sédiments (hors micropolluants)

Le Tableau 9 fournit la synthèse de l'analyse granulométrique menée sur les sédiments prélevés.

Tableau 9 : Synthèse granulométrique sur le sédiment du point de plus grande profondeur

Lac de Pierre-Chatel (38)	Unité	Code sandre	16/09/2022
Code plan d'eau: W2405023			
< 20 µm	% MS	6228	12,6
20 à 63 µm	% MS	3054	28,1
63 à 150 µm	% MS	7042	33,4
150 à 200 µm	% MS	7043	9,5
> 200 µm	% MS	7044	16,4

Il s'agit de sédiments assez hétérogènes à dominance sableuse avec une part non négligeable de particules plus grossières.

Les analyses de physico-chimie classique menées sur la fraction solide et sur l'eau interstitielle du sédiment sont rapportées au Tableau 10.

Tableau 10 : Analyse de sédiments

Physico-chimie du sédiment				
Lac de Pierre-Chatel (38)	Unité	Code sandre	LQ	16/09/2022
Code plan d'eau: W2405023				
Matière sèche à 105°C	%	1307	0,1	23,4
Matière Sèche Minérale (M.S.M)	% MS	5539		72,7
Perte au feu à 550°C	% MS	6578	0,1	27,3
Carbone organique	mg/(kg MS)	1841	1000	128000
Azote Kjeldahl	mg/(kg MS)	1319	200	18900
Phosphore total	mg/(kg MS)	1350	2	860
Physico-chimie du sédiment : Eau interstitielle				
Ammonium	mg(NH4)/L	1335	0,5	4,7
Phosphates	mg(PO4)/L	1433	1,5	<LQ
Phosphore total	mg(P)/L	1350	0,1	0,5

Dans les sédiments, la teneur en matière organique est très élevée avec 27.3% de perte au feu (valeur sensiblement équivalente à celles de 2019 : 27.6 % et 2016 : 26%). La concentration en azote organique est extrêmement élevée avec 18.9 g/kg MS, valeur cependant comparable à celles observées lors des suivis précédents de 2007, 2010, 2013 et 2019. Le rapport C/N est de 6.8, il s'agit de matière algale récemment déposée dont une fraction sera recyclée en tant qu'azote minéral. La concentration en phosphore est considérée comme assez élevée avec 0.86 g/kg MS.

L'eau interstitielle contient les minéraux facilement mobilisables dans les sédiments. Les concentrations en ammonium et éléments phosphorés sont globalement moyennes : elles suggèrent un phénomène de relargage de niveau modéré à l'interface eau/sédiment.

En effet, le phénomène semble plus que probable pendant l'été compte tenu du manque d'oxygène dans le fond du plan d'eau aux mois de juin, et d'août.

En revanche, la couche profonde n'est plus anoxique le 16 septembre à la suite du brassage des eaux.

4.1.3.2 Micropolluants minéraux

Ils ont été dosés sur la fraction solide du sédiment.

Tableau 11 : Résultats d'analyses de micropolluants minéraux sur sédiment

Sédiment : micropolluants minéraux				
Lac de Pierre-Chatel (38)	Unité	Code sandre	LQ	16/09/2022
Code plan d'eau: W2405023				
Aluminium	mg(Al)/kg MS	1370	5	41800
Antimoine	mg(Sb)/kg MS	1376	0,2	1,9
Argent	mg(Ag)/kg MS	1368	0,1	0,3
Arsenic	mg(As)/kg MS	1369	0,2	7,6
Baryum	mg(Ba)/kg MS	1396	0,4	404,0
Beryllium	mg(Be)/kg MS	1377	0,2	1,5
Bore	mg(B)/kg MS	1362	1	45,1
Cadmium	mg(Cd)/kg MS	1388	0,1	1,1
Chrome	mg(Cr)/kg MS	1389	0,2	59,9
Cobalt	mg(Co)/kg MS	1379	0,2	12,4
Cuivre	mg(Cu)/kg MS	1392	0,2	35,8
Etain	mg(Sn)/kg MS	1380	0,2	4,9
Fer	mg(Fe)/kg MS	1393	5	28900
Lithium	mg(Li)/kg MS	1364	0,2	56,7
Manganèse	mg(Mn)/kg MS	1394	0,4	755
Mercure	mg(Hg)/kg MS	1387	0,01	0,24
Molybdène	mg(Mo)/kg MS	1395	0,2	0,7
Nickel	mg(Ni)/kg MS	1386	0,2	29,7
Plomb	mg(Pb)/kg MS	1382	0,2	76,6
Sélénium	mg(Se)/kg MS	1385	0,2	2,6
Tellure	mg(Te)/kg MS	2559	0,2	<LQ
Thallium	mg(Th)/kg MS	2555	0,2	0,6
Titane	mg(Ti)/kg MS	1373	1	1940
Uranium	mg(U)/kg MS	1361	0,2	1,6
Vanadium	mg(V)/kg MS	1384	0,2	69,7
Zinc	mg(Zn)/kg MS	1383	0,4	162,00

Les concentrations en micropolluants minéraux sont modérées dans les sédiments du lac de Pierre-Châtel et ne suggèrent donc pas de pollution particulière de ce compartiment. Les résultats d'analyses sont très similaires à ceux de 2019 et 2016.

Notons toutefois que les concentrations en plomb et en zinc sont notamment supérieures aux moyennes observées sur les plans d'eau suivis sur les bassins Rhône-Méditerranée et Corse.

4.1.3.3 Micropolluants organiques

Le Tableau 12 indique les micropolluants organiques qui ont été quantifiés dans les sédiments lors de la campagne de prélèvements. La liste de l'ensemble des substances analysées est fournie en Annexe II.

Tableau 12 : Résultats d'analyses de micropolluants organiques présents sur sédiment

Sédiment : micropolluants organiques mis en évidence				
Lac de Pierre-Chatel (38)	Unité	Code sandre	LQ	16/09/2022
Code plan d'eau: W2405023				
Anthanthrene	µg/(kg MS)	7102	20	26,7
Anthracène	µg/(kg MS)	1458	20	22
Anthraquinone	µg/(kg MS)	2013	8	26
Benzo (a) Anthracène	µg/(kg MS)	1082	20	75
Benzo (a) Pyrène	µg/(kg MS)	1115	20	105
Benzo (b) Fluoranthène	µg/(kg MS)	1116	20	298
Benzo (ghi) Pérylène	µg/(kg MS)	1118	20	149
Benzo (k) Fluoranthène	µg/(kg MS)	1117	20	89
Benzo(e)pyrène	µg/(kg MS)	1460	20	136
Chrysène	µg/(kg MS)	1476	20	119
Dibenzo (ah) Anthracène	µg/(kg MS)	1621	20	20
Dibenzofuran	µg/(kg MS)	2763	10	26,9
Fluoranthène	µg/(kg MS)	1191	20	230
Fluorène	µg/(kg MS)	1623	20	24
Indéno(1,2,3-cd)pyrène	µg/(kg MS)	1204	20	157
Méthyl-2-Fluoranthène	µg/(kg MS)	1619	20	22
PCB 101	µg/(kg MS)	1242	2	2
PCB 118	µg/(kg MS)	1243	2	2
PCB 138	µg/(kg MS)	1244	2	6
PCB 149	µg/(kg MS)	1885	2	3
PCB 153	µg/(kg MS)	1245	2	6
PCB 170	µg/(kg MS)	1626	2	3
PCB 180	µg/(kg MS)	1246	2	7
PCB 194	µg/(kg MS)	1625	2	3
PCB 209	µg/(kg MS)	1624	2	5
Pérylène	µg/(kg MS)	1620	20	182
Phénanthrène	µg/(kg MS)	1524	20	100
Pyrène	µg/(kg MS)	1537	20	131
Triphenylene	µg/(kg MS)	7124	20	51,3

Les sédiments du lac de Pierre-Châtel sont particulièrement riches en hydrocarbures et PCB :

- ✓ 19 hydrocarbures aromatiques polycycliques (HAP) pour une concentration totale de 1.96 mg/kg MS, soit une valeur similaire à 2019 (1.72 mg/kg MS). On notera des concentrations particulièrement élevées en fluoranthène et ses dérivés ;
- ✓ 9 substances appartenant aux PCB (polychlorobiphényles) pour une concentration totale assez élevée de 37 µg/kg MS. Il s'agit de teneurs assez importantes comparativement aux valeurs habituellement rencontrées sur les plans d'eau des bassins Rhône-Méditerranée et Corse.
- ↪ Ces résultats restent dans la lignée de ceux obtenus lors des précédents suivis (2019, 2016, 2013, 2010, 2007) et confirment la contamination des sédiments du lac de Pierre-Châtel en PCB et en HAP.

4.2 Phytoplancton

4.2.1 PRELEVEMENTS INTEGRES

Sur le lac de Pierre-Châtel, la zone euphotique et la transparence mesurées sont représentées par le graphique de la Figure 13. La transparence est assez élevée lors des quatre campagnes, elle reste plutôt stable (4.5 à 5.4 m) au fil de la saison.

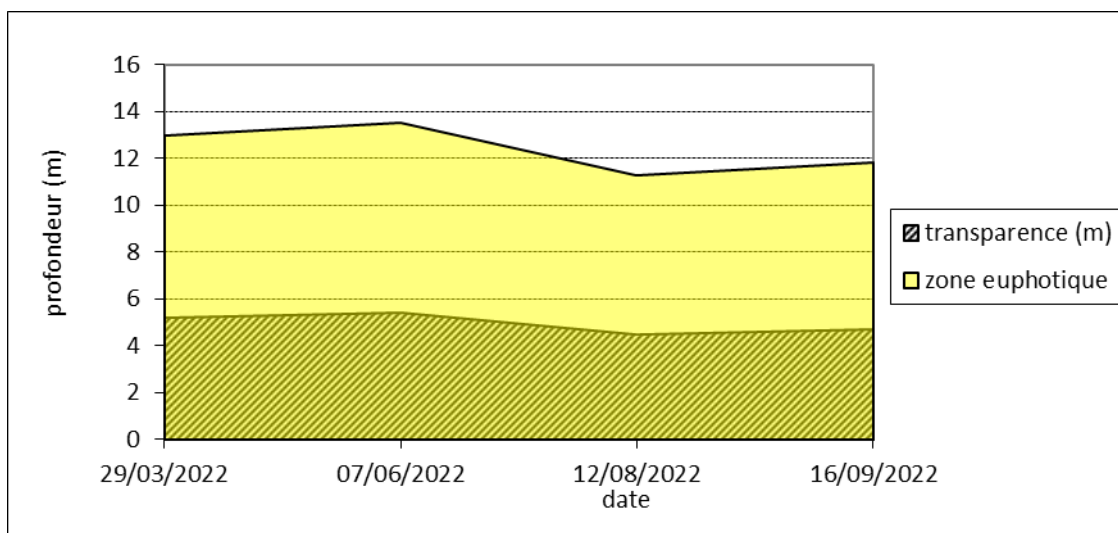


Figure 13 : Evolution de la transparence et de la zone euphotique lors des 4 campagnes

Les échantillons destinés à la détermination du phytoplancton et de la chlorophylle a , sont constitués d'un prélèvement intégré sur la zone euphotique (équivalent à 2,5 fois la transparence lors de la campagne). Les échantillons de zone euphotique concernent toute la colonne d'eau lors des 4 campagnes. Les concentrations en chlorophylle a et en phéopigments sont présentées dans le tableau suivant.

Tableau 13 : Analyse de la chlorophylle a

Lac de Pierre-Chatel (38)		Unité	Code sandre	LQ	29/03/2022	07/06/2022	12/08/2022	16/09/2022
Code plan d'eau: W0435023					intégré	intégré	intégré	intégré
indices chlorophylliens	Chlorophylle a	$\mu\text{g/L}$	1439	1	2	3	2	6
	Phéopigments	$\mu\text{g/L}$	1436	1	<LQ	1	<LQ	<LQ
	Transparence	m	1332		5,2	5,4	4,5	4,7

Les concentrations en pigments chlorophylliens sont faibles à moyennes dans le lac de Pierre-Châtel (2 à 6 $\mu\text{g/l}$). Cela traduit une production primaire non négligeable dans le plan d'eau. La moyenne estivale de concentration en chlorophylle a est évaluée à 3.7 $\mu\text{g/l}$. La concentration en phéopigments reste faible toute l'année, elle est $\leq 1 \mu\text{g/l}$.

4.2.2 LISTES FLORISTIQUES

Tableau 14 : Liste taxonomique du phytoplancton (en nombre de cellules/ml)

Embranchement	Nom taxon	Code Sandre	Cf.	29-mars	07-juin	12-août	16-sept	
BACILLARIOPHYTA	<i>Asterionella formosa</i>	4860			49,0			
	<i>Cyclotella radiosa</i>	8643		120,5	7,0		69,2	
	<i>Diatomées pennées ind < 10 µm</i>	6598			7,0			
	<i>Pantocsekiella costei</i>	42844		4361,4	657,5	945,2	622,9	
	<i>Navicula radiosa</i>	8106				10,3		
	<i>Cocconeis</i>	9361		11,0				
	<i>Ulnaria</i>	9549		11,0			17,3	
	<i>Fragilaria crotonensis</i>	6666			790,4			
	<i>Pseudostaurosira brevistriata</i>	6751			28,0			
	<i>Diploneis separanda</i>	11835					17,3	
	<i>Gomphonema micropus</i>	7691					17,3	
CHAROPHYTA	<i>Elakathrix gelatinosa</i>	5664		11,0			34,6	
CHLOROPHYTA	<i>Chlamydomonas 10 - 20 µm</i>	6016			7,0			
	<i>Chlorella vulgaris</i>	5933		109,6	69,9	256,8	69,2	
	<i>Oocystis marssonii</i>	9240	Cf.		28,0			
	<i>Botryococcus braunii</i>	5599				10,3		
	<i>Tetraedron minimum</i>	5888				61,6		
	<i>Oocystis parva</i>	5758	Cf.		7,0	71,9	34,6	
	<i>Desmodesmus grahneisii</i>	31936				339,0		
	<i>Choricystis minor</i>	10245		438,3	76,9	30,8	155,7	
	<i>Choricystis</i>	20074	Cf.	328,7	146,9		86,5	
	<i>Lemmermannia triangularis</i>	46583				256,8	553,7	
	<i>Desmodesmus spinosus</i>	31949		43,8	14,0	10,3		
	<i>Desmodesmus armatus</i>	31930		43,8			69,2	
	<i>Pediastrum duplex var. subgranulatum</i>	9249			7,0	10,3		
	<i>Desmodesmus</i>	29998			7,0	82,2	259,5	
	<i>Scenedesmus obtusius f. disciformis</i>	44968				82,2		
	<i>Desmodesmus aculeolatus</i>	37353				123,3		
	<i>Pseudodidymocystis inconspicua</i>	5786				20,5		
	<i>Chlamydomonas - forme ellipsoïde [5-15µm]</i>	6016				10,3		
	<i>Phacotus lendneri</i>	19395				51,4	17,3	
	<i>Pseudopediastrum boryanum</i>	42835					17,3	
	CRYPTOPHYTA	<i>Cryptomonas</i>	6269				10,3	86,5
<i>Cryptomonas marssonii</i>		6273		11,0	35,0	102,7	86,5	
<i>Cryptomonas ovata</i>		6274	Cf.	11,0	28,0	10,3		
<i>Plagioselmis nannoplantica</i>		9634		372,6	223,8	143,8	363,4	
<i>Rhodomonas</i>		6264				10,3		
CYANOBACTERIA	<i>Pseudanabaena catenata</i>	6456				92,5		
	<i>Limnococcus limneticus</i>	46504		98,6	28,0	20,5	276,8	
	<i>Radiocystis geminata</i>	6387				1674,6	5796,4	
	<i>Cyanocatena planctonica</i>	34751					17,3	
	<i>Synechocystis</i>	6342			49,0	41,1		
	<i>Aphanocapsa</i>	6307			328,7	1109,5	173,0	
	<i>Merismopedia</i>	4739			447,7			
	<i>Cyanogranis ferruginea</i>	33848	Cf.		720,5		328,7	
	<i>Cyanogranis irregularis</i>	39253			35449,0	19807,1		
	<i>Anabaena minderi</i>	36090				123,3	605,6	
	<i>Microcystis</i>	4740				1335,5	1159,3	
	<i>Cyanodictyon planctonicum</i>	9709				493,1		
	<i>Cyanocatena imperfecta</i>	39254				215,7	1972,5	
<i>Anathece</i>	36240					380,7		
EUGLENOZOA	<i>Trachelomonas</i>	6527				10,3		
HAPTOPHYTA	<i>Chrysochromulina parva</i>	31903		43,8	482,6	184,9	190,3	
MIOZOA	<i>Ceratium hirundinella</i>	6553			7,0		17,3	
	<i>Gyrodinium helveticum</i>	42326		11,0				
	<i>Peridinium willei</i>	6589		11,0				
	<i>Parvodinium inconspicuum</i>	42330				10,3		
	<i>Parvodinium elpatiewskyi</i>	64504	Cf.			10,3		
	<i>Peridinium</i>	6577					17,3	
	<i>Chrysoykos planctonicus</i>	6118		109,6	7,0			
OCHROPHYTA	<i>Chrysophyceae 10-15 µm</i>	1160		11,0				
	<i>Dinobryon crenulatum</i>	9577			28,0			
	<i>Dinobryon sociale var. americanum</i>	6137			14,0	20,5	69,2	
	<i>Kephyrion</i>	6150		109,6				
	<i>Kephyrion littorale</i>	6151	Cf.	482,2	97,9	51,4		
	<i>Kephyrion petosatum</i>	20174	Cf.		35,0	10,3		
	<i>Mallomonas</i>	6209			7,0	51,4		
	<i>Ochromonas</i>	6158		11,0				
	<i>Pseudokephyrion entzii f. granulata</i>	34227			7,0	51,4		
	<i>Pseudokephyrion pseudospirale</i>	6163		43,8	7,0			
	<i>Pseudopedinella</i>	4764		32,9	28,0	51,4		
	<i>Dinobryon divergens</i>	6130			216,8		17,3	
	<i>Chromulina</i>	6114			7,0			
	<i>Trachydiscus sexangulatus</i>	38374				20,5		
	<i>Dinobryon sociale var. stipitatum</i>	6135			7,0	10,3	17,3	
	<i>Pseudotetraëdriella kamillae</i>	20343		54,8				
	<i>Chrysoykos skujae</i>	40163		32,9				
	<i>Bitrichia chodatii</i>	6111			7,0		17,3	
	<i>Uroglena</i>	6177				41,1	3079,9	
	Autres	<i>Flagellés indéterminés < 5 µm</i>				56,0		
	Nombre de taxons				26	40	45	35
Nombre de cellules/ml				6926	40226	28088	16714	

Tableau 15 : Liste taxonomique du phytoplancton (en mm³ /l)

Embranchement	Nom taxon	Code Sandre	Cf.	29-mars	07-juin	12-août	16-sept
BACILLARIOPHYTA	<i>Asterionella formosa</i>	4860			0,01273		
	<i>Cyclotella radiosa</i>	8643		0,12066	0,00700		0,06928
	<i>Diatomées pennées ind < 10 µm</i>	6598			0,00112		
	<i>Pantocsekiella costei</i>	42844		1,11216	0,16766	0,24101	0,15884
	<i>Navicula radiosa</i>	8106				0,06164	
	<i>Cocconeis</i>	9361		0,00822			
	<i>Ulnaria</i>	9549		0,02881			0,04549
	<i>Fragilaria crotonensis</i>	6666			0,23712		
	<i>Pseudostaurosira brevistriata</i>	6751			0,00350		
	<i>Diploneis separanda</i>	11835					0,00552
CHAROPHYTA	<i>Gomphonema micropus</i>	7691					0,00649
	<i>Elakatothrix gelatinosa</i>	5664		0,00209			0,00661
CHLOROPHYTA	<i>Chlamydomonas 10 - 20 µm</i>	6016			0,00308		
	<i>Chlorella vulgaris</i>	5933		0,01096	0,00699	0,02568	0,00692
	<i>Oocystis marssonii</i>	9240	Cf.		0,00744		
	<i>Botryococcus braunii</i>	5599				0,00035	
	<i>Tetraedron minimum</i>	5888				0,02157	
	<i>Oocystis parva</i>	5758	Cf.		0,00044	0,00453	0,00218
	<i>Desmodesmus grahneisii</i>	31936				0,03234	
	<i>Choricystis minor</i>	10245		0,00394	0,00069	0,00028	0,00140
	<i>Choricystis</i>	20074	Cf.	0,01085	0,00485		0,00285
	<i>Lemmermannia triangularis</i>	46583				0,01669	0,03599
	<i>Desmodesmus spinosus</i>	31949		0,00123	0,00039	0,00029	
	<i>Desmodesmus armatus</i>	31930		0,01547			0,02443
	<i>Pediastrum duplex var. subgranulatum</i>	9249			0,00567	0,00832	
	<i>Desmodesmus</i>	29998			0,00056	0,00657	0,02076
	<i>Scenedesmus obtusus f. disciformis</i>	44968				0,01356	
	<i>Desmodesmus aculeolatus</i>	37353				0,00925	
	<i>Pseudodidymocystis inconspicua</i>	5786				0,00191	
	<i>Chlamydomonas - forme ellipsoïde [5-15µm]</i>	6016				0,00235	
	<i>Phacotus lendneri</i>	19395				0,02106	0,00709
<i>Pseudopediastrum boryanum</i>	42835					0,01329	
CRYPTOPHYTA	<i>Cryptomonas</i>	6269				0,01820	0,15330
	<i>Cryptomonas marssonii</i>	6273		0,01315	0,04197	0,12328	0,10382
	<i>Cryptomonas ovata</i>	6274	Cf.	0,02295	0,05859	0,02151	
	<i>Plagioselmis nannoplantica</i>	9634		0,02608	0,01567	0,01007	0,02543
	<i>Rhodomonas</i>	6264				0,00149	
CYANOBACTERIA	<i>Pseudanabaena catenata</i>	6456				0,00065	
	<i>Limnococcus limneticus</i>	46504		0,02663	0,00755	0,00555	0,07475
	<i>Radiocystis geminata</i>	6387				0,01172	0,04057
	<i>Cyanocatena planctonica</i>	34751					0,00001
	<i>Synechocystis</i>	6342			0,00020	0,00016	
	<i>Aphanocapsa</i>	6307			0,00066	0,00222	0,00035
	<i>Merismopedia</i>	4739			0,00582		
	<i>Cyanogranis ferruginea</i>	33848	Cf.		0,00072		0,00033
	<i>Cyanogranis irregularis</i>	39253			0,01418	0,00792	
	<i>Anabaena minderi</i>	36090				0,01171	0,05753
	<i>Microcystis</i>	4740				0,06678	0,05796
	<i>Cyanodictyon planctonicum</i>	9709			0,00049		
	<i>Cyanocatena imperfecta</i>	39254				0,00006	0,00059
	<i>Anathece</i>	36240					0,00038
EUGLENOZOA	<i>Trachelomonas</i>	6527				0,01648	
HAPTOPHYTA	<i>Chrysochromulina parva</i>	31903		0,00127	0,01400	0,00536	0,00552
MIOZOA	<i>Ceratium hirundinella</i>	6553			0,27979		0,69210
	<i>Gyrodinium helveticum</i>	42326		0,18685			
	<i>Peridinium willei</i>	6589		0,36162			
	<i>Parvodinium inconspicuum</i>	42330				0,03287	
	<i>Parvodinium elpatiewskyi</i>	64504	Cf.			0,15168	
	<i>Peridinium</i>	6577					0,15918
OCHROPHYTA	<i>Chrysolykos planctonicus</i>	6118		0,04274	0,00273		
	<i>Chrysophyceae 10-15 µm</i>	1160		0,01120			
	<i>Dinobryon crenulatum</i>	9577			0,00574		
	<i>Dinobryon sociale var. americanum</i>	6137			0,00505	0,00742	0,02498
	<i>Kephyrion</i>	6150		0,00690			
	<i>Kephyrion littorale</i>	6151	Cf.	0,04629	0,00940	0,00493	
	<i>Kephyrion petasatum</i>	20174	Cf.		0,00103	0,00030	
	<i>Mallomonas</i>	6209			0,01869	0,13725	
	<i>Ochromonas</i>	6158		0,00110			
	<i>Pseudokephyrion entzii f. granulata</i>	34227			0,00017	0,00121	
	<i>Pseudokephyrion pseudospirale</i>	6163		0,00644	0,00103		
	<i>Pseudopedinella</i>	4764		0,01394	0,01186	0,02178	
	<i>Dinobryon divergens</i>	6130			0,04532		0,00362
	<i>Chromulina</i>	6114			0,00099		
	<i>Trachydiscus sexangulatus</i>	38374				0,00831	
	<i>Dinobryon sociale var. stipitatum</i>	6135			0,00253	0,00371	0,00625
	<i>Pseudotetraëdriella kamillae</i>	20343		0,00247			
	<i>Chrysaikos skujae</i>	40163		0,00224			
<i>Bitrichia chodatii</i>	6111			0,00186		0,00460	
<i>Uroglena</i>	6177				0,00785	0,58825	
Autres	<i>Flagellés indéterminés < 5 µm</i>				0,00106		
	Nombre de taxons			26	40	45	35
	Biovolume (mm³/l)			2,086	1,006	1,148	2,407

4.2.3 EVOLUTIONS SAISONNIERES DES GROUPEMENTS PHYTOPLANCTONIQUES

Les graphiques suivants présentent la répartition du phytoplancton (relative) par groupe algal à partir des résultats exprimés en abondance cellulaire d'une part, et à partir des biovolumes (mm^3/l), d'autre part. Sur chacun des graphiques, la courbe représente l'abondance totale par échantillon (Figure 14), et le biovolume de l'échantillon (Figure 15).

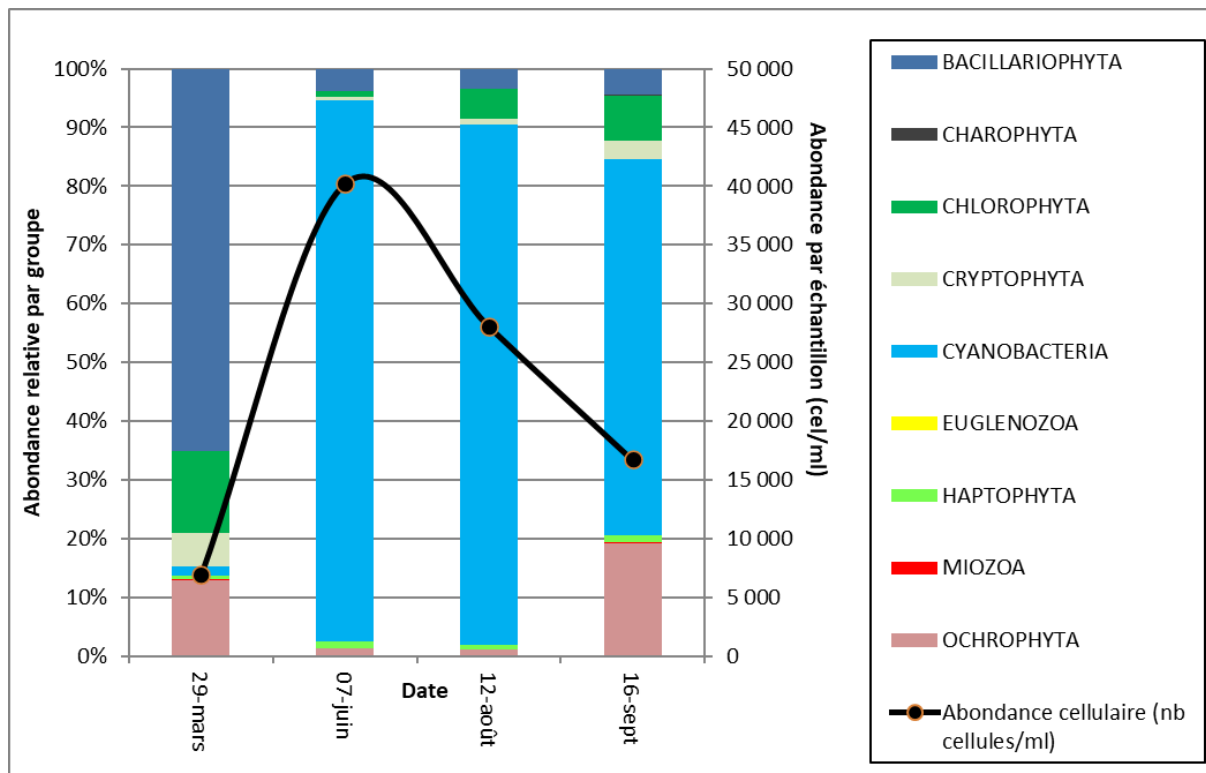


Figure 14 : Répartition du phytoplancton sur le lac de Pierre-Châtel à partir des abondances (cellules/ml)

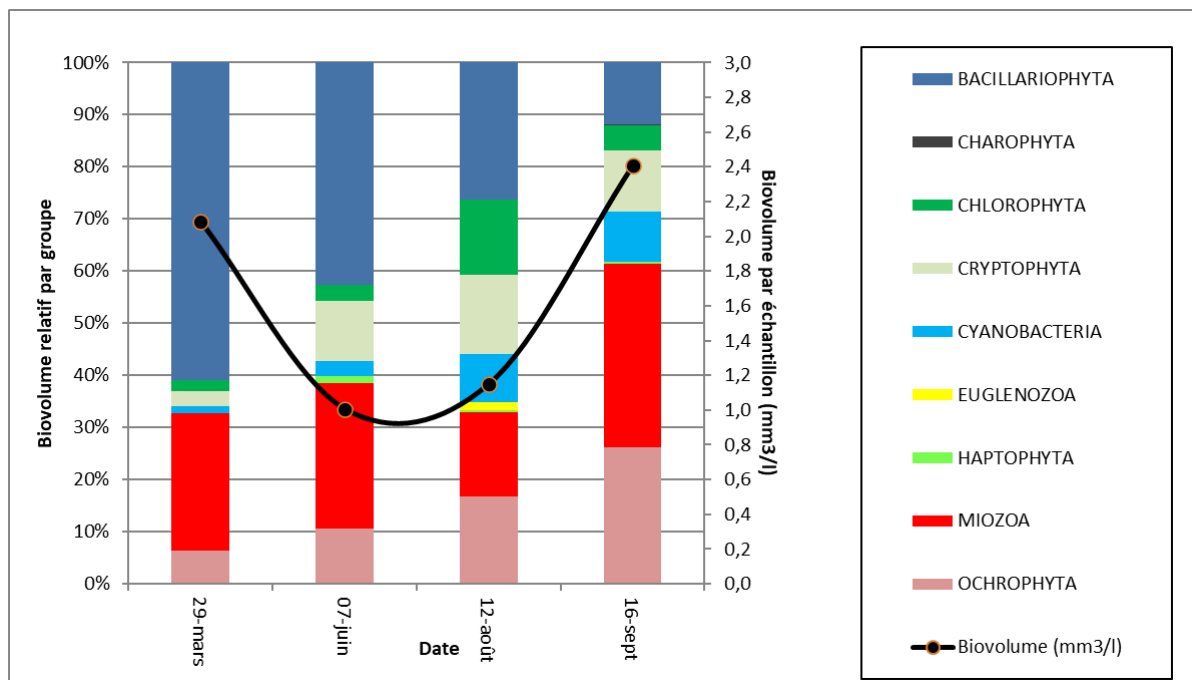


Figure 15 : Évolution saisonnière des biovolumes des principaux groupes algaux de phytoplancton (mm^3/l)

La productivité est faible à modérée sur le lac de Pierre-Chatel. En effet, les teneurs en chlorophylle a , varient de 2 à 3 $\mu\text{g}/\text{l}$ lors des premières campagnes puis connaissent une augmentation à 6 $\mu\text{g}/\text{l}$ en septembre. Ces valeurs correspondent à un milieu oligo-mésotrophe [2,5- 8 $\mu\text{g}/\text{l}$] (OCDE, 1982).

Les biovolumes mesurés présentent des valeurs en moyenne de 1,662 mm³/l ce qui confirme un milieu de productivité modérée soit [1,5-2,5 mm³/l] selon Willén (2000). La plus faible valeur de biovolume est observée en juin (1,006 mm³/l) et la plus élevée en septembre (2,407 mm³/l).

Au sein des inventaires, la richesse taxonomique est modérée à élevée, en moyenne 37 taxons sont identifiés par campagne. Il est inventorié 36 taxons au minimum en mars, et 45 taxons au maximum en août. Au total, 27 taxons sur les 80 identifiés lors des quatre campagnes ont une côte IPLAC.

Lors de la première campagne, dite hivernale, la diversité est encore faible et les diatomées (ou bacillaryophytes) dominant le peuplement. Elles occupent en moyenne 61% du biovolume. L'espèce ultradominante, retrouvée lors des quatre campagnes est *Pantocsekiella costei*. Même si elle peut tolérer la présence de nutriments, elle disparaît systématiquement en présence de matière organique (Bey et al., 2013). Cette espèce est plutôt élective des milieux de bonne qualité. Le biovolume des diatomées va ensuite décroître très progressivement pour atteindre 12% du biovolume en dernière campagne.

En seconde campagne, on note le développement de *Fragilaria crotonensis* (24% du biovolume relatif). Typique des épilimnions eutrophes, sa forme de vie en colonie rubanée lui permet de se développer à la base de la couche photique, où les nutriments sont abondants, sans risquer d'être entraînés vers le fond (Groupe fonctionnel Reynolds : P).

Malgré leur faible nombre, et du fait de leurs grandes tailles : les miozoa occupent une grande partie du biovolume prélevé au cours des quatre campagnes (16 à 35 % du biovolume relatif). Il se succède : *Gyrodinium helveticum*, *Peridinium willei* et *Ceratium hirundinella*. Ces individus hétérotrophes, se nourrissent de matières organiques et ont également une préférence pour la couche de surface (épilimnion) dans la période estivale dans les lacs mésotrophes à eutrophes. (Groupe fonctionnel Lo et LM selon Reynolds, 2006)

A l'inverse, malgré leur faible biovolume : les cyanobactéries représentent une densité cellulaire importante en raison de leur forme coloniale constituée de nombreuses petites cellules sphériques. En deuxième et troisième campagne, ce sont les colonies *Cyanogranis irregularis* qui sont majoritaires (88 et 71% de l'abondance relative-35000 et 19000 cel/ml). Elles sont décrites comme eutrophes (Joosten, 2006). La quatrième campagne est colonisée par l'espèce *Radiocystis geminata* (35% de l'abondance relative - 5800cel/ml). Elle est décrite comme méso-eutrophe (Joosten, 2006). Au total, 14 algues bleues sont identifiées, dont 6 toxigènes mais les biovolumes de ces cyanobactéries sont trop faibles pour représenter un risque sanitaire avéré (< 1µg/l).

A noter le fort développement d'*Uroglena* en dernière campagne (24% du biovolume). Cette ochrophyte coloniale composée de centaines de cellules est mixotrophe. Elle peut utiliser des bactéries comme source de substitution au phosphore (Jotaro Urabe & al., 1999). Elle présente ici un pic de croissance, responsable de l'augmentation de productivité en dernière campagne.

4.2.4 INDICE PHYTOPLANCTONIQUE IPLAC

L'indice phytoplancton lacustre ou IPLAC est calculé à partir du SEEE (v1.1.0 en date du 23/05/2023). Il s'appuie sur la moyenne pondérée de 2 métriques : l'une basée sur les teneurs en chlorophylle a ($\mu\text{g/l}$) (MBA ou métrique de biomasse algale totale), et l'autre sur la présence d'espèces indicatrices quantifiée en biovolume (mm^3/l) (MCS ou métrique de composition spécifique). Plus la valeur d'une métrique tend vers 1, plus la qualité est proche de la valeur prédite en conditions de référence. Les 5 classes d'état sont fournies sur la figure 4 :

Les classes d'état pour les deux métriques et l'IPLAC sont données pour le lac de Pierre-Châtel dans le tableau suivant.

Code Lac	Nom Lac	année	MBA	MCS	IPLAC	Classe IPLAC
W2405023	Pierre-Chatel	2022	0,831	0,810	0,816	TB

L'augmentation de la productivité en fin de saison ainsi que la présence de plusieurs taxons de profils méso-eutrophes marquent une légère tendance à l'enrichissement du milieu.

Cependant la productivité reste faible à modérée, et permet ainsi à la métrique de biomasse algale de se maintenir en très bonne qualité (MBA=0.831). La composition spécifique indique également une légère tendance à l'eutrophisation, en limite de déclassement, la note atteint 0.810.

↳ **L'indice IPLAC du lac de Pierre-Châtel obtient la valeur de 0.82, ce qui correspond à une très bonne classe d'état pour l'élément de qualité phytoplancton.**

4.2.5 COMPARAISON AVEC LES INVENTAIRES ANTERIEURS

Le peuplement phytoplanctonique présente des successions assez similaires lors des différents suivis depuis 2010 sur le lac de Pierre-Châtel. Il reste dominé en biovolume par les diatomées lors des 4 campagnes. Au cours de l'été, les cyanobactéries se développent parfois abondamment, en particulier sur les mois d'août-septembre (*Radiocystis geminata*).

La production algale est globalement moyenne en fin d'hiver, avec souvent une longue phase d'eaux claires au printemps. La biomasse devient parfois élevée en fin de saison ($> 2 \text{ mm}^3/\text{l}$).

L'historique des valeurs IPLAC acquises sur le plan d'eau de Pierre-Châtel est présenté dans le Tableau 16.

Tableau 16 : évolution des Indices IPLAC depuis 2007

Nom lac	Code Lac	année	MBA	MCS	IPLAC	Classe IPLAC
Pierre-Châtel	W2405023	2007	0.901	0.426	0.568	MOY
Pierre- Châtel	W2405023	2010	1.000	0.935	0.955	TB
Pierre- Châtel	W2405023	2013	1.000	0.905	0.934	TB
Pierre- Châtel	W2405023	2016	1.000	0.883	0.918	TB
Pierre- Châtel	W2405023	2019	1.106	0.920	0.976	TB
Pierre- Châtel	W2405023	2022	0.831	0.810	0.816	TB

↳ **Ces éléments tendent à indiquer que le lac de Pierre-Châtel présente un très bon état du compartiment phytoplancton depuis plusieurs années.**

4.3 Macrophytes

D'une superficie de 97 ha, le lac est majoritairement bordé de milieux naturels (forêts hygrophiles etc.) et plus ponctuellement de milieux plus artificialisés (routes, digues, domaine etc.).

La campagne d'inventaire macrophytes selon le protocole IBML (selon norme AFNOR, décembre 2010) sur le lac de Pierre-Châtel s'est déroulée les 21 et 22 juillet 2022 par une météo ensoleillée puis nuageuse et venteuse. Les 3 unités d'observation ont été inventoriées par Mathilde Reich (Mosaïque Environnement) accompagné de Mathias Clavières (S.T.E).

La transparence était de 4 m sur l'UO1. Sur les UO2 et 3, la transparence relevée était moindre (2,6 à 2,7 m). Les relevés des profils atteignent donc potentiellement la profondeur maximale du plan d'eau pour toutes les unités d'observation (8 à 12 m).

4.3.1 CHOIX DES UNITES D'OBSERVATION

Le lac de Pierre-Châtel a déjà fait l'objet d'un suivi des populations de macrophytes en 2019 par S.T.E. pour l'Agence de l'Eau Rhône-Méditerranée et Corse. Le protocole suivi par S.T.E. respecte la norme AFNOR XP T90-328.

Le positionnement des unités d'observation est déterminé avec la méthode de Jensen. Pour le lac de Pierre-Châtel, 3 profils perpendiculaires à la plus grande longueur du plan d'eau ont été représentés, soit 6 points contacts potentiels auxquels s'ajoutent les 2 points correspondant aux points de départ et d'arrivée de cette ligne de base (Annexe IV).

Le protocole d'échantillonnage s'appuie sur :

- ✓ les différents types de rives recensés sur le plan d'eau pour la sélection des unités d'observation (UO) à prospecter ;
- ✓ la pente des fonds et la transparence des eaux pour définir la limite de profondeur des profils perpendiculaires à explorer sur chaque UO (définition de la zone potentiellement colonisée par les végétaux).

Sur le lac de Pierre-Châtel, 3 types de rives ont été observés. Une appréciation du recouvrement est donnée en % du périmètre total, celle-ci a été actualisée en 2022 :

- ✓ Type 1 : zones humides caractéristiques : 76 % ;
- ✓ Type 2 : zones rivulaires colonisées par une végétation arbustive ou arborescente non humide : 9 % ;
- ✓ Type 4 ; zones artificialisées ou subissant des pressions anthropiques visibles : 15 %.

La superficie du plan d'eau étant de 97 ha, 3 unités d'observation ont été sélectionnées selon leur représentativité d'un type de rive soit : deux unités de type 1 et une unité de type 4.

Les unités d'observation ainsi sélectionnées sont :

- ✓ UO 1 : unité de type 1 ;
- ✓ UO 2 : unité de type 4 ;
- ✓ UO 3 : unité de type 1.

Pour chaque unité d'observation, le choix a porté sur un secteur constitué d'un seul type de rive (sur 100 m minimum), accessible, à l'exclusion des arrivées de tributaires et des singularités. Les 3 unités d'observation 2019 ont été reprises en 2022 et renommées à l'identique.

4.3.2 CARTE DE LOCALISATION DES UNITES D'OBSERVATION

La Carte 3 présentée en page suivante fournit les éléments suivants :

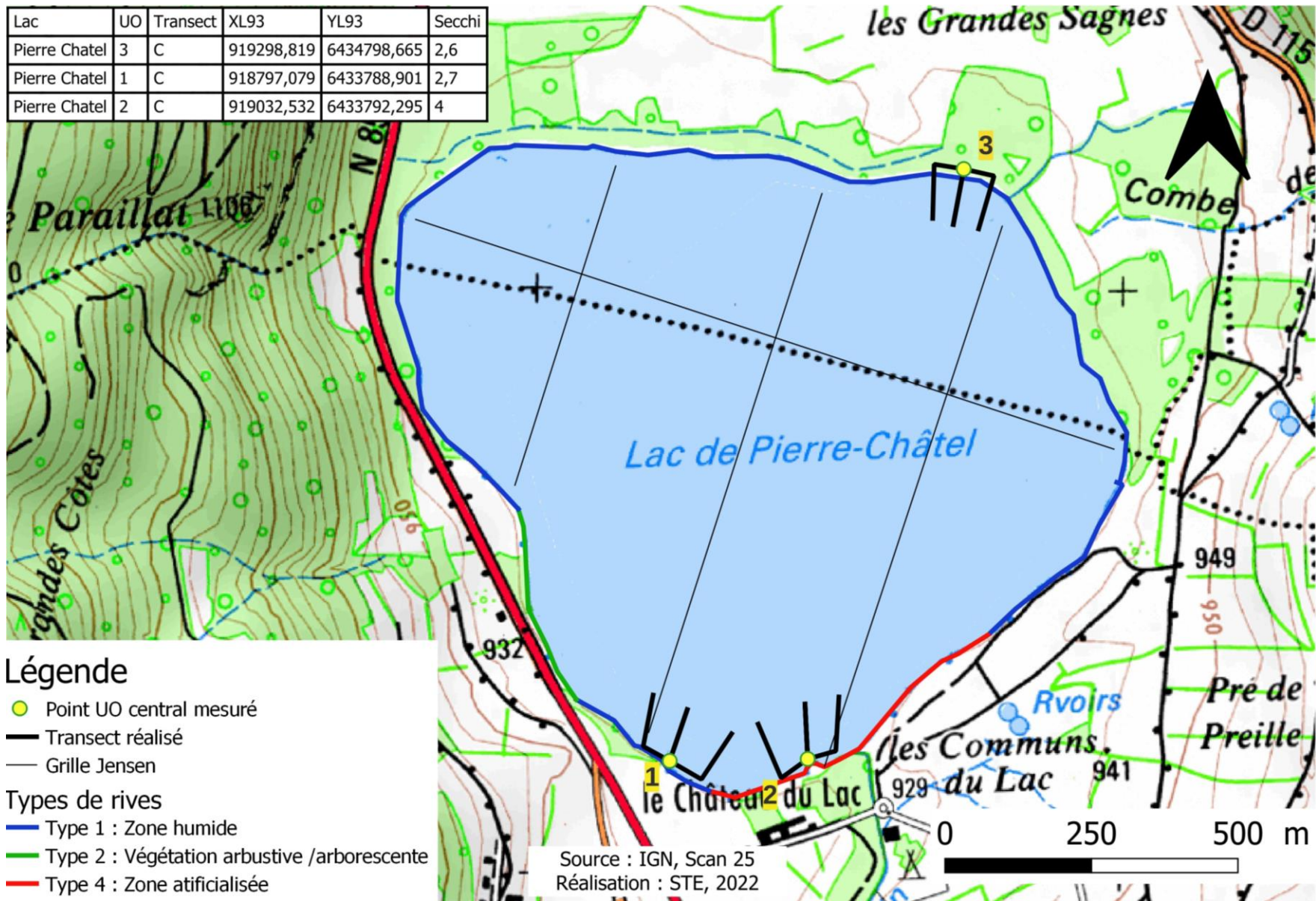
- ✓ définition des profils et points contacts potentiels selon le protocole de Jensen ;
- ✓ représentation des différents types de rives (avec modifications 2022) ;
- ✓ localisation des unités d'observation effectivement réalisées lors de l'étude 2022 avec points GPS relevés sur le terrain.

4.3.3 VEGETATION AQUATIQUE IDENTIFIEE

Le lac abrite des herbiers aquatiques de characées principalement. Les roselières sont bien développées dans certains secteurs.



Photo 1 : Vue panoramique sur le lac de Pierre-Châtel depuis la plage



Carte 3 : Localisation des unités d'observation pour l'étude des macrophytes sur le lac de Pierre-Châtel

4.3.3.1 Unité d'observation 1 (UO1)



L'UO1 est localisée au sein de la rive sud du lac, bordée par des prairies et des boisements dont certains sont hygrophiles. La zone littorale est étroite et présente un talus peu marqué (environ 0,5 m) et aucune plage.

La zone littorale submergée est pauvre en espèces. Elle est dominée par *Phragmites australis* qui structure des roselières peu denses et très pauvres en espèces. Le reste de la flore est constitué par un cortège d'algues vertes (principalement *Spirogyra* sp.) et de cyanobactéries, notamment du

genre *Tolypothrix* qui atteignent environ 1,5 m de profondeur.

A l'instar de 2019, *Chara contraria* var. *hispidula* a été observée sur tous les profils jusqu'à 3,4 m de profondeur. Sur le transect droit, *Chara intermedia* avait été observée ponctuellement en 2019, mais n'a pas été revue en 2022. En revanche, elle est bien présente sur le transect gauche en 2022. *Chara contraria* et *Chara intermedia* sont des espèces à cote spécifique élevée (18) et à coefficient de sténoécie de 2. Cela signifie qu'elles sont associées à des eaux oligotrophes.

Tableau 17 : Synthèse des résultats des profils IBML de l'UO 1 sur le lac de Pierre-Chatel

Unité d'observation macrophytes							Résultats des profils	
Nom du plan d'eau : Pierre Chatel							Code plan d'eau : W2405023	
Organisme/opérateur : Mathilde Reich, Mathias/Mosaïque environnement, STE			N° Unité Observation : 1			Date : 21/07/2022		
Taxon	Profil gauche		Profil central		Profil droit		MAi = (Magi + Maci + Madi)/3 (*)	Commentaires / Précisions
	Σai	Magi = Σai / 30	Σai	Maci = Σai / 30	Σai	Madi = Σai / 30		
<i>Bulbochaete</i> sp.	3	0,10	0	0	1	0,03	0,04	
<i>Chara contraria</i> var. <i>hispidula</i>	64	2,13	100	3,33	51	1,70	2,39	Dominant
<i>Chara intermedia</i>	21	0,70	0	0	0	0	0,23	
<i>Oedogonium</i> sp.	0	0	0	0	5	0,17	0,06	
<i>Oscillatoria</i> sp.	0	0	3	0,10	0	0	0,03	
<i>Schizothrix</i> sp.	0	0	3	0,10	0	0	0,03	
<i>Spirogyra</i> sp.	10	0,33	9	0,30	12	0,40	0,34	
<i>Tolypothrix</i> sp.	8	0,27	6	0,20	6	0,20	0,22	

Légende : Maki : abondance moyenne du taxon i sur le profil k (g, c, d)

Ai : indice d'abondance du taxon i estimé sur un point contact du profil k (g, c, d)

MAi : abondance moyenne du taxon i sur les 3 profils.

4.3.3.2 Unité d'observation 2 (UO2)



L'UO2 est localisée au sud du lac, à l'est de l'UO1. La rive est occupée par le parc d'une propriété privée. Comme pour l'UO1, l'étroitesse de la zone littorale est due à l'absence de plage et au talus bas (environ 0,8 m). Quelques hélophytes sont présents, telles que *Polygonum amphibium*, *Lysimachia vulgaris*, *Carex elata*, et *Lycopus europaeus*. Contrairement à 2019, *Stuckenia pectinata* n'a pas été relevée en 2022. Les algues filamenteuses du genre *Spirogyra* sont très abondantes sur la zone littorale.

A l'instar de 2019, on retrouve des communautés algales jusqu'à presque 3 m de profondeur dominées par *Spirogyra* sp., accompagnée d'*Oedogonium* sp., et des herbiers de characées dominés par *Chara contraria* var. *hispidula* accompagnée ponctuellement par *Chara intermedia* (présente uniquement sur le transect gauche).

Tableau 18 : Synthèse des résultats des profils IBML de l'UO 2 sur le lac de Pierre-Chatel

Unité d'observation macrophytes							Résultats des profils	
Nom du plan d'eau : Pierre Chatel							Code plan d'eau : W2405023	
Organisme/opérateur : Mathilde Reich, Mathias/Mosaïque environnement, STE			N° Unité Observation : 2			Date : 22/07/2022		
Taxon	Profil gauche		Profil central		Profil droit		MAi = (Magi + Maci + Madi)/3 (*)	Commentaires / Précisions
	Σai	Magi = Σai / 30	Σai	Maci = Σai / 30	Σai	Madi = Σai / 30		
<i>Chara contraria</i> var. <i>hispidula</i>	90	3,00	108	3,60	120	4,00	3,53	Herbiers denses
<i>Chara intermedia</i>	6	0,20	0	0	0	0	0,07	
<i>Oedogonium</i> sp.	10	0,33	20	0,67	10	0,33	0,44	
<i>Spirogyra</i> sp.	20	0,67	61	2,03	78	2,60	1,77	

4.3.3.3 Unité d'observation 3 (UO3)



L'UO3 est localisée au nord du lac. La rive est composée par un boisement hygrophile de Frêne commun et d'Aulne glutineux, qui laisse la place à une roselière dominée par le Roseau commun.

La zone littorale et les 3 transects sont globalement semblables à ceux de 2019.

La zone littorale est dominée par 3 hélophytes, *Carex elata* (bordure externe), *Phragmites australis* qui occupe une largeur importante de la zone littorale et *Scirpus lacustris* que l'on retrouve en ceinture interne du plan d'eau (jusqu'à 1,2 m de

profondeur). Quelques espèces de roselières et de mégaphorbiaies comme *Lysimachia vulgaris* et *Lythrum salicaria* complètent le cortège de cette roselière qui reste assez pauvre en espèces. À noter également la présence du genre *Spirogyra* et de cyanobactéries telles que *Schizothrix* sp. présentes sur les tiges des hélophytes.

Les transects restent globalement pauvres en macrophytes. On y retrouve les hélophytes, les algues vertes filamenteuses du genre *Spirogyra* et les cyanobactéries, déjà relevées au sein de la zone littorale. Contrairement à 2019, des characées (*Chara contraria* var. *hispidula* et *C. intermedia*) ont été observées ponctuellement en début de profil gauche, jusqu'à 1,8 m de profondeur.

Tableau 19 : Synthèse des résultats des profils IBML de l'UO 3 sur le lac de Pierre-Chatel

Unité d'observation macrophytes							Résultats des profils	
Nom du plan d'eau : Pierre Chatel							Code plan d'eau : W2405023	
Organisme/opérateur : Mathilde Reich, Mathias/Mosaïque environnement, STE			N° Unité Observation : 3			Date : 21/07/2022		
Taxon	Profil gauche		Profil central		Profil droit		MAi = (Magi + Maci + Madi)/3 (*)	Commentaires / Précisions
	Σai	Magi = Σai / 30	Σai	Maci = Σai / 30	Σai	Madi = Σai / 30		
<i>Bulbochaete</i> sp.	3	0,10	0	0	0	0	0,03	
<i>Chara contraria</i> var <i>hispidula</i>	25	0,83	0	0	0	0	0,28	
<i>Chara intermedia</i>	1	0,03	0	0	0	0	0,01	
<i>Oedogonium</i> sp.	9	0,30	6	0,20	7	0,23	0,24	
<i>Phragmites australis</i>	12	0,40	13	0,43	0	0	0,28	
<i>Schizothrix</i> sp.	9	0,30	6	0,20	3	0,10	0,20	
<i>Scirpus lacustris</i>	20	0,67	10	0,33	0	0	0,33	
<i>Spirogyra</i> sp.	13	0,43	11	0,37	10	0,33	0,38	

4.3.4 LISTE DES ESPECES PROTEGEES ET ESPECES INVASIVES

Tout comme en 2019, aucune espèce exotique envahissante et espèce patrimoniale a été observée au sein des UO en 2022.

4.3.5 INDICE IBML ET NIVEAU TROPHIQUE DU PLAN D'EAU

Le lac de Pierre-Châtel est classé comme plan d'eau de moyenne à haute altitude à caractère alcalin. Il appartient au métatype H-Alc. L'EQR est calculé de la manière suivante :

$$\text{EQR (H-Alc)} = 1.497 * (\text{IBML}/11.83) - 0.633$$

$$\text{EQR (Pierre-Châtel)} = 0.877$$

Le calcul de l'indice IBML a été effectué à l'aide du SEEE version V1.0.1 de l'indicateur.

Nombre de taxons contributifs	21	Indice EQR
IBML Note de Profil PE	14.05	
IBML Note de Rive PE	9.82	
IBML Note de Trophie	11.93	

L'indice IBML obtient une note de 11.93/ 20. La contribution de 21 taxons peut indiquer une certaine robustesse de la note obtenue.

Les roselières peuvent être très étendues et bien structurées (mais tout de même pauvres en espèces) à quasi-absente de ses berges. La fréquentation humaine semble ne pas forcément jouer un rôle important dans ce phénomène. La pauvreté de leur cortège ne nous renseigne pas sur la trophie du plan d'eau.

La forte présence du genre *Spirogyra* (eaux mésotrophes) et de *Chara contraria var hispidula* (oligo-mésotrophile) : cote spécifique de 18 et coefficient de sténoécie de 2), nous oriente vers des eaux globalement mésotrophes.

↪ **Avec un EQR de 0.877, ce plan d'eau présente un très bon état du compartiment macrophytes.**

4.3.6 COMPARAISON AVEC LES SUIVIS ANTERIEURS

Depuis 2010, il y a eu une réelle évolution de la végétation aquatique du lac de Pierre-Châtel. Ainsi entre 2010 et 2016, le lac ne présentait quasiment pas d'herbiers aquatiques. Les relevés de 2019 et 2022 mettent en évidence la colonisation d'herbiers assez denses de characées. Ainsi, les indicateurs IBML en 2013 et 2016 étaient moyens à bons, ils sont passés en très bon état en 2019 et 2022.

Tableau 20 : Évolution des indices IBML en EQR sur le lac de Pierre Châtel (38)

Année	Indice IBML en EQR	Classe d'état
2013	0.609	Bon
2016	0.539	Moyen
2019	0.847	Très bon
2022	0.877	Très bon

En 2016, l'EQR indiquait un état écologique moyen à 0.539. En 2019, il a augmenté de 0.3 points par rapport à 2016, pour être qualifié de très bon. En 2022, l'EQR a encore augmenté par rapport à 2019. Il est passé de 0.847 en 2019 à 0.877 en 2022. Le lac reste dans un très bon état écologique. Depuis 2016, l'état du lac n'a pas cessé de s'améliorer.

Entre 2013 et 2019, une nette évolution des cortèges a été observée. *Myriophyllum spicatum* a disparu entre 2016 et 2019, et n'a pas été revue en 2022. Les herbiers à *Chara contraria* var *hispidula* se sont bien développés entre 2013 et 2019 puisque aucune characée n'avait été relevé sur le lac avant 2019. *Chara intermedia* a également été observée ponctuellement en 2019 et 2022.

La progression des characées et la disparition de *Myriophyllum spicatum* peuvent expliquer la très bonne classe d'état obtenue pour l'élément de qualité macrophytes en 2019 et en 2022.

Les observations de 2022 sont similaires à celles de 2019, exceptée la disparition de *Stuckenia pectinata* (espèce indicatrice d'eau eutrophe et polluo-tolérante) en 2022 ce qui explique l'augmentation de l'EQR entre 2019 et 2022.

4.4 Phytobenthos – méthode IBDLacs

4.4.1 DEROULEMENT DES PRELEVEMENTS

Trois unités d'observations sont concernées par ce suivi phytobenthos, elles sont similaires aux suivis précédents (2016, 2019). La localisation des trois unités d'observation est présentée sur la Carte 3.

Les prélèvements se sont déroulés le 31 août 2022, ils ont été réalisés par la DREAL ARA. La transparence de l'eau était de 2.8 m mesuré au disque de Secchi. Les déterminations ont également été faites par la DREAL ARA.

Seules les UO1 et 3 ont pu être échantillonnées sur les 2 supports minéraux et végétaux. L'UO2 ne présentait pas de support végétal, l'échantillonnage a porté uniquement sur les pierres. Au total, ce sont donc 5 échantillons qui ont été analysé par la DREAL ARA. Les fiches prélèvements sont présentées en Annexes V.

Tableau 21 : Liste des échantillons IBDlac pour le lac de Pierre-Châtel en 2022

Plan d'eau	Unité d'observation	Date de prélèvements	Support échantillonnés	Nombre d'échantillons
Lac de Pierre-Châtel	UO1	31/08/2022	Pierres-galets	5
	UO1	31/08/2022	Hélophytes	
	UO2	31/08/2022	Pierres-galets	
	UO3	31/08/2022	Pierres-galets	
	UO3	31/08/2022	Hélophytes	

4.4.2 INVENTAIRE DIATOMÉES : LISTE FLORISTIQUE

Il est à noter que les caractéristiques écologiques des espèces présentées dans cette partie, font référence à la connaissance de ces taxons en cours d'eau. Cela doit donc être considéré avec précaution, puisque non directement transposable aux plans d'eau.

La liste floristique est présentée en Annexe V (en % par taxon).

Les inventaires pour les 5 échantillons du lac de Pierre-Châtel mettent en évidence une forte diversité avec 115 taxons identifiés. 44 à 59 taxons ont été identifiés dans chacun des échantillons.

Les taxons dominants (> 10% de l'effectif) se limitent à 6 espèces de diatomées. Le tableau en page suivante rassemble les taxons dominants. Quelques traits écologiques des taxons dominants sont présentés dans la suite de ce document.

N° échantillon		20220600000001	20220600000002	20220600000003	20220600000004	20220600000005
Plan d'eau						
Unité d'Observation		UO1	UO1	UO2	UO3	UO3
Substrat		Pierres	Végétaux	Pierres	Pierres	Végétaux
Date de prélèvement		31/08/2022	31/08/2022	31/08/2022	31/08/2022	31/08/2022
Espèces de diatomées	Code (*IBD)	%	%	%	%	%
<i>Achnanthydium minutissimum</i> (Kützing) Cze	ADMI*	5.96	32.25	19	12.94	20.25
<i>Pantocsekiella costei</i> (Druart et F. Straub) H	PCOS*	10.17	5	3	26.37	8.75
<i>Pseudostaurosira brevistriata</i> (Grun.in Van	PSBR*	12.16	0.5	3.5	9.2	2.75
<i>Encyonopsis alpina</i> Krammer & Lange-Bert	ECAL		3.5	14.75	0.25	5
<i>Amphora indistincta</i> Levkov	AMID*	12.16		1.75	6.47	0.5
<i>Pseudostaurosira robusta</i> (Fusey) William	PRBS	10.92		0.5	1	0.25

Les inventaires montrent une très nette domination de l'espèce *Achnanthydium minutissimum*, *ultra dominantes sur* les échantillons des UO1vég, 2 et 3 (13 à 32%), il s'agit d'une espèce tolérante vis-à-vis de la charge en nutriments mais qui indique une eau bien oxygénée et faiblement chargée en matière organique.

Sur les UO1 minéral et UO3 minéral, *Pantocsekiella costei* est très présent, il s'agit d'un taxon très présent en pleine eau (inventaire phytoplancton), il est sensible à la charge organique mais tolère une charge minérale modérée à élevée. Sur ces deux échantillons, on retrouve également *Pseudostaurosira brevistriata*. Il s'agit d'une espèce cosmopolite affectionnant les milieux exempts de pollution organique, mais indifférente au taux de nutriments.

L'UO1 minéral présente de nombreuses valves d'*Amphora indistincta* (AMID : 12.2%), espèce de milieux riches en nutriments et de *Pseudostaurosira robusta* (PRBS : 10.9%).

L'échantillon de l'UO2 pierres comporte une forte proportion de *Encyonopsis alpina* (ECAL), c'est une espèce qu'on retrouve dans les milieux pauvres en nutriments et à très forte teneur en oxygène.

4.4.3 CONCLUSIONS

Les cortèges de diatomées observés sur le lac de Pierre-Châtel sur toutes les unités d'observation, révèlent une bonne qualité. Le plan d'eau ne semble pas subir d'apport en matière organique et montre une charge faible à modérée en nutriments.

4.5 Macroinvertébrés lacustres

4.5.1 ECHANTILLONNAGE

L'échantillonnage a été réalisé par S.T.E. le 27 avril 2022 dans de bonnes conditions (peu de vent, météo ensoleillée, très bonne visibilité des substrats). Les données relatives aux prélèvements (plan d'échantillonnage et caractéristiques du plan d'eau) font l'objet d'un rapport de campagne disponible en Annexes VI.



Figure 16 : Vue d'un point de prélèvement sur le lac de Pierre-Châtel

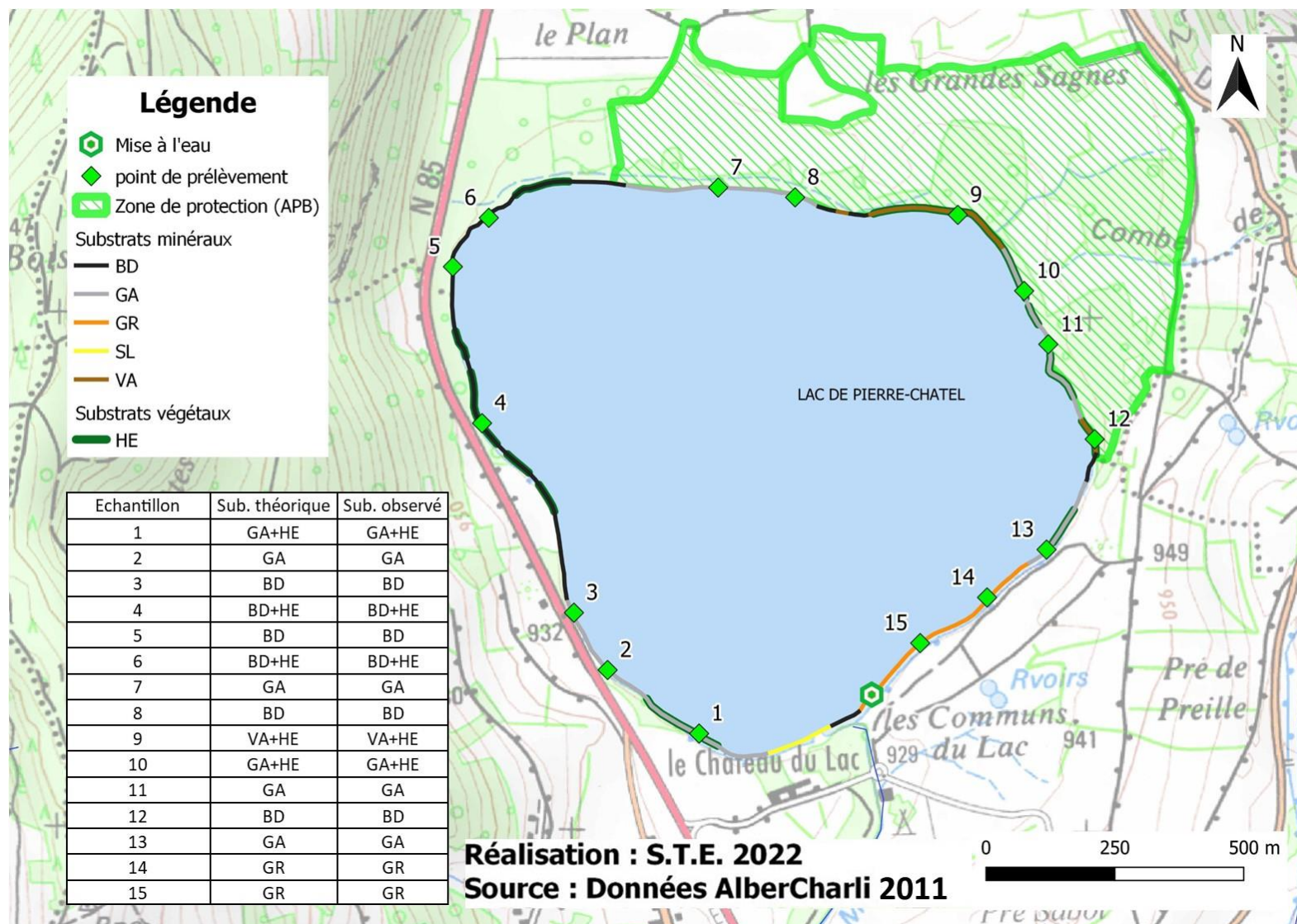
Pour le lac de Pierre Châtel, les habitats littoraux identifiés dans la base de données CHARLI comprenaient majoritairement des substrats minéraux : galets, blocs et graviers accompagnés parfois par des hélophytes (Tableau 22).

Tableau 22 : Recouvrements des substrats sur le lac de Pierre-Châtel

Code_lac	%rec	Substrat	HE	% adapté	nb ech à prélever	nb ech arrondi
LPC38	26,31	GA	ABSENT	27,6%	4,14	4
LPC38	23,5	BD	ABSENT	24,6%	3,69	4
LPC38	12,83	GA	HE	13,4%	2,02	2
LPC38	11,81	GR	ABSENT	12,4%	1,86	2
LPC38	11,43	BD	HE	12,0%	1,80	2
LPC38	9,53	VA	HE	10,0%	1,50	1
LPC38	3,73	SL	ABSENT	<5%		
LPC38	0,86	VA	ABSENT	<5%		

Légende substrats : VA = vase (<0.002mm); SL = sable (>2mm); GR = graviers (2mm-2cm); GA = galets (2-20cm); BD = bloc-dalle (>20cm)

Lors de l'échantillonnage, aucun écart au protocole n'a été effectué. Toutefois, les hélophytes étaient peu développés et aucune zone sableuse n'a été repérée. De nombreuses exuvies de chironomes et quelques adultes d'éphémères ont été observées. La carte ci-après présente les points d'échantillonnage réalisés en 2022.



Carte 4 : Localisation des points de prélèvements IML sur le lac de Pierre-Châtel

4.5.2 LISTES FAUNISTIQUES

La détermination de la faune invertébrée a été réalisée par S.T.E. ; les listes obtenues sont présentées dans le tableau ci-dessous.

* espèces invasives

LPC38	Famille	Genre	SANDRE	1 GA+ HE	2 GA	3 BD	4 BD+ HE	5 BD	6 BD+ HE	7 GA	8 BD	9 VA+ HE	10 GA+ HE	11 GA	12 BD	13 GA	14 GR	15 GR	TOT.	%	
Trichoptères	<i>Ecnomidae</i>	<i>Ecnomus</i>	249				1		7			7	3	1				3	23	0,6%	
	<i>Hydroptilidae</i>	<i>indéterminés</i>	193	2			1		3										6	0,2%	
		<i>Hydroptila</i>	200										1						1	0,0%	
		<i>Oxyethira</i>	199							1			3						4	0,1%	
	<i>Leptoceridae</i>	<i>Athripsodes</i>	311			1			1	3	1							2	4	12	0,3%
	<i>Polycentropodidae</i>	<i>Cyrnus</i>	224				3		2	1		1							7	0,2%	
	<i>Psychomyiidae</i>	<i>Lype</i>	241											1					1	0,0%	
Ephéméroptères	<i>Baetidae</i>	<i>Cloeon</i>	387	1	1	10	6	3	8	1	5	4	5	2	19		2	2	69	1,9%	
	<i>Caenidae</i>	<i>Caenis</i>	457	17	61	24	51	123	77	569	10	135	25	22	12	304	93	363	1886	50,6%	
	<i>Ephemeridae</i>	<i>Ephemera</i>	502		3					3						2		1	9	0,2%	
	<i>Leptophlebiidae</i>	<i>Thraulius</i>	476							2			5	3					10	0,3%	
Hétéroptères	<i>Corixidae</i>	<i>Micronectinae</i>	20396				2			2									4	0,1%	
Diptères	<i>Ceratopogonidae</i>		819							1					1				2	0,1%	
	<i>Chaoboridae</i>		791					1	1										2	0,1%	
Chironomidae	<i>indéterminés</i>		807										1						1	0,0%	
	<i>Ablabesmyia</i>		2781	3	7	14	15	38	27	66	13	30	16	14	15	45	46	31	380	10,2%	
	<i>Cladopelma</i>		19278				1					2							3	0,1%	
	<i>Cladotanytarsus</i>		2862	4		12		19	1	43	1		2	3	5		4	2	96	2,6%	
	<i>Cricotopus/Orthocladius</i>		2805				1					6	2						9	0,2%	
	<i>Cryptochironomus</i>		2835														4		4	0,1%	
	<i>Dicrotendipes</i>		2839			3	16	3	10			5	17	6	5	1		1	1	68	1,8%
	<i>Endochironomus</i>		2842	1			7			11			2	1					22	0,6%	
	<i>Epoicocladius</i>		2807		1												1		2	0,1%	
	<i>Eukiefferiella</i>		2808													1			1	0,0%	
	<i>Glyptotendipes</i>		2843									3							3	0,1%	
	<i>Kiefferulus</i>		2845									2							2	0,1%	
	<i>Nanocladius</i>		19191														1		1	0,0%	
	<i>Paratanytarsus</i>		2865								1								1	0,0%	
	<i>Paratendipes</i>		2853													2	4	1	7	0,2%	
	<i>Phaenopsectra</i>		2855			1							3						4	0,1%	
	<i>Polypedilum</i>		2856								7		1						8	0,2%	
	<i>Procladius</i>		2788	3	1	7	2	106	3	40			3	2	7	3	6	2	1	186	5,0%
	<i>Psectrocladius</i>		2825	4	1	7	13			22	7	7	6	8	8	5	1		1	90	2,4%
	<i>Pseudochironomus</i>		2857									1							1	2	0,1%
<i>Stictochironomus</i>		2859															2	4	6	0,2%	
<i>Tanytarsus</i>		2869		1	1					20	5	2	1	1	3		1	5	40	1,1%	
<i>Thienemannimyia</i> Groupe		2792										8							8	0,2%	
Odonates	<i>Coenagrionidae</i>		658									1							1	0,0%	
Amphipodes	<i>Gammaridae</i>	<i>Gammarus</i>	892	8	67	40	9			97					1	444	29	38	733	19,7%	
Décapodes	<i>Astacidae</i>	<i>Pacifastacus leniusculus</i>	873							2									2	0,1%	
BIVALVES	<i>Dreissenidae</i>	<i>Dreissena</i>	1046													1			1	0,0%	
	<i>Sphaeriidae</i>	<i>Pisidium</i>	1043														1	4	5	0,1%	
GASTÉROPODES	<i>Ferrissidae</i>	<i>Ferrissia</i>	1030				2		1										3	0,1%	
diversité			9	9	11	15	7	15	16	10	17	15	11	9	12	14	16	42			
somme			43	143	120	130	293	175	864	49	233	79	67	64	809	192	462	3723			

4.5.3 INTERPRETATION ET INDICES

Les interprétations ci-après sont basées sur les indices calculés à l'aide de l'outil d'évaluation IML-plan d'eau (MACRO de calcul IML : E-PE pour les plans d'eau naturels et dont le marnage est inférieur à 2 m, V 03/2022). Ces résultats sont donnés à titre indicatif (cf. avertissement §3.2.4.4) et n'ont pas été validés par l'Université de Franche-Comté.

Les listes faunistiques témoignent d'une assez grande diversité (42 taxons) et d'une densité assez élevée (2483 ind./m²). Les échantillons contiennent en moyenne 12 taxons pour environ 250 individus. Ceux présentant le plus de variété (15 taxons en moyenne) et de densité sont ceux contenant des hélophytes et des graviers. Les substrats moins biogènes (BD) atteignent en moyenne 9 taxons mais peuvent néanmoins abriter une densité assez élevée (130 individus en moyenne) en raison d'un recouvrement algal intéressant pour les macroinvertébrés.

Les indices calculés (version mars 2022) sont présentés dans le Tableau 23.

Tableau 23 : Indices relatifs à l'IML sur le lac de Pierre-Châtel

Nom du lac		PIERRE CHÂTEL	
Calculs de l'IML		Calculs des autres indices	
Sous-indices :		Densité (ind./m ²)	2483
<i>sIML chimie</i>	0,84	Indice de Shannon ⁵	2,48
<i>sIML habitat</i>	1	Equitabilité Pielou ⁶	0,46
<i>sIML marnage</i>	1	Variété générique	43
IML_{E-PE}	0,95	Variété générique <i>Chironomidae</i>	22
Classe d'état	Très bon		

L'indice d'évaluation de l'état écologique IML_{E-PE}, réservé aux lacs naturels ou faiblement marnant, est très bon sur ce plan d'eau. Les sous-indices IML pour les habitats et le marnage sous de 1/1 soit le score maximum ; ils indiquent une bonne qualité des habitats littoraux et l'absence d'altération liée à la variation du niveau d'eau. Le sous-indice pour la chimie est de 0,84/1, soit en très bon état également, n'évoquant pas d'altération chimique significative des habitats littoraux.

Les indices de diversité et d'équitabilité sont assez moyens et semblent témoigner d'un peuplement invertébré moyennement diversifié et présentant un déséquilibre.

Les *Chironomidae* représentent ¼ des effectifs sur le lac de Pierre Châtel. Parmi eux, ce sont les *Ablabesmyia* les plus abondants (voir photo ci-après). Ce taxon est ubiquiste et est souvent rencontré dans les milieux mésotrophes à eutrophes. Ils sont suivis par les genres tout aussi ubiquistes *Procladius*, *Cladotanytarsus* et *Psectrocladius*. Ces quatre taxons indiquent des eaux **mésotrophes** bordées de zones végétalisées. Le peuplement de *Chironomidae* montre néanmoins une légère tendance oligotrophe avec la présence d'individus tels que *Stictochironomus*, *Nanocladius* ou *Cladopelma*.

⁵ Indice qui permet d'évaluer la diversité spécifique d'un milieu, c'est-à-dire du nombre d'espèces de ce milieu et de la répartition des individus au sein de ces espèces. Généralement compris entre 0 et 5.

⁶ Indice qui traduit le degré de diversité atteint par un peuplement, indépendamment de la richesse spécifique. Il permet par conséquent d'évaluer les déséquilibres éventuels. Plus la valeur se rapproche de 1, plus le peuplement est équilibré.

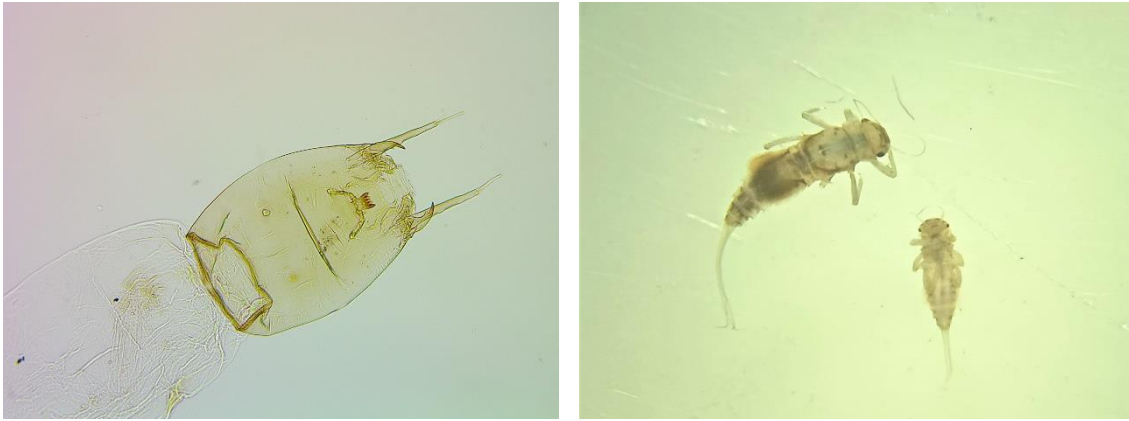


Figure 17 : A gauche : capsule céphalique d'*Ablabesmyia* (x100), à droite : larve d'éphémères *Caenis* (x40)

Les échantillons récoltés contenaient également des taxons polluosensibles (EPT = Ephémères, Plécoptères et Trichoptères). Hormis *Caenis* (50% des effectifs totaux, voir photo ci-dessus), un éphémère plutôt ubiquiste et très fréquent en milieu lacustre, quelques-uns de ces taxons témoignent d'une très bonne qualité d'eau comme *Ephemera* et *Oxyethira*. Globalement les EPT témoignent d'un milieu **mésotrophe** et d'une qualité d'eau sans altération significative.

Le lac de Pierre Châtel est également fréquenté par :

- ✓ un odonate de la famille des *Coenagrionidae* ;
- ✓ les petits crustacés *Gammarus* (20% des effectifs), plutôt tolérants vis-à-vis de la qualité des habitats et de l'eau ;
- ✓ l'écrevisse américaine **invasive** *Pacifastacus leniusculus* ou écrevisse signal (2 individus) ;
- ✓ quelques mollusques dont la moule zébrée *Dresseina*, également **invasive** (1 seul individu).

↪ **Les résultats de l'indice IML 2022, semblent indiquer un très bon état de la faune invertébrée benthique du lac de Pierre-Châtel.**

5 Appréciation globale de la qualité du plan d'eau

Le suivi physico-chimique et biologique 2022 sur le lac de Pierre-Châtel s'est déroulé conformément aux prescriptions de suivi de l'état écologique et l'état chimique des eaux douces de surface.

L'année 2022 a été globalement chaude et modérément arrosée.

Les résultats obtenus sont proches de ceux de 2019 et 2016 pour tous les compartiments ; ils sont synthétisés dans le tableau suivant.

Compartiment	Synthèse de la qualité du plan d'eau ⁷
Profils verticaux	Stratification thermique partielle (non durable) Désoxygénation hypolimnique marquée en période estivale – anoxie au fond
Qualité physico-chimique des eaux	Absence de pollution organique Teneurs faibles en nitrates et phosphates – présence permanente d'ammonium Peu de métaux Quelques micropolluants organiques (metformine, stimulants et plastifiants)
Qualité physico-chimique des sédiments	Sédiments de qualité moyenne : forte charge en matière organique et en azote. Relargage potentiel de phosphore à l'interface eau/sédiments Peu de métaux lourds Contamination des sédiments en HAP et PCB
Biologie - phytoplancton	Production algale faible à moyenne – léger enrichissement du milieu en fin de saison IPLAC : très bon état
Biologie - macrophytes	Présence d'algues, hélophytes et herbiers de characées IBML = 11.93/20 - EQR = 0.877 Très bon état
Biologie - phytobenthos	Bonne qualité – absence de pollution organique – cortège indiquant des teneurs faibles à modérés en nutriments.
Biologie - macroinvertébrés	Taxons caractéristiques des eaux mésotrophes IML : très bon état

L'ensemble des suivis physico-chimiques et biologiques 2022 indique un milieu aquatique de bonne qualité. Le lac de Pierre-Châtel, d'origine naturelle, est peu profond, il ne stratifie pas durablement. Le plateau Matheysin situé à 1000 m d'altitude environ est caractérisé par des hivers froids et des vents réguliers.

⁷ il s'agit d'une interprétation des valeurs brutes observées (analyses physico-chimiques, peuplements biologiques) mais pas d'une stricte évaluation de l'état écologique et chimique selon les arrêtés en vigueur

Les analyses physico-chimiques montrent des apports faibles à modérés en nutriments azotés et phosphorés dans le milieu aquatique. Les nitrates sont consommés rapidement mais les phosphates restent disponibles dans les eaux en particulier en fin de saison. La production primaire résultante reste modérée même si l'on mesure des biovolumes non négligeables en fin de saison. Le peuplement algal est assez équilibré avec la dominance des diatomées en toutes saisons. Le développement de cyanobactéries en fin de saison semble toutefois indiquer une légère eutrophisation du milieu aquatique.

L'analyse des micropolluants dans les eaux met en évidence quelques métaux (As, Cu). Les micropolluants organiques ne sont pas présents dans les eaux de façon récurrente (en dehors du Metformine et des stimulants).

On observe une forte demande en oxygène pour dégrader la matière organique dans la couche profonde, qui conduit à l'anoxie au fond du lac en période estivale.

Les dysfonctionnements du lac de Pierre-Châtel proviennent du compartiment sédiments. En effet, les sédiments accumulent la matière organique et les nutriments. Les teneurs en azote organique et en carbone organique sont parmi les plus élevées des plans d'eau des bassins RM&C. Les conditions anoxiques régnant dans le fond du lac en période estivale favorisent le phénomène de relargage vers la masse d'eau.

Les micropolluants minéraux sont peu présents dans les sédiments. En revanche, les concentrations en HAP sont élevées et les PCB sont encore bien présents. Les résultats 2022 restent dans la lignée de ceux obtenus lors des précédents suivis (2019, 2016, 2013, 2010, 2007) et confirment la contamination des sédiments du lac de Pierre-Châtel en PCB et en HAP.

L'indice biologique macrophytes (IBML) affiche un très bon état du compartiment macrophytique, avec la présence d'espèces caractéristiques de milieux oligo-mésotrophes. Les herbiers de characées se sont bien développés depuis 2016, ce qui semble indiquer une amélioration du potentiel biologique pour le lac de Pierre-Châtel.

Le phytobenthos affiche également une bonne qualité. Le plan d'eau ne semble pas subir d'apport en matière organique et montre une charge faible à modérée en nutriments.

L'indice Macroinvertébrés Lacustres (IML) affiche un très bon état, avec un cortège assez polluosensible et une diversité satisfaisante.

- ↳ **Les résultats du suivi 2022 montrent que le lac de Pierre-Châtel peut être qualifié de mésotrophe. Les analyses sur eau et les indices biologiques montrent un plan d'eau de bonne qualité avec une amélioration au fil des années. La dégradation du milieu aquatique provient du compartiment sédiments qui présente une importante charge interne.**

6 Annexes

I. Liste des micropolluants analysés sur eau

paramètre	Code SANDRE	LQ	Unité	paramètre	Code SANDRE	LQ	Unité	paramètre	Code SANDRE	LQ	Unité
1-(3-chloro-4-methylphenyl)uree	2934	0.02	µg/L	Dichlobénil	1679	0.005	µg/L	Metiram	2067	0.03	µg/L
1,7-Dimethylxanthine	6751	0.02	µg/L	Dichlofenthion	1159	0.005	µg/L	Métobromuron	1515	0.005	µg/L
14-Hydroxycyclaristromycin	7041	0.005	µg/L	Dichlofluamide	1360	0.005	µg/L	Métolfluthrine	8311	0.02	µg/L
17alpha-Estradiol	5399	0.005	µg/L	Dichloréthane-1,1	1160	0.5	µg/L	Metolachlor ESA	6854	0.02	µg/L
1-Hydroxy Ibuprofen	7011	0.01	µg/L	Dichloréthane-1,2	1161	0.5	µg/L	Metolachlor OXA	6853	0.02	µg/L
2 4 5 T	1264	0.02	µg/L	Dichloréthylène-1,1	1162	0.5	µg/L	Métolachlore	1221	0.005	µg/L
2 4 D	1141	0.02	µg/L	Dichloréthylène-1,2 cis	1456	0.05	µg/L	Métolachlore NOA 413173	7729	0.03	µg/L
2 4 D isopropyl ester	2872	0.005	µg/L	Dichloréthylène-1,2 trans	1727	0.5	µg/L	Metolcarb	5796	0.005	µg/L
2 4 D méthyl ester	2873	0.005	µg/L	Dichloromide	2929	0.01	µg/L	Metoprolol	5362	0.005	µg/L
2 4 DB	1142	0.05	µg/L	Dichloroaniline-2,4	1589	0.02	µg/L	Métosulame	1912	0.005	µg/L
2 4 MCPA	1212	0.005	µg/L	Dichloroaniline-2,5	1588	0.02	µg/L	Métoxuron	1222	0.005	µg/L
2 4 MCPB	1213	0.005	µg/L	Dichloroaniline-3,4	1586	0.01	µg/L	Metrafenone	5654	0.005	µg/L
2 6 Dichlorobenzamide	2011	0.005	µg/L	Dichloroaniline-3,5	1585	0.01	µg/L	Métribuzine	1225	0.005	µg/L
2-(3-trifluoromethylphenoxy)nicotinamide	6870	0.005	µg/L	Dichlorobenzène-1,2	1165	0.05	µg/L	Metronidazole	6731	0.005	µg/L
2,4,7,9-Tetramethyl-5-decyne-4,7-diol	6649	16	µg/L	Dichlorobenzène-1,3	1164	0.5	µg/L	Metsulfuron méthyl	1797	0.02	µg/L
2,6-di-tert-butyl-4-méthylphénol	7815	0.05	µg/L	Dichlorobenzène-1,4	1166	0.05	µg/L	Mévinphos	1226	0.005	µg/L
2,4+2,5-dichloroanilines	6022	0.05	µg/L	Dichlorobromométhane	1167	0.05	µg/L	Mexacarbate	7143	0.005	µg/L
2-éthylhexyl sulfate	8327	10	µg/L	Dichlorodifluorométhane	1485	0.5	µg/L	Miconazole	7130	0.5	µg/L
2-Hydroxy Ibuprofen	7012	0.01	µg/L	Dichlorométhane	1168	5	µg/L	Midazolam	7140	0.01	µg/L
2-hydroxy-desethyl-Atrazine	3159	0.005	µg/L	Dichloronitrobenzène-2,3	1617	0.02	µg/L	Mirex	5438	0.01	µg/L
2-laureth sulfate	8324	100	µg/L	Dichloronitrobenzène-2,4	1616	0.01	µg/L	Molinate	1707	0.005	µg/L
2-nitrotoluène	2613	0.02	µg/L	Dichloronitrobenzène-2,5	1615	0.01	µg/L	Molybdène	1395	1	µg(Mo)/L
3,4,5-Trimethacarb	5695	0.005	µg/L	Dichloronitrobenzène-3,4	1614	0.01	µg/L	Monobutyletain cation	2542	0.0025	µg/L
3-Chloro-4 méthylaniline	2820	0.05	µg/L	Dichloronitrobenzène-3,5	1613	0.02	µg/L	Monocrotophos	1880	0.005	µg/L
4,5-dichloro-2-octyl-1,2-thiazol-3(2H)-one	8301	0.05	µg/L	Dichlorophène	2981	0.005	µg/L	Monolinuron	1227	0.005	µg/L
4-Chlorobenzoic acid	5367	0.1	µg/L	Dichlorophénol-2,3	1645	0.01	µg/L	Monooctyletain cation	7496	0.00039	µg/L
4-méthoxycinnamate de 2-éthylhexyle	7816	0.65	µg/L	Dichlorophénol-2,4	1486	0.02	µg/L	Monophenyletain cation	7497	0.001	µg/L
4-Methylbenzylidene camphor	6536	0.02	µg/L	Dichlorophénol-2,5	1649	0.02	µg/L	Monuron	1228	0.005	µg/L
4-n-nonylphénol	5474	0.1	µg/L	Dichlorophénol-3,4	1647	0.01	µg/L	Morphine	6671	0.02	µg/L
4-nonylphénols ramifiés	1958	0.1	µg/L	Dichloropropane-1,2	1655	0.2	µg/L	Morpholine	7475	2	µg/L
4-tert-butylphénol	2610	0.14	µg/L	Dichloropropane-1,3	1654	0.5	µg/L	MTBE	1512	0.5	µg/L
4-tert-octylphénol	1959	0.03	µg/L	Dichloropropane-2,2	2081	0.05	µg/L	Musc xylène	6342	0.1	µg/L
Abamectin	2007	0.02	µg/L	Dichloropropène-1,1	2082	0.5	µg/L	Myclobutanil	1881	0.005	µg/L
Acebutolol	6456	0.005	µg/L	Dichloropropylène-1,3 Cis	1834	0.05	µg/L	N-(2,6-dimethylphenyl)-N-(2-methoxyet	6380	0.01	µg/L
Acénaphène	1453	0.005	µg/L	Dichloropropylène-1,3 Trans	1835	0.05	µg/L	N,N-Diethyl-m-toluamide	5797	0.1	µg/L
Acénaphthylène	1622	0.005	µg/L	Dichloropropylène-2,3	1653	0.5	µg/L	N,N-Dimethylsulfamide	6384	0.05	µg/L
Acéphate	1100	0.005	µg/L	Dichlorprop	1169	0.02	µg/L	Nadolol	6443	0.005	µg/L
Acétaldéhyde	1454	5	µg/L	Dichlorprop-P	2544	0.05	µg/L	Naled	1516	0.005	µg/L
Acetamiprid	5579	0.005	µg/L	Dichlorvos	1170	0.0002	µg/L	Naphtalène	1517	0.005	µg/L
Acetazolamide	7136	0.02	µg/L	Diclofenac	5349	0.005	µg/L	Napropamide	1519	0.005	µg/L
Acetochlor ESA	6856	0.03	µg/L	Diclofop méthyl	1171	0.005	µg/L	Naproxene	5351	0.02	µg/L
Acetochlor OXA	6862	0.03	µg/L	Dicofol	1172	0.005	µg/L	Naptalame	1937	0.05	µg/L
Acétochlore	1903	0.005	µg/L	Dicrotophos	5525	0.005	µg/L	n-Butyl Phtalate	1462	0.14	µg/L
Acibenzolar-S-Methyl	5581	0.02	µg/L	Dicyclanil	6696	0.01	µg/L	N-Butylbenzenesulfonamide	5299	0.227	µg/L
Acide (S)-6-hydroxy-alpha-méthyl-2-naphtalène acé	5352	0.1	µg/L	Didéméthylisoproturon	2847	0.005	µg/L	Néburon	1520	0.005	µg/L
Acide acetylsalicylique	6735	0.02	µg/L	Dieldrine	1173	0.001	µg/L	Nickel	1386	0.5	µg(Ni)/L
Acide clofibrrique	5408	0.005	µg/L	Dienestrol	7507	0.005	µg/L	Nicosulfuron	1882	0.005	µg/L
Acide diatrizoïque	6701	0.02	µg/L	Diéthofencarbe	1402	0.005	µg/L	Nicotine	5657	0.125	µg/L
Acide fenofibrrique	5369	0.005	µg/L	Diéthyl phtalate	1527	0.05	µg/L	Nitrobenzène	2614	0.1	µg/L
Acide mefenamique	6538	0.005	µg/L	Diéthylamine	2826	6	µg/L	Nitroféne	1229	0.005	µg/L
Acide monochloroacétique	1465	0.2	µg/L	Diethylstilbestrol	2628	0.005	µg/L	Nitrophénol-2	1637	0.02	µg/L
Acide nitrilotriacétique (NTA)	1521	5	µg/L	Difenacoum	2982	0.005	µg/L	Norethindrone	5400	0.001	µg/L
Acide pentacosafuorotridecanoïque (PFTrDA)	6549	0.2	µg/L	Difénoconazole	1905	0.005	µg/L	Norfloxacine	6761	0.1	µg/L
Acide perfluorodécane sulfonique (PFDS)	6550	0.002	µg/L	Difenoxuron	5524	0.005	µg/L	Norflouxetine	6772	0.005	µg/L
Acide perfluoro-décanoïque (PFDA)	6509	0.002	µg/L	Diféthialone	2983	0.02	µg/L	Norflurazon	1669	0.005	µg/L
Acide perfluorodécane sulfonique	8741	0.2	µg/L	Diflufénuron	1488	0.02	µg/L	Norflurazon desméthyl	2737	0.005	µg/L
Acide perfluoro-dodécanoïque (PFDoDA)	6507	0.02	µg/L	Diflufénicanil	1814	0.001	µg/L	Nuarimol	1883	0.005	µg/L
Acide perfluoroheptane sulfonique (PFHpS)	6542	0.001	µg/L	Dihexyl phtalate	2539	0.1	µg/L	Octylisothiazolinone	8302	0.1	µg/L
Acide perfluorohexanesulfonique (PFHxS)	6830	0.002	µg/L	Dihydrocdeine	6647	0.005	µg/L	O-Deméthyltramadol	6767	0.005	µg/L
Acide perfluoro-n-butanoïque (PFBA)	5980	0.2	µg/L	Diisobutyl phtalate	5325	0.4	µg/L	Ofloxacine	6533	0.02	µg/L
Acide perfluoro-n-heptanoïque (PFHpA)	5977	0.002	µg/L	Diisodécyl phtalate	6658	5	µg/L	Ofurace	2027	0.005	µg/L

Acide perfluoro-n-hexanoïque (PFHxA)	5978	0.002	µg/L
Acide perfluoro-n-nonanoïque (PFNA)	6508	0.02	µg/L
Acide perfluorononane sulfonique (PFNS)	8739	0.1	µg/L
Acide perfluoro-n-undecanoïque (PFUnDA)	6510	0.02	µg/L
Acide perfluorooctanesulfonique (PFOS)	6560	0.002	µg/L
Acide perfluoro-octanoïque (PFOA)	5347	0.002	µg/L
Acide perfluoropentane sulfonique (PFPeS)	8738	0.1	µg/L
Acide perfluorotridecane sulfonique	8742	0.5	µg/L
Acide perfluoroundecane sulfonique	8740	0.5	µg/L
Acide salicylique	5355	0.131	µg/L
Acide sulfonique de perfluorobutane (PFBS)	6025	0.002	µg/L
Acifluorfen	1970	0.02	µg/L
Acionifen	1688	0.001	µg/L
Acrinathrine	1310	0.005	µg/L
Alachlor ESA	6800	0.03	µg/L
Alachlor OXA	6855	0.03	µg/L
Alachlore	1101	0.005	µg/L
Albendazole	6740	0.005	µg/L
Aldicarbe	1102	0.005	µg/L
Aldicarbe sulfone	1807	0.02	µg/L
Aldicarbe sulfoxyde	1806	0.02	µg/L
Aldrine	1103	0.001	µg/L
Alléthrine	1697	0.03	µg/L
Allylxycarbe	7501	0.005	µg/L
alpha-Hexabromocyclododecane	6651	0.05	µg/L
Alphaméthrine	1812	0.005	µg/L
Alprazolam	5370	0.01	µg/L
Aluminium	1370	2	µg(Al)/L
Ametoctradine	7842	0.02	µg/L
Amétryne	1104	0.005	µg/L
Amidithion	5697	0.005	µg/L
Amidosulfuron	2012	0.005	µg/L
Aminocarbe	5523	0.005	µg/L
Aminochlorophénol-2,4	2537	0.1	µg/L
Aminopyralid	7580	0.1	µg/L
Aminotriazole	1105	0.03	µg/L
Amiprosfos-méthyl	7516	0.005	µg/L
Amitraze	1308	0.001	µg/L
Amitriptyline	6967	0.005	µg/L
Amlodipine	6781	0.05	µg/L
Amoxicilline	6719	0.02	µg/L
AMPA	1907	0.02	µg/L
Androstenedione	5385	0.005	µg/L
Anilofos	6594	0.005	µg/L
Anthracène	1458	0.005	µg/L
Antraquinone	2013	0.005	µg/L
Antimoïne	1376	0.5	µg(Sb)/L
Argent	1368	0.01	µg(Ag)/L
Arsenic	1369	0.48	µg(As)/L
Asulame	1965	0.01	µg/L
Atenolol	5361	0.005	µg/L
Atrazine	1107	0.005	µg/L
Atrazine 2 hydroxy	1832	0.02	µg/L
Atrazine désisopropyl	1109	0.005	µg/L
Atrazine déséthyl	1108	0.005	µg/L
Atrazine déséthyl désisopropyl	1830	0.02	µg/L
Atrazine-deséthyl-2-hydroxy	3160	0.02	µg/L
Azaconazole	2014	0.005	µg/L
Azaméthiphos	2015	0.02	µg/L
Azimsulfuron	2937	0.005	µg/L
Azinphos éthyl	1110	0.005	µg/L
Azinphos méthyl	1111	0.005	µg/L
Azithromycine	7817	0.5	µg/L
Azoxystrobine	1951	0.005	µg/L

Diltiazem	6729	0.005	µg/L
Diméfuron	1870	0.005	µg/L
Dimépipérate	7142	0.005	µg/L
Diméthachlore	2546	0.005	µg/L
Diméthachlore CGA 369873	7727	0.02	µg/L
Diméthachlore-ESA	6381	0.02	µg/L
Dimethametryn	5737	0.005	µg/L
Dimethenamid ESA	6865	0.01	µg/L
Diméthénamide	1678	0.005	µg/L
Diméthénamide OXA	7735	0.01	µg/L
Dimethenamid-P	5617	0.03	µg/L
Diméthoate	1175	0.01	µg/L
Diméthomorphe	1403	0.005	µg/L
Diméthylamine	2773	10	µg/L
Diméthylphénol-2,4	1641	0.02	µg/L
Diméthylvinphos	6972	0.005	µg/L
Dimétilan	1698	0.005	µg/L
dimoxystrobine	5748	0.005	µg/L
Diniconazole	1871	0.005	µg/L
Dinitrotoluène-2,4	1578	0.5	µg/L
Dinitrotoluène-2,6	1577	0.5	µg/L
Dinocap	5619	0.05	µg/L
Di-n-octyl phthalate	3342	0.1	µg/L
Dinosébe	1491	0.005	µg/L
Dinoterbe	1176	0.03	µg/L
Diocytélatin cation	7494	0.00058	µg/L
Dioxacarb	5743	0.005	µg/L
Dipentyl phthalate	2540	0.1	µg/L
Diphenylétain cation	7495	0.00046	µg/L
Dipropyl phthalate	2541	0.1	µg/L
Diquat	1699	0.03	µg/L
Disulfoton	1492	0.01	µg/L
Ditalimfos	5745	0.05	µg/L
Dithianon	1966	0.1	µg/L
Diuron	1177	0.005	µg/L
DNOC	1490	0.02	µg/L
Dodécyl diméthyl benzyl ammonium	8297	10	µg/L
Dodine	2933	0.02	µg/L
Doxepine	6969	0.005	µg/L
Doxycycline	6791	0.1	µg/L
DPU (Diphenylurée)	7515	0.005	µg/L
Dydrogesterone	6714	0.02	µg/L
Edifenphos	5751	0.005	µg/L
EDTA	1493	5	µg/L
Emamectine	8102	0.1	µg/L
Endosulfan alpha	1178	0.001	µg/L
Endosulfan beta	1179	0.001	µg/L
Endosulfan sulfate	1742	0.001	µg/L
Endrine	1181	0.001	µg/L
Endrine aldehyde	2941	0.005	µg/L
Enoxacine	6768	0.02	µg/L
Enrofloxacin	6784	0.02	µg/L
Epichlorohydrine	1494	0.1	µg/L
EPN	1873	0.005	µg/L
Epoxiconazole	1744	0.005	µg/L
EPTC	1182	0.05	µg/L
Equilin	7504	0.005	µg/L
Erythromycine	6522	0.005	µg/L
Esfenvalérate	1809	0.005	µg/L
Estradiol	5397	0.005	µg/L
Estrone	6446	0.005	µg/L
Estrone	5396	0.005	µg/L
Etain	1380	0.5	µg(Sn)/L
Ethametsulfuron-méthyl	5529	0.005	µg/L

Ométhoate	1230	0.0005	µg/L
Orthophénylphénol	2781	0.3	µg/L
Oryzalin	1668	0.02	µg/L
Oxadiazol	2068	0.005	µg/L
Oxadiazon	1667	0.005	µg/L
Oxadixyl	1666	0.005	µg/L
Oxamyl	1850	0.02	µg/L
Oxasulfuron	5510	0.005	µg/L
Oxazepam	5375	0.005	µg/L
Oxyclozanide	7107	0.005	µg/L
Oxycodone	6682	0.01	µg/L
Oxydéméton méthyl	1231	0.005	µg/L
Oxyfluorène	1952	0.002	µg/L
Oxytetracycline	6532	0.1	µg/L
Paclobutrazole	2545	0.005	µg/L
Paracetamol	5354	0.025	µg/L
Paraoxon	5806	0.005	µg/L
Parathion éthyl	1232	0.01	µg/L
Parathion méthyl	1233	0.005	µg/L
Parconazole	6753	0.01	µg/L
PCB 101	1242	0.0012	µg/L
PCB 105	1627	0.0003	µg/L
PCB 114	5433	0.00003	µg/L
PCB 118	1243	0.0012	µg/L
PCB 123	5434	0.00003	µg/L
PCB 125	2943	0.005	µg/L
PCB 126	1089	0.000006	µg/L
PCB 128	1884	0.0012	µg/L
PCB 138	1244	0.0012	µg/L
PCB 149	1885	0.0012	µg/L
PCB 153	1245	0.0012	µg/L
PCB 156	2032	0.00012	µg/L
PCB 157	5435	0.000018	µg/L
PCB 167	5436	0.00003	µg/L
PCB 169	1090	0.000006	µg/L
PCB 170	1626	0.0012	µg/L
PCB 180	1246	0.0012	µg/L
PCB 189	5437	0.000012	µg/L
PCB 194	1625	0.0012	µg/L
PCB 209	1624	0.005	µg/L
PCB 28	1239	0.0012	µg/L
PCB 31	1886	0.005	µg/L
PCB 35	1240	0.005	µg/L
PCB 37	2031	0.005	µg/L
PCB 44	1628	0.0012	µg/L
PCB 52	1241	0.0012	µg/L
PCB 54	2048	0.005	µg/L
PCB 66	5803	0.005	µg/L
PCB 77	1091	0.00006	µg/L
PCB 81	5432	0.000006	µg/L
Penconazole	1762	0.005	µg/L
Pencycuron	1887	0.005	µg/L
Pendiméthaline	1234	0.005	µg/L
Penoxsulam	6394	0.005	µg/L
Pentachlorobenzène	1888	0.0005	µg/L
Pentachloroethane	5924	0.01	µg/L
Pentachlorophénol	1235	0.03	µg/L
Pentoxifylline	7670	0.005	µg/L
Perchlorate	6219	0.1	µg/L
Perfluorooctanesulfonamide (PFOSA)	6548	0.02	µg/L
Perméthrine	1523	0.01	µg/L
Pethoxamide	7519	0.005	µg/L
Pethoxamide ESA	8590	0.05	µg/L
Phénamiphos	1499	0.005	µg/L

Baryum	1396	5.3	µg(Ba)/L
BDE 181	6231	0.0005	µg/L
BDE 203	5986	0.0015	µg/L
BDE 205	5997	0.0015	µg/L
BDE100	2915	0.0002	µg/L
BDE138	2913	0.0002	µg/L
BDE153	2912	0.0002	µg/L
BDE154	2911	0.0002	µg/L
BDE17	2921	0.0002	µg/L
BDE183	2910	0.0002	µg/L
BDE190	2909	0.0005	µg/L
BDE209	1815	0.0005	µg/L
BDE28	2920	0.0002	µg/L
BDE47	2919	0.0002	µg/L
BDE66	2918	0.0002	µg/L
BDE71	2917	0.0002	µg/L
BDE77	7437	0.0002	µg/L
BDE85	2914	0.0002	µg/L
BDE99	2916	0.0002	µg/L
Beflubutamide	7522	0.01	µg/L
Bénalaxyl	1687	0.005	µg/L
BENALAXYL-M	7423	0.1	µg/L
Bendiocarbe	1329	0.005	µg/L
Benfluraline	1112	0.005	µg/L
Benfuracarbe	2924	0.01	µg/L
Benoxacor	2074	0.005	µg/L
Bensulfuron-methyl	5512	0.005	µg/L
Bensulide	6595	0.005	µg/L
Bentazone	1113	0.02	µg/L
Benthiavalicarbe-isopropyl	7460	0.005	µg/L
Benthiocarbe	1764	0.005	µg/L
Benzène	1114	0.5	µg/L
Benzisothiazolinone	8306	5	µg/L
Benzo (a) Anthracène	1082	0.001	µg/L
Benzo (a) Pyrène	1115	0.001	µg/L
Benzo (b) Fluoranthène	1116	0.0005	µg/L
Benzo (ghi) Pérylène	1118	0.0005	µg/L
Benzo (k) Fluoranthène	1117	0.0005	µg/L
Benzotriazole	7543	0.02	µg/L
Benzyl butyl phtalate	1924	0.05	µg/L
Beryllium	1377	0.01	µg(Be)/L
Beta cyfluthrine	3209	0.01	µg/L
beta-Hexabromocyclododecane	6652	0.05	µg/L
Betaxolol	6457	0.005	µg/L
Bezafibrate	5366	0.005	µg/L
Bifénox	1119	0.005	µg/L
Bifenthrine	1120	0.005	µg/L
Bioresméthrine	1502	0.005	µg/L
Biphényle	1584	0.005	µg/L
Bisoprolol	6453	0.005	µg/L
Bisphenol S	7594	0.02	µg/L
Bisphénol-A	2766	0.02	µg/L
Bitertanol	1529	0.005	µg/L
Bithionol	7104	0.05	µg/L
Bixafen	7345	0.005	µg/L
Bore	1362	10	µg(B)/L
Boscalid	5526	0.005	µg/L
Brodifacoum	5546	0.5	µg/L
Bromacil	1686	0.005	µg/L
Bromadiolone	1859	0.05	µg/L
Bromazepam	5371	0.01	µg/L
Bromochlorométhane	1121	0.5	µg/L
Bromoforme	1122	0.5	µg/L
Bromophos éthyl	1123	0.005	µg/L

Ethephon	2093	0.02	µg/L
Ethidimuron	1763	0.005	µg/L
Ethiofencarbe sulfone	5528	0.005	µg/L
Ethiofencarbe sulfoxyde	6534	0.02	µg/L
Ethion	1183	0.005	µg/L
Ethiophencarbe	1874	0.005	µg/L
Ethofumésate	1184	0.005	µg/L
Ethoprophos	1495	0.005	µg/L
Ethoxysulfuron	5527	0.005	µg/L
Ethyl tert-butyl ether	2673	0.5	µg/L
Ethylbenzène	1497	0.5	µg/L
EthylèneThioUrée	5648	0.1	µg/L
EthylèneUrée	6601	0.1	µg/L
Ethylparaben	6644	0.01	µg/L
Ethynyl estradiol	2629	0.001	µg/L
Etoazole	5625	0.005	µg/L
Famoxadone	2020	0.005	µg/L
Famphur	5761	0.005	µg/L
Fénamidone	2057	0.005	µg/L
Fénarimol	1185	0.005	µg/L
Fénazaquin	2742	0.02	µg/L
Fenbendazole	6482	0.005	µg/L
Fenbuconazole	1906	0.005	µg/L
Fenclorazole-ethyl	7513	0.1	µg/L
Fenclorophos	1186	0.005	µg/L
Fenhexamid	2743	0.005	µg/L
Fénitrothion	1187	0.001	µg/L
Fenizon	5627	0.005	µg/L
Fenobucarb	5763	0.005	µg/L
Fenofibrate	5368	0.01	µg/L
Fenoprofen	6970	0.05	µg/L
Fenothiocarbe	5970	0.005	µg/L
Fénoxaprop éthyl	1973	0.02	µg/L
Fénoxycarbe	1967	0.005	µg/L
Fenpropathrine	1188	0.005	µg/L
Fenpropidine	1700	0.01	µg/L
Fenpropimorphe	1189	0.005	µg/L
Fenthion	1190	0.005	µg/L
Fénuron	1500	0.02	µg/L
Fénvalérate	1701	0.01	µg/L
Fer	1393	322	µg(Fe)/L
Fipronil	2009	0.005	µg/L
Fipronil sulfone	6260	0.01	µg/L
Flamprop-isopropyl	1840	0.005	µg/L
Flamprop-methyl	6539	0.005	µg/L
Flazasulfuron	1939	0.005	µg/L
Flocoumafen	5633	0.2	µg/L
Flonicamid	6393	0.005	µg/L
Florasulam	2810	0.005	µg/L
Florfenicol	6764	0.1	µg/L
Fluazifop	6545	0.005	µg/L
Fluazifop-butyl	1825	0.02	µg/L
Fluazifop-P-butyl	1404	0.05	µg/L
Fluazinam	2984	0.005	µg/L
Fluconazole	8564	0.5	µg/L
Fludioxonil	2022	0.005	µg/L
Flufenacet oxalate	6863	0.01	µg/L
Flufenacet sulfonic acid	6864	0.01	µg/L
Flufénoxuron	1676	0.02	µg/L
Flumequine	5635	0.02	µg/L
Flumioxazine	2023	0.005	µg/L
Fluométron	1501	0.005	µg/L
Fluopicolide	7499	0.005	µg/L
Fluopyram	7649	0.01	µg/L

Phénanthrène	1524	0.005	µg/L
Phénazone	5420	0.005	µg/L
Phenméthiphame	1236	0.02	µg/L
Phenthoate	5813	0.005	µg/L
Phenytain	7708	0.05	µg/L
Phorate	1525	0.005	µg/L
Phosalone	1237	0.005	µg/L
Phosmet	1971	0.005	µg/L
Phosphamidon	1238	0.005	µg/L
Phoxime	1665	0.005	µg/L
Phtalate de diméthyle	1489	0.4	µg/L
Piclorame	1708	0.03	µg/L
Picolinafen	5665	0.02	µg/L
Picoxystrobine	2669	0.005	µg/L
Pinoxaden	7057	0.05	µg/L
Piperonil butoxide	1709	0.005	µg/L
Piperophos	5819	0.005	µg/L
Pirimicarbe	1528	0.01	µg/L
Pirimicarbe Desmethyl	5531	0.005	µg/L
Pirimicarbe Formamido Desmethyl	5532	0.005	µg/L
Piroxicam	7668	0.02	µg/L
Plomb	1382	0.17	µg(Pb)/L
p-Nitrotoluene	5821	0.02	µg/L
Pravastatine	6771	0.02	µg/L
Prednisolone	6734	0.02	µg/L
Pretilachlore	1949	0.005	µg/L
Prilocaine	6531	0.005	µg/L
Primidone	7961	0.02	µg/L
Pristinamycine IIA	6847	0.02	µg/L
Prochloraze	1253	0.001	µg/L
Procymidone	1664	0.005	µg/L
Profénofos	1889	0.005	µg/L
Progesterone	5402	0.02	µg/L
Promécarbe	1710	0.005	µg/L
Prométon	1711	0.005	µg/L
Prométryne	1254	0.005	µg/L
Propachlor ethane sulfonic acid	6887	0.02	µg/L
Propachlore	1712	0.01	µg/L
Propachlore OXA	7736	0.05	µg/L
Propamocarb	6398	0.005	µg/L
Propanil	1532	0.005	µg/L
Propaphos	6964	0.005	µg/L
Propaquizafop	1972	0.02	µg/L
Propargite	1255	0.005	µg/L
Propazine	1256	0.02	µg/L
Propazine 2-hydroxy	5968	0.005	µg/L
Propétamphos	1533	0.005	µg/L
Prophame	1534	0.02	µg/L
Propiconazole	1257	0.005	µg/L
Propoxur	1535	0.005	µg/L
Propoxycarbazone-sodium	5602	0.02	µg/L
Propranolol	5363	0.005	µg/L
Propylbenzène	1837	0.5	µg/L
Propylene thiouree	6214	0.5	µg/L
Propylparaben	6693	0.01	µg/L
Propylphénazone	5421	0.005	µg/L
Propyzamide	1414	0.005	µg/L
Proquinazid	7422	0.005	µg/L
Prosulfocarbe	1092	0.005	µg/L
Prosulfuron	2534	0.005	µg/L
Prothioconazole	5603	0.05	µg/L
Proximpham	7442	0.005	µg/L
Pymétrozine	5416	0.005	µg/L
Pyraclifos	6611	0.005	µg/L

Bromophos méthyl	1124	0.005	µg/L
Bromopropylate	1685	0.005	µg/L
Bromoxynil	1125	0.005	µg/L
Bromoxynil octanoate	1941	0.01	µg/L
Bromuconazole	1860	0.005	µg/L
Bromure de méthyle	1530	0.05	µg/L
Bufenarbe	7502	0.02	µg/L
Buflomedil	6742	0.005	µg/L
Bupirimate	1861	0.01	µg/L
Bupivacaine	6518	0.005	µg/L
Buprofézine	1862	0.005	µg/L
Butamifos	5710	0.005	µg/L
Butraline	1126	0.005	µg/L
Buturon	1531	0.005	µg/L
Butylate	7038	0.03	µg/L
Butylbenzène n	1855	0.5	µg/L
Butylbenzène sec	1610	0.5	µg/L
Butylbenzène tert	1611	0.5	µg/L
Cadmium	1388	0.01	µg(Cd)/L
Cadusafos	1863	0.005	µg/L
Cafeine	6519	0.01	µg/L
Captafol	1127	0.05	µg/L
Captane	1128	0.05	µg/L
Carbamazepine	5296	0.005	µg/L
Carbamazepine epoxide	6725	0.005	µg/L
Carbaryl	1463	0.005	µg/L
Carbendazime	1129	0.005	µg/L
Carbétamide	1333	0.005	µg/L
Carbofuran	1130	0.005	µg/L
Carbofuran 3 hydroxy	1805	0.005	µg/L
Carbophénothion	1131	0.005	µg/L
Carboxine	2975	0.005	µg/L
Carboxyibuprofen	6842	0.1	µg/L
Carfentrazone-ethyl	2976	0.005	µg/L
Cétylpyridium	8310	10	µg/L
Chinométhionate	1865	0.005	µg/L
Chlorantraniliprole	7500	0.005	µg/L
Chlorbufame	1336	0.02	µg/L
Chlordane alpha	7010	0.005	µg/L
Chlordane beta	1757	0.005	µg/L
Chlorefenon	5553	0.005	µg/L
Chlorfenapyr	2861	0.01	µg/L
Chlorfenvinphos	1464	0.005	µg/L
Chlorfluazuron	2950	0.01	µg/L
Chloridazone	1133	0.005	µg/L
Chlorimuron-ethyl	5522	0.02	µg/L
Chlormadinone	5405	0.01	µg/L
Chlormadinone-acetate	7709	0.01	µg/L
Chlorméphos	1134	0.005	µg/L
Chlormequat	5554	0.03	µg/L
Chlormequat chlorure	2097	0.038	µg/L
Chloroalcane C10-C13	1955	0.15	µg/L
Chloroaniline-2	1593	0.02	µg/L
Chloroaniline-3	1592	0.02	µg/L
Chloroaniline-4	1591	0.02	µg/L
Chlorobenzène	1467	0.5	µg/L
Chlorobromuron	2016	0.005	µg/L
Chloroéthane	1853	0.5	µg/L
Chloroforme (Trichlorométhane)	1135	0.5	µg/L
Chlorométhane	1736	0.5	µg/L
Chlorométhylaniline-4,2	2821	0.02	µg/L
Chlorométhylphénol-4,3	1636	0.02	µg/L
Chloronébe	1341	0.005	µg/L
Chloronitroaniline-4,2	1594	0.1	µg/L

Fluoranthène	1191	0.005	µg/L
Fluorène	1623	0.005	µg/L
Fluoxétine	5373	0.005	µg/L
Flupyrsulfuron methyle	2565	0.005	µg/L
Fluquinconazole	2056	0.005	µg/L
Fluridone	1974	0.005	µg/L
Flurochloridone	1675	0.005	µg/L
Fluroxypyr	1765	0.02	µg/L
Fluroxypyr-meptyl	2547	0.02	µg/L
Flurprimidol	2024	0.005	µg/L
Flurtamone	2008	0.005	µg/L
Flusilazole	1194	0.005	µg/L
Flutolanil	2985	0.005	µg/L
Flutriafol	1503	0.005	µg/L
Fluvoxamine	6739	0.01	µg/L
Fluxapyroxade	7342	0.005	µg/L
Folpel	1192	0.01	µg/L
Fomesafen	2075	0.05	µg/L
Fonofos	1674	0.005	µg/L
Foramsulfuron	2806	0.005	µg/L
Forchlorfenuron	5969	0.005	µg/L
Formaldéhyde	1702	1	µg/L
Foséthyl aluminium	1975	0.02	µg/L
Fosetyl	1816	0.0185	µg/L
Fosthiazate	2744	0.005	µg/L
Furalaxyl	1908	0.005	µg/L
Furathiocarbe	2567	0.02	µg/L
Furilazole	7441	0.005	µg/L
Furosemide	5364	0.01	µg/L
Gabapentine	7602	0.01	µg/L
Galaxolide	6618	0.025	µg/L
gamma-Hexabromocyclododecane	6653	0.05	µg/L
Gemfibrozil	5365	0.01	µg/L
Glufosinate	1526	0.02	µg/L
Glyphosate	1506	0.03	µg/L
Halosulfuron-methyl	5508	0.02	µg/L
Haloxypop	2047	0.02	µg/L
Haloxypop-éthoxyéthyl	1833	0.02	µg/L
Haloxypop-R	1909	0.005	µg/L
HCH alpha	1200	0.001	µg/L
HCH beta	1201	0.001	µg/L
HCH delta	1202	0.001	µg/L
HCH epsilon	2046	0.005	µg/L
HCH gamma	1203	0.001	µg/L
Heptachlore	1197	0.005	µg/L
Heptachlore époxyde cis	1748	0.005	µg/L
Heptachlore époxyde trans	1749	0.005	µg/L
Heptenophos	1910	0.005	µg/L
Hexachlorobenzène	1199	0.001	µg/L
Hexachlorobutadiène	1652	0.02	µg/L
Hexachloroéthane	1656	0.3	µg/L
Hexachloropentadiène	2612	0.1	µg/L
Hexaconazole	1405	0.005	µg/L
Hexaflumuron	1875	0.005	µg/L
Hexazinone	1673	0.005	µg/L
Hexythiazox	1876	0.02	µg/L
Hydrazide maleique	5645	0.5	µg/L
Hydrochlorothiazide	6746	0.005	µg/L
Hydroxy-metronidazole	6730	0.01	µg/L
Ibuprofene	5350	0.01	µg/L
Ifosfamide	6727	0.005	µg/L
Imazalil	1704	0.005	µg/L
Imazaméthabenz	1695	0.005	µg/L
Imazaméthabenz méthyl	1911	0.01	µg/L

Pyraclostrobine	2576	0.005	µg/L
Pyraflufen-ethyl	5509	0.005	µg/L
Pyrazophos	1258	0.005	µg/L
Pyrazosulfuron-ethyl	6386	0.005	µg/L
Pyrazoxyfen	6530	0.005	µg/L
Pyrène	1537	0.005	µg/L
Pyributicarb	5826	0.005	µg/L
Pyridabène	1890	0.005	µg/L
Pyridaphenthion	5606	0.005	µg/L
Pyridate	1259	0.05	µg/L
Pyrifénox	1663	0.01	µg/L
Pyriméthanol	1432	0.005	µg/L
Pyrimiphos éthyl	1260	0.02	µg/L
Pyrimiphos méthyl	1261	0.005	µg/L
Pyriproxyfène	5499	0.005	µg/L
Pyroxulam	7340	0.005	µg/L
Quinalphos	1891	0.005	µg/L
Quinmerac	2087	0.005	µg/L
Quinoxifen	2028	0.005	µg/L
Quintozène	1538	0.01	µg/L
Quizalofop	2069	0.02	µg/L
Quizalofop éthyl	2070	0.005	µg/L
Ranitidine	6529	0.005	µg/L
Rimsulfuron	1892	0.005	µg/L
Roténone	2029	0.005	µg/L
Roxythromycine	5423	0.05	µg/L
RS-Iopamidol	7049	0.05	µg/L
S Métolachlore	2974	0.03	µg/L
Salbutamol	6527	0.005	µg/L
Sébuthylazine	1923	0.005	µg/L
Sébuthylazine 2-hydroxy	6101	0.005	µg/L
Sébuthylazine desethyl	5981	0.005	µg/L
Secbumeton	1262	0.005	µg/L
Sedaxane	7724	0.01	µg/L
Sélénium	1385	0.1	µg(Se)/L
Sertraline	6769	0.005	µg/L
Séthoxydime	1808	0.02	µg/L
Siduron	1893	0.005	µg/L
Silthiopham	5609	0.005	µg/L
Silvex	1539	0.02	µg/L
Simazine	1263	0.005	µg/L
Simazine hydroxy	1831	0.005	µg/L
Simétryne	5477	0.005	µg/L
Somme de Méthylphénol-3 et de Méthyl	5855	0.02	µg/L
Sotalol	5424	0.005	µg/L
Spinosad	5610	0.01	µg/L
Spinosyne A	7438	0.01	µg/L
Spinosyne D	7439	0.01	µg/L
Spirotetramat	7506	0.005	µg/L
Spiroxamine	2664	0.005	µg/L
Styrène	1541	0.5	µg/L
Sulcotrione	1662	0.02	µg/L
Sulfadiazine	6758	0.02	µg/L
Sulfaméthazine	6525	0.005	µg/L
Sulfaméthazole	6795	0.005	µg/L
Sulfaméthoxazole	5356	0.005	µg/L
Sulfaquinoxaline	6575	0.05	µg/L
Sulfathiazole	6572	0.005	µg/L
Sulfométhuron-méthyl	5507	0.005	µg/L
Sulfonate de perfluorooctane (PFOS anion)	6561	0.002	µg/L
Sulfosufuron	2085	0.005	µg/L
Sulfotep	1894	0.005	µg/L
Sulprofos	5831	0.02	µg/L
Taufluvalinate	1193	0.005	µg/L

Chloronitrobenzène-1,2	1469	0.01	µg/L
Chloronitrobenzène-1,3	1468	0.01	µg/L
Chloronitrobenzène-1,4	1470	0.01	µg/L
Chlorophacinone	1684	0.02	µg/L
Chlorophénol-2	1471	0.01	µg/L
Chlorophénol-3	1651	0.05	µg/L
Chlorophénol-4	1650	0.05	µg/L
Chloroprène	2611	0.5	µg/L
Chloropropène-3	2065	0.5	µg/L
Chlorothalonil	1473	0.001	µg/L
Chlorotoluène-2	1602	0.5	µg/L
Chlorotoluène-3	1601	0.5	µg/L
Chlorotoluène-4	1600	0.5	µg/L
Chloroxuron	1683	0.005	µg/L
Chlorophame	1474	0.005	µg/L
Chlorpyrifos éthyl	1083	0.005	µg/L
Chlorpyrifos méthyl	1540	0.005	µg/L
Chlorsulfuron	1353	0.005	µg/L
Chlortetracycline	6743	0.1	µg/L
Chlorthal diméthyl	2966	0.005	µg/L
Chlorthiamide	1813	0.01	µg/L
Chlorthiophos	5723	0.02	µg/L
Chlortoluron	1136	0.005	µg/L
Chlorure de Benzylidène	2715	0.1	µg/L
CHLORURE DE CHOLINE	2977	0.1	µg/L
Chlorure de didécyl diméthyl ammonium	6636	10	µg/L
Chlorure de vinyle	1753	0.05	µg/L
Chrome	1389	0.5	µg(Cr)/L
Chrysène	1476	0.005	µg/L
Cinosulfuron	5481	0.005	µg/L
Ciprofloxacine	6540	0.02	µg/L
Clarithromycine	6537	0.005	µg/L
Clenbuterol	6968	0.005	µg/L
Clethodim	2978	0.005	µg/L
Clindamycine	6792	0.005	µg/L
Clodinafop-propargyl	2095	0.005	µg/L
Clofentézine	1868	0.005	µg/L
Clomazone	2017	0.005	µg/L
Clopidol	8743	1	µg/L
Clopyralide	1810	0.02	µg/L
Cloquintocet mexyl	2018	0.005	µg/L
Clorsulone	6748	0.01	µg/L
Clothianidine	6389	0.005	µg/L
Clotrimazole	5360	0.005	µg/L
Cobalt	1379	0.05	µg(Co)/L
Cotinine	6520	0.008	µg/L
Coumafène	2972	0.005	µg/L
Coumaphos	1682	0.02	µg/L
Coumatétralyl	2019	0.005	µg/L
Crésol-ortho	1640	0.01	µg/L
Crésol-para	1638	0.1	µg/L
Crotamiton	3285	0.05	µg/L
Crotoxyphos	5724	0.005	µg/L
Crufomate	5725	0.005	µg/L
Cuivre	1392	0.1	µg(Cu)/L
Cumyluron	6391	0.005	µg/L
Cyanazine	1137	0.005	µg/L
Cyanofenphos	5726	0.005	µg/L
Cyanures libres	1084	0.2	µg(CN)/L
Cyazofamid	5567	0.005	µg/L
Cycoate	5568	0.02	µg/L
Cyclophosphamide	6733	0.001	µg/L
CYCLOXYDIME	2729	0.005	µg/L
Cycluron	1696	0.005	µg/L

Imazamox	2986	0.005	µg/L
Imazapyr	2090	0.02	µg/L
IMAZAQUINE	2860	0.02	µg/L
Imibencnazole	7510	0.005	µg/L
Imidaclopride	1877	0.005	µg/L
Imipramine	6971	0.005	µg/L
Indéno(1,2,3-cd)pyrène	1204	0.0005	µg/L
Indometacine	6794	0.01	µg/L
Indoxacarbe	5483	0.02	µg/L
Iobitridol	6706	0.05	µg/L
Iodocarbe	2741	0.02	µg/L
Iodofenphos	2025	0.005	µg/L
Iodosulfuron	2563	0.005	µg/L
Iopromide	5377	0.05	µg/L
Ioxynil	1205	0.005	µg/L
Ioxynil methyl ester	2871	0.005	µg/L
Ioxynil octanoate	1942	0.01	µg/L
Ipoconazole	7508	0.005	µg/L
Iprobenfos	5777	0.005	µg/L
Iprodione	1206	0.05	µg/L
Iprovalicarbe	2951	0.005	µg/L
Irbesartan	6535	0.005	µg/L
Irgarol (Cybutryne)	1935	0.001	µg/L
Isobutylbenzène	1836	0.5	µg/L
Isodrine	1207	0.001	µg/L
Isofenphos	1829	0.005	µg/L
Isoproc carb	5781	0.005	µg/L
Isopropylbenzène	1633	0.5	µg/L
Isopropyltoluène o	2681	0.5	µg/L
Isopropyltoluène p	1856	0.5	µg/L
Isoptroturon	1208	0.005	µg/L
Isoquinoline	6643	0.01	µg/L
Isothiocyanate de méthyle	2722	0.05	µg/L
Isoxaben	1672	0.005	µg/L
Isoxadifen-éthyle	2807	0.005	µg/L
Isoxafutol	1945	0.005	µg/L
Isoxathion	5784	0.005	µg/L
Karbutilate	7505	0.005	µg/L
Ketoprofène	5353	0.005	µg/L
Ketorolac	7669	0.01	µg/L
Kresoxim méthyl	1950	0.005	µg/L
Lambda Cyhalothrine	1094	0.00006	µg/L
Lauryl sulfate	5282	50	µg/L
Laurylpyridinium	8330	10	µg/L
Lénacile	1406	0.005	µg/L
Levamisole	6711	0.005	µg/L
Levonorgestrel	6770	0.02	µg/L
Lincomycine	7843	0.005	µg/L
Linuron	1209	0.005	µg/L
Lithium	1364	0.5	µg(Li)/L
Lorazepam	5374	0.005	µg/L
Malathion	1210	0.005	µg/L
Malathion-o-analog	5787	0.005	µg/L
Mancozèbe	1211	0.03	µg/L
Mandipropamid	6399	0.005	µg/L
Manèbe	1705	0.03	µg/L
Manganèse	1394	293	µg(Mn)/L
Marbofloxacine	6700	0.1	µg/L
MCPA-1-butyl ester	2745	0.005	µg/L
MCPA-2-ethylhexyl ester	2746	0.005	µg/L
MCPA-butoxyethyl ester	2747	0.005	µg/L
MCPA-ethyl-ester	2748	0.01	µg/L
MCPA-methyl-ester	2749	0.005	µg/L
Mecarbam	5789	0.005	µg/L

TCMTB	5834	0.01	µg/L
Tébuconazole	1694	0.005	µg/L
Tébufénozide	1895	0.005	µg/L
Tébufenpyrad	1896	0.005	µg/L
Tébutpirimfos	7511	0.02	µg/L
Tébutame	1661	0.005	µg/L
Tébuthiuron	1542	0.005	µg/L
Tecnazène	5413	0.01	µg/L
Téflubenzuron	1897	0.005	µg/L
Téfluthrine	1953	0.005	µg/L
Tellure	2559	0.5	µg(Te)/L
Tembotrione	7086	0.05	µg/L
Téméphos	1898	0.02	µg/L
Terbacile	1659	0.005	µg/L
Terbuméton	1266	0.005	µg/L
Terbuphos	1267	0.005	µg/L
Terbutaline	6963	0.02	µg/L
Terbutylazine	1268	0.005	µg/L
Terbutylazine déséthyl	2045	0.005	µg/L
Terbutylazine desethyl-2-hydroxy	7150	0.005	µg/L
Terbutylazine hydroxy	1954	0.02	µg/L
Terbutryne	1269	0.005	µg/L
Testosterone	5384	0.005	µg/L
Tetrabutylétain	1936	0.00058	µg/L
Tétrachloréthane-1,1,1,2	1270	0.5	µg/L
Tétrachloréthane-1,1,2,2	1271	0.02	µg/L
Tétrachloréthylène	1272	0.5	µg/L
Tétrachlorobenzène	2735	0.02	µg/L
Tétrachlorobenzène-1,2,3,4	2010	0.01	µg/L
Tétrachlorobenzène-1,2,3,5	2536	0.01	µg/L
Tétrachlorobenzène-1,2,4,5	1631	0.01	µg/L
Tétrachlorure de C	1276	0.5	µg/L
Tétrachlorvinphos	1277	0.005	µg/L
Tétraconazole	1660	0.005	µg/L
Tetracycline	6750	0.1	µg/L
Tétradécyl diméthyl benzyl ammonium	8298	10	µg/L
Tétradifon	1900	0.005	µg/L
Tétraphénylétain	5249	0.005	µg/L
Tetrasul	5837	0.01	µg/L
Thallium	2555	0.01	µg(Tl)/L
Thiabendazole	1713	0.005	µg/L
Thiacloprid	5671	0.005	µg/L
Thiafluamide	1940	0.005	µg/L
Thiamethoxam	6390	0.005	µg/L
Thiazasulfuron	1714	0.02	µg/L
Thidiazuron	5934	0.005	µg/L
Thiencarbazone-méthyl	7517	0.02	µg/L
Thifensulfuron méthyl	1913	0.005	µg/L
Thiocyclam hydrogen oxalate	7512	0.01	µg/L
Thiodicarbe	1093	0.02	µg/L
Thiofanox	1715	0.05	µg/L
Thiofanox sulfone	5476	0.005	µg/L
Thiofanox sulfoxyde	5475	0.005	µg/L
Thiométon	2071	0.005	µg/L
Thionazin	5838	0.05	µg/L
Thiophanate-ethyl	7514	0.05	µg/L
Thiophanate-méthyl	1717	0.02	µg/L
Thiram	1718	0.1	µg/L
Ticlodipidine	6524	0.005	µg/L
Timolol	7965	0.005	µg/L
Tiocarbazil	5922	0.005	µg/L
Titane	1373	0.5	µg(Ti)/L
Tolclofos-méthyl	5675	0.005	µg/L
Toluène	1278	0.5	µg/L

cyflufénamide	7748	0.05	µg/L
Cyfluthrine	1681	0.005	µg/L
Cyhalofop-butyl	5569	0.02	µg/L
Cyhalothrine	1138	0.005	µg/L
Cymoxanil	1139	0.005	µg/L
Cyperméthrine	1140	0.005	µg/L
Cyproconazole	1680	0.005	µg/L
Cyprodinil	1359	0.005	µg/L
Cyprosulfamide	7801	0.005	µg/L
Cyromazine	2897	0.02	µg/L
Cythioate	7503	0.02	µg/L
Daimuron	5930	0.005	µg/L
Dalapon	2094	0.02	µg/L
Daminozide	5597	0.03	µg/L
Danofloxacin	6677	0.1	µg/L
DCPMU (métabolite du Diuron)	1929	0.005	µg/L
DCPU (métabolite Diuron)	1930	0.005	µg/L
DDD-o,p'	1143	0.001	µg/L
DDD-p,p'	1144	0.001	µg/L
DDE-o,p'	1145	0.001	µg/L
DDE-p,p'	1146	0.001	µg/L
DDT-o,p'	1147	0.001	µg/L
DDT-p,p'	1148	0.001	µg/L
DEHP	6616	0.2	µg/L
Deltaméthrine	1149	0.001	µg/L
Déméton S méthyl	1153	0.005	µg/L
Déméton S méthyl sulfone	1154	0.005	µg/L
Déméton-O	1150	0.01	µg/L
Déméton-S	1152	0.01	µg/L
Déséthyl-terbuméthon	2051	0.005	µg/L
Desmediphame	2980	0.005	µg/L
Desméthylisoproturon	2738	0.005	µg/L
Desmétryne	1155	0.005	µg/L
Desvenlafaxine	6785	0.01	µg/L
Dexaméthasone	6574	0.05	µg/L
Di iso heptyl phtalate	2538	0.1	µg/L
Diallate	1156	0.02	µg/L
Diazepam	5372	0.005	µg/L
Diazinon	1157	0.005	µg/L
Dibenzo (ah) Anthracène	1621	0.001	µg/L
Dibromo-1,2 chloro-3propane	1479	0.5	µg/L
Dibromoacétonitrile	1738	5	µg/L
Dibromochlorométhane	1158	0.05	µg/L
Dibromoéthane-1,2	1498	0.05	µg/L
Dibromométhane	1513	0.5	µg/L
Dibutyletain cation	7074	0.00039	µg/L
Dicamba	1480	0.03	µg/L

Mécoprop	1214	0.005	µg/L
Mecoprop n isobutyl ester	2870	0.005	µg/L
Mecoprop-1-octyl ester	2750	0.005	µg/L
Mecoprop-2,4,4-triméthylphényl es	2751	0.005	µg/L
Mecoprop-2-butoxyethyl ester	2752	0.005	µg/L
Mecoprop-2-ethylhexyl ester	2753	0.005	µg/L
Mecoprop-2-octyl ester	2754	0.005	µg/L
Mecoprop-méthyl ester	2755	0.005	µg/L
Mécoprop-P	2084	0.05	µg/L
Méfenacet	1968	0.005	µg/L
Méfenpyr diethyl	2930	0.005	µg/L
Mefluidide	2568	0.005	µg/L
Méfonoxam	2987	0.02	µg/L
Mepanipyrim	5533	0.005	µg/L
Méphosfolan	5791	0.005	µg/L
Mépiquat	1969	0.03	µg/L
Mépiquat chlorure	2089	0.04	µg/L
Mepivacaine	6521	0.005	µg/L
Mépronil	1878	0.005	µg/L
Meptyldinocap	1677	1	µg/L
Mercaptodiméthur	1510	0.005	µg/L
Mercaptodiméthur sulfoxyde	1804	0.005	µg/L
Mercuré	1387	0.01	µg(Hg)/L
Mesosulfuron méthyle	2578	0.005	µg/L
Mésotrione	2076	0.03	µg/L
metaflumizone	7747	0.02	µg/L
Métalaxyl	1706	0.005	µg/L
Métaldéhyde	1796	0.02	µg/L
Métamitron	1215	0.005	µg/L
Metazachlor oxalic acid	6894	0.02	µg/L
Metazachlor sulfonic acid	6895	0.02	µg/L
Métazachlore	1670	0.005	µg/L
Metconazole	1879	0.005	µg/L
Metformine	6755	0.005	µg/L
Méthabenzthiazuron	1216	0.005	µg/L
Methacrifos	5792	0.02	µg/L
Méthamidophos	1671	0.005	µg/L
Méthidathion	1217	0.005	µg/L
Méthomyl	1218	0.005	µg/L
Methotrexate	6793	0.005	µg/L
Méthoxychlor	1511	0.005	µg/L
Methoxyfenoside	5511	0.1	µg/L
Méthyl-2-Fluoranthène	1619	0.001	µg/L
Méthyl-2-Naphtalène	1618	0.005	µg/L
Méthylchloroisothiazolinone	8252	0.2	µg/L
Méthylisothiazolinone	8253	0.1	µg/L
Methylparaben	6695	0.01	µg/L

Tolyfluanide	1719	0.005	µg/L
Tolytriazole	6660	0.005	µg/L
Tramadol	6720	0.005	µg/L
Triadiméfon	1544	0.005	µg/L
Triadiménol	1280	0.005	µg/L
Triallate	1281	0.005	µg/L
Triasulfuron	1914	0.005	µg/L
Triazamate	1901	0.005	µg/L
Triazophos	1657	0.005	µg/L
Tribenuron-Méthyle	2064	0.02	µg/L
Tributyl phosphorotrithioite	5840	0.02	µg/L
Tributyletain cation	2879	0.0001	µg/L
Tributylphosphate	1847	0.01	µg/L
Trichlopyr	1288	0.02	µg/L
Trichloréthane-1,1,1	1284	0.05	µg/L
Trichloréthane-1,1,2	1285	0.2	µg/L
Trichloréthylène	1286	0.5	µg/L
Trichlorobenzène-1,2,3	1630	0.05	µg/L
Trichlorobenzène-1,2,4	1283	0.05	µg/L
Trichlorobenzène-1,3,5	1629	0.05	µg/L
Trichlorofluorométhane	1195	0.05	µg/L
Trichlorophénol-2,4,5	1548	0.01	µg/L
Trichlorophénol-2,4,6	1549	0.02	µg/L
Trichloropropane-1,2,3	1854	0.5	µg/L
Trichlorotrifluoroéthane-1,1,2	1196	0.5	µg/L
Triclocarban	6989	0.005	µg/L
Triclosan	5430	0.02	µg/L
Tricyclazole	2898	0.005	µg/L
Tricyclohexyletain cation	2885	0.0005	µg/L
Trietazine	5842	0.005	µg/L
Trietazine 2-hydroxy	6102	0.005	µg/L
Trietazine desethyl	5971	0.005	µg/L
Trifloxystrobine	2678	0.005	µg/L
Triflumuron	1902	0.005	µg/L
Trifluraline	1289	0.005	µg/L
Triflusulfuron-méthyl	2991	0.005	µg/L
Triforine	1802	0.005	µg/L
Trimetazidine	6732	0.005	µg/L
Trimethoprime	5357	0.005	µg/L
Triméthylbenzène-1,2,3	1857	1	µg/L
Triméthylbenzène-1,2,4	1609	1	µg/L
Triméthylbenzène-1,3,5	1509	1	µg/L
Trinexapac-ethyl	2096	0.02	µg/L
Triocyletain cation	2886	0.0005	µg/L
Triphenyletain cation	6372	0.00059	µg/L
Triticonazole	2992	0.02	µg/L
Uniconazole	7482	0.005	µg/L
Uranium	1361	0.19	µg(U)/L
Vamidothion	1290	0.005	µg/L
Vanadium	1384	0.1	µg(V)/L
Venlafaxine	7611	1	µg/L
Vinclozoline	1291	0.005	µg/L
Xylène-meta	1293	0.1	µg/L
Xylène-ortho	1292	0.05	µg/L
Xylène-para	1294	0.1	µg/L
Zinc	1383	1	µg(Zn)/L
Zolpidem	5376	0.005	µg/L
Zoxamide	2858	0.005	µg/L

II. Liste des micropolluants analysés sur sédiment

Libellé paramètre	Code SANDRE	LQ	Unité
1-Butanol	2595	1000	µg/(kg MS)
1-Méthylanthralène	2725	2	µg/(kg MS)
1-Propanol	2617	1000	µg/(kg MS)
2 4 D isopropyl ester	2872	5 & 10 & 20	µg/(kg MS)
2 4 D méthyl ester	2873	50 & 100	µg/(kg MS)
2 6 Dichlorobenzamide	2011	4 & 8	µg/(kg MS)
2,2',5-Trichlorobiphenyl	3164	1 & 2	µg/(kg MS)
2,2-Dimethylbutane	2666	2	µg/(kg MS)
2,3,4-Trichloroanisole	2761	50 & 100	µg/(kg MS)
2,3-Dimethylbutane	2667	2	µg/(kg MS)
2,3-Dimethylpentane	2668	2	µg/(kg MS)
2-Butanol	2570	1000	µg/(kg MS)
2-Ethylhexanol	5263	1000	µg/(kg MS)
2-Heptanone	2619	1000	µg/(kg MS)
2-Hexanone	2627	1000	µg/(kg MS)
2-Méthyl-1-Butanol	2577	1000	µg/(kg MS)
2-Méthylcyclohexanone	2630	1000	µg/(kg MS)
2-Méthylpentane	2683	2	µg/(kg MS)
2-Nonanone	2631	1000	µg/(kg MS)
2-Pentanol	2584	1000	µg/(kg MS)
2-Pentanone	2633	1000	µg/(kg MS)
3-Chloro-4 méthylaniline	2820	50 & 100	µg/(kg MS)
3-méthyl-cyclohexanone	2636	1000	µg/(kg MS)
3-Octanone	2634	1000	µg/(kg MS)
3-Pentanol	2587	1000	µg/(kg MS)
4-Heptanone	2638	1000	µg/(kg MS)
Méthylbenzylidène camph	6536	5 & 10 & 20	µg/(kg MS)
4-n-nonylphénol	5474	5 & 10 & 20	µg/(kg MS)
phénol diéthoxylate (méla	6369	10 & 20	µg/(kg MS)
4-nonylphénols ramifiés	1958	10 & 20	µg/(kg MS)
c-Butyl-2,6-di-tert-butylph	7101	20 & 40	µg/(kg MS)
4-tert-butylphénol	2610	5 & 10 & 20	µg/(kg MS)
4-tert-octylphénol	1959	20 & 40	µg/(kg MS)
5-Méthylchrysène	7155	10 & 20	µg/(kg MS)
5-Nonanone	2640	1000	µg/(kg MS)
Acénaphène	1453	10 & 20	µg/(kg MS)
Acénaphthylène	1622	10 & 20	µg/(kg MS)
Acétate de butyle	2711	1000	µg/(kg MS)
Acétate de vinyle	6241	1000	µg/(kg MS)
Acétate d'éthyl	1496	1000	µg/(kg MS)
Acétate d'isopropyl	2710	1000	µg/(kg MS)
Acétochlorure	1903	4 & 8	µg/(kg MS)
Acétone	1455	1000	µg/(kg MS)
Acetonitrile	5316	1000	µg/(kg MS)
Acibenzolar-S-Méthyl	5581	5 & 10 & 20	µg/(kg MS)
Acétylperfluoro-decanoïque (P	6509	50	µg/(kg MS)
Acétylperfluoro-hexanesulfonique	6830	50	µg/(kg MS)
Acétylperfluoro-n-hexanoïque (P	5978	50	µg/(kg MS)
Acétylperfluoro-octanesulfonique	6560	5	µg/(kg MS)
Acétylperfluoro-octanoïque (P	5347	50	µg/(kg MS)
Acionifène	1688	10 & 20	µg/(kg MS)
Acinathrine	1310	20 & 40	µg/(kg MS)
Acrylate de méthyle	2707	1000	µg/(kg MS)
Acrylate d'éthyle	2708	1000	µg/(kg MS)
Alachlore	1101	5 & 10 & 20	µg/(kg MS)
Aldrine	1103	5 & 10 & 20	µg/(kg MS)
Alfa-Hexabromocyclododec	6651	10 & 20	µg/(kg MS)
Alphaméthrine	1812	4 & 8	µg/(kg MS)
Aluminium	1370	5	mg/(kg MS)
Amétryne	1104	4 & 8	µg/(kg MS)
Amitraze	1308	5 & 10 & 20	µg/(kg MS)
Amylène hydrate	2582	1000	µg/(kg MS)
Anthanthrene	7102	10 & 20	µg/(kg MS)
Anthracène	1458	10 & 20	µg/(kg MS)
Anthraquinone	2013	4 & 8	µg/(kg MS)
Antimoine	1376	0.2	mg/(kg MS)
Argent	1368	0.1	mg/(kg MS)
Arsenic	1369	0.2	mg/(kg MS)
Atrazine	1107	4 & 8	µg/(kg MS)
Atrazine déisopropyl	1109	20 & 40	µg/(kg MS)
Atrazine déséthyl	1108	20 & 40	µg/(kg MS)
Azaconazole	2014	10 & 20	µg/(kg MS)
Azaméthiphos	2015	5 & 10	µg/(kg MS)
Azinphos éthyl	1110	10 & 20	µg/(kg MS)
Azinphos méthyl	1111	10 & 20	µg/(kg MS)
Azoxystrobine	1951	10 & 20	µg/(kg MS)
Baryum	1396	0.4	mg/(kg MS)
BDE 196	5989	5 & 10 & 20	µg/(kg MS)
BDE 197	5990	5 & 10 & 20	µg/(kg MS)
BDE 198	5991	5 & 10 & 20	µg/(kg MS)
BDE 203	5986	5 & 10 & 20	µg/(kg MS)
BDE 204	5996	5 & 10 & 20	µg/(kg MS)

Libellé paramètre	Code SANDRE	LQ	Unité
Fluazinam	2984	10 & 20	µg/(kg MS)
Fludioxonil	2022	4 & 8	µg/(kg MS)
Flufénoxuron	1676	10 & 20	µg/(kg MS)
Fluométron	1501	10 & 20	µg/(kg MS)
Fluoranthène	1191	10 & 20	µg/(kg MS)
Fluorène	1623	10 & 20	µg/(kg MS)
Fluridone	1974	5 & 10 & 20	µg/(kg MS)
Flurochloridone	1675	4 & 8	µg/(kg MS)
Fluroxypyr-meptyl	2547	20 & 40	µg/(kg MS)
Flurprimidol	2024	10 & 20	µg/(kg MS)
Flurtamone	2008	10 & 20	µg/(kg MS)
Flusilazole	1194	5 & 10	µg/(kg MS)
Flutriafol	1503	10 & 20	µg/(kg MS)
Fonofos	1674	5 & 10 & 20	µg/(kg MS)
Fosthiazate	2744	20 & 40	µg/(kg MS)
Furalaxyl	1908	5 & 10 & 20	µg/(kg MS)
Furathiocarbe	2567	5 & 10 & 20	µg/(kg MS)
Galaxolide	6618	5 & 10 & 20	µg/(kg MS)
gamma-Hexabromocyclododecane	6653	10 & 20	µg/(kg MS)
HCH alpha	1200	5 & 10	µg/(kg MS)
HCH beta	1201	5 & 10	µg/(kg MS)
HCH delta	1202	5 & 10	µg/(kg MS)
HCH epsilon	2046	5 & 10	µg/(kg MS)
HCH gamma	1203	5 & 10	µg/(kg MS)
Heptachlore	1197	5 & 10 & 20	µg/(kg MS)
Heptachlore époxyde cis	1748	5 & 10	µg/(kg MS)
Heptachlore époxyde trans	1749	5 & 10	µg/(kg MS)
Heptane (C7)	2674	2	µg/(kg MS)
Heptenophos	1910	5 & 10 & 20	µg/(kg MS)
Hexachlorobenzène	1199	5	µg/(kg MS)
Hexachlorobutadiène	1652	1	µg/(kg MS)
Hexachloroéthane	1656	10	µg/(kg MS)
Hexachloropentadiène	2612	2	µg/(kg MS)
Hexaconazole	1405	10 & 20	µg/(kg MS)
Hexaflumuron	1875	10 & 20	µg/(kg MS)
Hexazinone	1673	5 & 10	µg/(kg MS)
Hexythiazox	1876	5 & 10	µg/(kg MS)
Imazaméthabenz méthyl	1911	20 & 40	µg/(kg MS)
Indane	2676	2	µg/(kg MS)
Indène	2677	2	µg/(kg MS)
Indéno(1,2,3-cd)pyrène	1204	10 & 20	µg/(kg MS)
Indoxacarbe	5483	5 & 10 & 20	µg/(kg MS)
Iodofenphos	2025	5 & 10 & 20	µg/(kg MS)
Iprodione	1206	10 & 20	µg/(kg MS)
Iprovalicarbe	2951	10 & 20	µg/(kg MS)
Irganox 1076	7129	20 & 40	µg/(kg MS)
Irgarol (Cybutryne)	1935	5 & 10 & 20	µg/(kg MS)
Isazofos	1976	4 & 8	µg/(kg MS)
Isobutyl alcool	2579	1000	µg/(kg MS)
Isobutylbenzène	1836	2	µg/(kg MS)
Isodrine	1207	4 & 8	µg/(kg MS)
Isodurene	2689	2	µg/(kg MS)
Isofenphos	1829	4 & 8	µg/(kg MS)
Isooctane	1581	2	µg/(kg MS)
Isopentane	2682	2	µg/(kg MS)
Isopentyl alcool	2590	1000	µg/(kg MS)
Isopropyl alcool [USAN]	2585	1000	µg/(kg MS)
Isopropylbenzène	1633	2	µg/(kg MS)
Isopropyltoluène m	2680	2	µg/(kg MS)
Isopropyltoluène o	2681	2	µg/(kg MS)
Isopropyltoluène p	1856	2	µg/(kg MS)
Isoproturon	1208	20 & 40	µg/(kg MS)
Isoxaben	1672	10 & 20	µg/(kg MS)
Isxadifène-éthyle	2807	10 & 20	µg/(kg MS)
Isoxaflutol	1945	5 & 10 & 20	µg/(kg MS)
Kresoxim méthyl	1950	5 & 10 & 20	µg/(kg MS)
Lambda Cyhalothrine	1094	10 & 20	µg/(kg MS)
Lénacile	1406	5 & 10 & 20	µg/(kg MS)
Linuron	1209	20 & 40	µg/(kg MS)
Lithium	1364	0.2	mg/(kg MS)
Lufénuron	2026	10 & 20	µg/(kg MS)
Malathion	1210	5 & 10 & 20	µg/(kg MS)
Manganèse	1394	0.4	mg/(kg MS)
Mecarbam	5789	40 & 80	µg/(kg MS)
Méfénacet	1968	5 & 10 & 20	µg/(kg MS)
Méfénpyr diéthyl	2930	5 & 10 & 20	µg/(kg MS)
Mepanipyrim	5533	5 & 10 & 20	µg/(kg MS)
Mépronil	1878	5 & 10 & 20	µg/(kg MS)
Mercaptodiméthur	1510	4 & 8	µg/(kg MS)
Mercurure	1387	0.01	mg/(kg MS)
Métalaxyl	1706	4 & 8	µg/(kg MS)
Métamitron	1215	20 & 40	µg/(kg MS)

BDE 205	5997	5 & 10 & 20	µg/(kg MS)
BDE100	2915	2 & 4	µg/(kg MS)
BDE138	2913	2 & 4	µg/(kg MS)
BDE153	2912	2 & 4	µg/(kg MS)
BDE154	2911	2 & 4	µg/(kg MS)
BDE183	2910	2 & 4	µg/(kg MS)
BDE209	1815	5 & 10 & 20	µg/(kg MS)
BDE28	2920	2 & 4	µg/(kg MS)
BDE47	2919	2 & 4	µg/(kg MS)
BDE77	7437	2 & 4	µg/(kg MS)
BDE99	2916	2 & 4	µg/(kg MS)
Beflubutamide	7522	20 & 40	µg/(kg MS)
Bénalaxyl	1687	5 & 10 & 20	µg/(kg MS)
Bendiocarbe	1329	10 & 20	µg/(kg MS)
Benfluraline	1112	4 & 8	µg/(kg MS)
Benoxacor	2074	4 & 8	µg/(kg MS)
Benthiavalicarbe-isopropy	7460	10 & 20	µg/(kg MS)
Benthiocarbe	1764	10 & 20	µg/(kg MS)
Benzène	1114	2	µg/(kg MS)
Benzene, 1-ethyl-2-methyl	2717	2	µg/(kg MS)
Benzo (a) Anthracène	1082	10 & 20	µg/(kg MS)
Benzo (a) Pyrène	1115	10 & 20	µg/(kg MS)
Benzo (b) Fluoranthène	1116	10 & 20	µg/(kg MS)
Benzo (ghi) Pérylène	1118	10 & 20	µg/(kg MS)
Benzo (k) Fluoranthène	1117	10 & 20	µg/(kg MS)
Benzo(c)fluorène	7279	10 & 20	µg/(kg MS)
Benzo(e)pyrène	1460	10 & 20	µg/(kg MS)
Benzyl butyl phtalate	1924	50 & 100	µg/(kg MS)
Beryllium	1377	0.2	mg/(kg MS)
ta-Hexabromocyclohexane	6652	10 & 20	µg/(kg MS)
Bifénox	1119	50 & 100	µg/(kg MS)
Bifenthrine	1120	10 & 20	µg/(kg MS)
Bioresméthrine	1502	10 & 20	µg/(kg MS)
Biphényle	1584	10 & 20	µg/(kg MS)
Bitertanol	1529	10 & 20	µg/(kg MS)
Bore	1362	1	mg/(kg MS)
Boscalid	5526	4 & 8	µg/(kg MS)
Bromacil	1686	4 & 8	µg/(kg MS)
Bromobenzène	1632	2	µg/(kg MS)
Bromochlorométhane	1121	10	µg/(kg MS)
Bromoforme	1122	10	µg/(kg MS)
Bromophos éthyl	1123	5 & 10 & 20	µg/(kg MS)
Bromophos méthyl	1124	5 & 10 & 20	µg/(kg MS)
Bromopropylate	1685	5 & 10 & 20	µg/(kg MS)
Bromure de méthyle	1530	2	µg/(kg MS)
Bupirimate	1861	5 & 10 & 20	µg/(kg MS)
Butraline	1126	5 & 10 & 20	µg/(kg MS)
Butylbenzène n	1855	5	µg/(kg MS)
Butylbenzène sec	1610	5	µg/(kg MS)
Butylbenzène tert	1611	5	µg/(kg MS)
Cadmium	1388	0.1	mg/(kg MS)
Cadusafos	1863	4 & 8	µg/(kg MS)
Carbaryl	1463	10 & 20	µg/(kg MS)
Carbétamide	1333	10 & 20	µg/(kg MS)
Carbofuran	1130	5 & 10	µg/(kg MS)
Carbophénothion	1131	5 & 10 & 20	µg/(kg MS)
Carbosulfan	1864	5 & 10 & 20	µg/(kg MS)
Carboxine	2975	10 & 20	µg/(kg MS)
Carfentrazone-ethyl	2976	5 & 10 & 20	µg/(kg MS)
Chinométhionate	1865	5 & 10 & 20	µg/(kg MS)
Chlorbufame	1336	10	µg/(kg MS)
Chlordane alpha	7010	5 & 10 & 20	µg/(kg MS)
Chlordane beta	1757	5 & 10 & 20	µg/(kg MS)
Chlordécol	7527	13 & 26	µg/(kg MS)
Chlordécone	1866	10 & 20	µg/(kg MS)
Chlordecone-5b-hydro	6577	10 & 20	µg/(kg MS)
Chlofenizon	5553	5 & 10 & 20	µg/(kg MS)
Chlorfenvinphos	1464	5 & 10 & 20	µg/(kg MS)
Chlorfluazuron	2950	10 & 20	µg/(kg MS)
Chloridazone	1133	10 & 20	µg/(kg MS)
Chlorméphos	1134	5 & 10 & 20	µg/(kg MS)
Chloroalcanes C10-C13	1955	2000 & 4000	µg/(kg MS)
Chloroaniline-2	1593	50 & 100	µg/(kg MS)
Chloroaniline-3	1592	20 & 40	µg/(kg MS)
Chloroaniline-4	1591	20 & 40	µg/(kg MS)
Chlorobenzène	1467	2	µg/(kg MS)
Chlorobromuron	2016	10 & 20	µg/(kg MS)
chloroforme (Trichlorométha	1135	2	µg/(kg MS)
Chloronébe	1341	5 & 10 & 20	µg/(kg MS)
Chloronitroaniline-4,2	1594	50 & 100	µg/(kg MS)
Chloronitrobenzène-1,2	1469	5 & 10 & 20	µg/(kg MS)
Chloronitrobenzène-1,3	1468	5 & 10 & 20	µg/(kg MS)

Métazachlore	1670	5 & 10 & 20	µg/(kg MS)
Metconazole	1879	10 & 20	µg/(kg MS)
Méthabenzthiazuron	1216	10 & 20	µg/(kg MS)
Methacrifos	5792	5 & 10 & 20	µg/(kg MS)
Methacrylate de			
méthyle	2723	1000	µg/(kg MS)
Méthanol	2052	5000	µg/(kg MS)
Méthidathion	1217	20 & 40	µg/(kg MS)
Méthoxychlor	1511	5 & 10 & 20	µg/(kg MS)
Méthyl cyclohexane	5506	2	µg/(kg MS)
Méthyl éthyl cétone	1514	1000	µg/(kg MS)
Méthyl isobutyl cétone	1508	1000	µg/(kg MS)
Méthyl triclosan	6664	5 & 10 & 20	µg/(kg MS)
Méthyl-2-			
Fluoranthène	1619	10 & 20	µg/(kg MS)
Méthyl-2-Naphtalène	1618	10 & 20	µg/(kg MS)
Méthyl-4			
cyclohexanone-1	2639	1000	µg/(kg MS)
Métobromuron	1515	20 & 40	µg/(kg MS)
Métolachlore	1221	4 & 8	µg/(kg MS)
Métoxuron	1222	20 & 40	µg/(kg MS)
Metrafenone	5654	5 & 10 & 20	µg/(kg MS)
Métribuzine	1225	10 & 20	µg/(kg MS)
Mévinphos	1226	5 & 10 & 20	µg/(kg MS)
Mirex	5438	5 & 10 & 20	µg/(kg MS)
Molinate	1707	5 & 10 & 20	µg/(kg MS)
Molybdène	1395	0.2	mg/(kg MS)
Monobutyletain cation	2542	30 & 75	µg/(kg MS)
Monolinuron	1227	10 & 20	µg/(kg MS)
Monooctyletain cation	7496	4 & 40	µg/(kg MS)
Monophénylétain			
cation	7497	30	µg/(kg MS)
Monuron	1228	10 & 20	µg/(kg MS)
MTBE	1512	2	µg/(kg MS)
Musc xylène	6342	5 & 10 & 20	µg/(kg MS)
Myclobutanil	1881	10 & 20	µg/(kg MS)
Naphtalène	1517	10 & 20	µg/(kg MS)
Napropamide	1519	5 & 10 & 20	µg/(kg MS)
n-Butyl acrylate	2712	1000	µg/(kg MS)
n-Butyl Phtalate	1462	50 & 100	µg/(kg MS)
Néburon	1520	10 & 20	µg/(kg MS)
n-Hexane	2675	10	µg/(kg MS)
Nickel	1386	0.2	mg/(kg MS)
Nitrile acrylique	2709	1000	µg/(kg MS)
Nitrofène	1229	5 & 10 & 20	µg/(kg MS)
Nonane (C9)	2684	2	µg/(kg MS)
Nonylphénols linéaire			
ou ramifiés	6598	10 & 20	µg/(kg MS)
Norflurazon	1669	4 & 8	µg/(kg MS)
Norflurazon desméthyl	2737	5 & 10 & 20	µg/(kg MS)
n-Pentanol	2598	1000	µg/(kg MS)
Nuarimol	1883	5 & 10 & 20	µg/(kg MS)
Octabromodiphénylét			
her	2609	10 & 20	µg/(kg MS)
Octane (C8)	2679	2	µg/(kg MS)
Octocrylene	6686	5 & 10 & 20	µg/(kg MS)
Ofurace	2027	4 & 8	µg/(kg MS)
Orthophénylphénol	2781	5 & 10 & 20	µg/(kg MS)
Oxadiazol	2068	25 & 50	µg/(kg MS)
Oxadiazon	1667	5 & 10 & 20	µg/(kg MS)
Oxadixyl	1666	5 & 10	µg/(kg MS)
Oxamyl	1850	20 & 40	µg/(kg MS)
Oxychlorane	1848	5 & 10 & 20	µg/(kg MS)
Oxyde de biphenyle	3357	10 & 20	µg/(kg MS)
Oxyfluorène	1952	5 & 10 & 20	µg/(kg MS)
Paclobutrazole	2545	10 & 20	µg/(kg MS)
Parathion éthyl	1232	5 & 10 & 20	µg/(kg MS)
Parathion méthyl	1233	5 & 10 & 20	µg/(kg MS)
PCB 101	1242	1 & 2	µg/(kg MS)
PCB 105	1627	1 & 2	µg/(kg MS)
PCB 114	5433	1 & 2	µg/(kg MS)
PCB 118	1243	1 & 2	µg/(kg MS)
PCB 123	5434	1 & 2	µg/(kg MS)
PCB 126	1089	1 & 2	µg/(kg MS)
PCB 132	6463	1 & 2	µg/(kg MS)
PCB 138	1244	1 & 2	µg/(kg MS)
PCB 149	1885	1 & 2	µg/(kg MS)
PCB 153	1245	1 & 2	µg/(kg MS)
PCB 156	2032	1 & 2	µg/(kg MS)
PCB 157	5435	1 & 2	µg/(kg MS)
PCB 167	5436	1 & 2	µg/(kg MS)
PCB 169	1090	1 & 2	µg/(kg MS)
PCB 170	1626	1 & 2	µg/(kg MS)
PCB 180	1246	1 & 2	µg/(kg MS)
PCB 189	5437	1 & 2	µg/(kg MS)
PCB 193	6465	1 & 2	µg/(kg MS)
PCB 194	1625	1 & 2	µg/(kg MS)
PCB 209	1624	1 & 2	µg/(kg MS)

Chloronitrobenzène-1,4	1470	5 & 10 & 20	µg/(kg MS)
Chloroprène	2611	2	µg/(kg MS)
Chloropropane-2	2695	2	µg/(kg MS)
Chloropropène-3	2065	2	µg/(kg MS)
Chlorotoluène-2	1602	2	µg/(kg MS)
Chlorotoluène-3	1601	2	µg/(kg MS)
Chlorotoluène-4	1600	2	µg/(kg MS)
Chloroxuron	1683	10 & 20	µg/(kg MS)
Chloroprophame	1474	4 & 8	µg/(kg MS)
Chlorpyriphos éthyl	1083	5 & 10 & 20	µg/(kg MS)
Chlorpyriphos méthyl	1540	5 & 10 & 20	µg/(kg MS)
Chlorthal diméthyl	2966	5 & 10 & 20	µg/(kg MS)
Chlortoluron	1136	20 & 40	µg/(kg MS)
Chlorure de Benzyle	1579	100	µg/(kg MS)
Chlorure de vinyle	1753	10	µg/(kg MS)
Chrome	1389	0.2	mg/(kg MS)
Chrysène	1476	10 & 20	µg/(kg MS)
Cinidon-éthyl	2938	50 & 100	µg/(kg MS)
Clofinafop-propargyl	2095	5 & 10 & 20	µg/(kg MS)
Clofentézine	1868	10 & 20	µg/(kg MS)
Clomazone	2017	4 & 8	µg/(kg MS)
Clotrimazole	5360	10 & 20	µg/(kg MS)
Cobalt	1379	0.1	mg/(kg MS)
Coumaphos	1682	5 & 10 & 20	µg/(kg MS)
Crésol-méta	1639	20 & 40	µg/(kg MS)
Crésol-ortho	1640	20 & 40	µg/(kg MS)
Crésol-para	1638	20 & 40	µg/(kg MS)
Cuivre	1392	0.2	mg/(kg MS)
Cyanazine	1137	10 & 20	µg/(kg MS)
Cyazofamid	5567	10 & 20	µg/(kg MS)
Cyclohexane	1583	2	µg/(kg MS)
Cycluron	1696	5 & 10 & 20	µg/(kg MS)
Cyfluthrine	1681	10 & 20	µg/(kg MS)
Cyperméthrine	1140	4 & 8	µg/(kg MS)
Cyproconazole	1680	10 & 20	µg/(kg MS)
Cyprodinil	1359	2 & 4	µg/(kg MS)
PMU (métabolite du Diuron)	1929	10 & 20	µg/(kg MS)
DCPU (métabolite Diuron)	1930	10 & 20	µg/(kg MS)
DDD-o,p'	1143	5 & 10 & 20	µg/(kg MS)
DDD-p,p'	1144	5 & 10 & 20	µg/(kg MS)
DDE-o,p'	1145	5 & 10 & 20	µg/(kg MS)
DDE-p,p'	1146	5 & 10 & 20	µg/(kg MS)
DDT-o,p'	1147	5 & 10	µg/(kg MS)
DDT-p,p'	1148	5 & 10 & 20	µg/(kg MS)
Décane (C10)	2665	2	µg/(kg MS)
DÉHP	6616	50 & 100	µg/(kg MS)
Deltaméthrine	1149	2 & 4	µg/(kg MS)
Déméton S méthyl	1153	50 & 100	µg/(kg MS)
Déméton S méthyl sulfone	1154	10 & 20	µg/(kg MS)
Déméton-O	1150	16 & 32	µg/(kg MS)
Déméton-S	1152	20 & 40	µg/(kg MS)
Desmediphame	2980	10 & 20	µg/(kg MS)
Desméthylisoproturon	2738	10 & 20	µg/(kg MS)
Desmétryne	1155	5 & 10 & 20	µg/(kg MS)
Diallate	1156	5 & 10 & 20	µg/(kg MS)
Diazinon	1157	5 & 10 & 20	µg/(kg MS)
Dibenzo (ah) Anthracène	1621	10 & 20	µg/(kg MS)
Dibenzo(a,c)anthracene	7105	10 & 20	µg/(kg MS)
Dibenzofuran	2763	5 & 10 & 20	µg/(kg MS)
Dibromochlorométhane	1158	10	µg/(kg MS)
Dibromoéthane-1,2	1498	10	µg/(kg MS)
Dibromométhane	1513	10	µg/(kg MS)
Dibutylétain cation	7074	6	µg/(kg MS)
Dichlobénil	1679	5 & 10 & 20	µg/(kg MS)
Dichlofenthion	1159	5 & 10 & 20	µg/(kg MS)
Dichloréthane-1,1	1160	2	µg/(kg MS)
Dichloréthane-1,2	1161	10	µg/(kg MS)
Dichloréthylène-1,1	1162	2	µg/(kg MS)
Dichloréthylène-1,2 cis	1456	2	µg/(kg MS)
Dichloréthylène-1,2 trans	1727	2	µg/(kg MS)
Dichloroaniline-2,3	1590	20 & 40	µg/(kg MS)
Dichloroaniline-2,4	1589	50 & 100	µg/(kg MS)
Dichloroaniline-2,5	1588	50 & 100	µg/(kg MS)
Dichloroaniline-2,6	1587	20 & 40	µg/(kg MS)
Dichloroaniline-3,4	1586	20 & 40	µg/(kg MS)
Dichloroaniline-3,5	1585	20 & 40	µg/(kg MS)
Dichlorobenzène-1,2	1165	2	µg/(kg MS)
Dichlorobenzène-1,3	1164	2	µg/(kg MS)
Dichlorobenzène-1,4	1166	2	µg/(kg MS)
Dichlorobromométhane	1167	2	µg/(kg MS)
Dichlorométhane	1168	10	µg/(kg MS)
Dichloronitrobenzène-2,3	1617	5 & 10 & 20	µg/(kg MS)
Dichloronitrobenzène-2,4	1616	5 & 10 & 20	µg/(kg MS)
Dichloronitrobenzène-2,5	1615	5 & 10 & 20	µg/(kg MS)
Dichloronitrobenzène-3,4	1614	5 & 10 & 20	µg/(kg MS)
Dichloronitrobenzène-3,5	1613	5 & 10 & 20	µg/(kg MS)
Dichlorophénol-2,4	1486	20 & 40	µg/(kg MS)

PCB 28	1239	1 & 2	µg/(kg MS)
		2	
PCB 31	1886	1 & 2	µg/(kg MS)
		2	
PCB 35	1240	1 & 2	µg/(kg MS)
		2	
PCB 44	1628	1 & 2	µg/(kg MS)
PCB 50	8260	1 & 2	µg/(kg MS)
PCB 52	1241	1 & 2	µg/(kg MS)
PCB 77	1091	1 & 2	µg/(kg MS)
PCB 81	5432	1 & 2	µg/(kg MS)
Penconazole	1762	4 & 8	µg/(kg MS)
Pendiméthaline	1234	5 & 10 & 20	µg/(kg MS)
Pentabromodiphényl éther (congénère 119)	8259	1 & 2	µg/(kg MS)
Pentachloroaniline	5808	5 & 10 & 20	µg/(kg MS)
Pentachlorobenzène	1888	5 & 10 & 20	µg/(kg MS)
Pentachlorophénol	1235	50 & 100	µg/(kg MS)
Pentane (C5)	2686	10	µg/(kg MS)
Penthiopyrad	7509	20 & 40	µg/(kg MS)
Perméthrine	1523	5 & 10 & 20	µg/(kg MS)
Pérylène	1620	10 & 20	µg/(kg MS)
Phénamiphos	1499	10 & 20	µg/(kg MS)
Phénanthrène	1524	10 & 20	µg/(kg MS)
Phenmédiphame	1236	20 & 40	µg/(kg MS)
Phenthoate	5813	5 & 10 & 20	µg/(kg MS)
Phorate	1525	5 & 10 & 20	µg/(kg MS)
Phorate sulfone	7149	4	µg/(kg MS)
Phosalone	1237	5	µg/(kg MS)
Phosphamidon	1238	20	µg/(kg MS)
Phoxime	1665	20	µg/(kg MS)
Phtalate de diméthyle	1489	50 & 100	µg/(kg MS)
Phtalimide	7587	25 & 50	µg/(kg MS)
Picoxystrobine	2669	5 & 10 & 20	µg/(kg MS)
Piperonil butoxide	1709	1 & 2	µg/(kg MS)
Pirimicarbe	1528	5 & 10 & 20	µg/(kg MS)
Plomb	1382	0.1	mg/(kg MS)
Pretilachlore	1949	5 & 10 & 20	µg/(kg MS)
Prochlorazone	1253	5 & 10 & 20	µg/(kg MS)
Procymidone	1664	5 & 10 & 20	µg/(kg MS)
Profénofos	1889	5 & 10 & 20	µg/(kg MS)
Promécarbe	1710	10 & 20	µg/(kg MS)
Prométon	1711	5 & 10 & 20	µg/(kg MS)
Prométryne	1254	4 & 8	µg/(kg MS)
Propachlore	1712	4 & 8	µg/(kg MS)
Propanil	1532	4 & 8	µg/(kg MS)
Propaquizafop	1972	100	µg/(kg MS)
Propargite	1255	10 & 20	µg/(kg MS)
Propazine	1256	10 & 20	µg/(kg MS)
Propétamphos	1533	5 & 10 & 20	µg/(kg MS)
Propame	1534	15 & 30	µg/(kg MS)
Propiconazole	1257	5 & 10	µg/(kg MS)
Propoxur	1535	5 & 10 & 20	µg/(kg MS)
Propylbenzène	1837	2	µg/(kg MS)
Proquinazid	7422	10 & 20	µg/(kg MS)
Prosulfocarbe	1092	10 & 20	µg/(kg MS)
Prothiofos	5824	32 & 64	µg/(kg MS)
Pyraclostrobine	2576	10 & 20	µg/(kg MS)
Pyraflufen-éthyl	5509	10 & 20	µg/(kg MS)
Pyrazophos	1258	4 & 8	µg/(kg MS)
Pyrène	1537	10 & 20	µg/(kg MS)
Pyridabène	1890	10 & 20	µg/(kg MS)
Pyridate	1259	20 & 40	µg/(kg MS)
Pyrifénol	1663	20 & 40	µg/(kg MS)
Pyriméthanol	1432	10 & 20	µg/(kg MS)
Pyrimiphos éthyl	1260	5 & 10 & 20	µg/(kg MS)
Pyrimiphos méthyl	1261	5 & 10 & 20	µg/(kg MS)
Pyriproxyfène	5499	5 & 10 & 20	µg/(kg MS)
Quinalphos	1891	5 & 10 & 20	µg/(kg MS)
Quinoxifène	2028	5 & 10 & 20	µg/(kg MS)
Quintozène	1538	5 & 10 & 20	µg/(kg MS)
Quizalofop éthyl	2070	5 & 10 & 20	µg/(kg MS)
Resmethrine	2859	5 & 10 & 20	µg/(kg MS)
Roténone	2029	20 & 40	µg/(kg MS)
Sébuthylazine	1923	10 & 20	µg/(kg MS)
Secbumeton	1262	5 & 10 & 20	µg/(kg MS)
Sélénium	1385	0.2	mg/(kg MS)
Siduron	1893	10 & 20	µg/(kg MS)
Silthiopham	5609	5 & 10 & 20	µg/(kg MS)
Simazine	1263	10 & 20	µg/(kg MS)
Simétryne	5477	50 & 100	µg/(kg MS)
Styrène	1541	2	µg/(kg MS)
Sulfonate de perfluorooctane (PFOS anion)	6561	5	µg/(kg MS)
Sulfotep	1894	5 & 10 & 20	µg/(kg MS)
Taufluvalinate	1193	5 & 10 & 20	µg/(kg MS)
Tébuconazole	1694	10 & 20	µg/(kg MS)
Tébufénozide	1895	5 & 10	µg/(kg MS)
Tébufenpyrad	1896	4 & 8	µg/(kg MS)

Dichloropropane-1,2	1655	10	µg/(kg MS)
Dichloropropane-1,3	1654	2	µg/(kg MS)
Dichloropropane-2,2	2081	2	µg/(kg MS)
Dichloropropène-1,1	2082	2	µg/(kg MS)
Dichloropropylène-1,3 Cis	1834	10	µg/(kg MS)
Dichloropropylène-1,3 Trans	1835	10	µg/(kg MS)
Dichloropropylène-2,3	1653	10	µg/(kg MS)
Diclofop méthyl	1171	5 & 10	µg/(kg MS)
Dicofol	1172	5 & 10 & 20	µg/(kg MS)
Dieldrine	1173	5 & 10 & 20	µg/(kg MS)
Diéthofencarbe	1402	10 & 20	µg/(kg MS)
Diéthyl phtalate	1527	50 & 100	µg/(kg MS)
Diethylcetone	2637	1000	µg/(kg MS)
Difénoconazole	1905	50 & 100	µg/(kg MS)
Diflubenzuron	1488	10 & 20	µg/(kg MS)
Diflufénicanil	1814	2 & 4	µg/(kg MS)
Diisobutyl phthalate	5325	50 & 100	µg/(kg MS)
Diisodecyl phthalate	6658	1000 & 2000	µg/(kg MS)
Diisononyl phthalate	6215	1000 & 1000	µg/(kg MS)
Diméfuron	1870	5 & 10 & 20	µg/(kg MS)
Dimétachlore	2546	4 & 8	µg/(kg MS)
Diméthénamide	1678	4 & 8	µg/(kg MS)
Diméthoate	1175	50 & 100	µg/(kg MS)
Diméthomorphe	1403	10 & 20	µg/(kg MS)
Diméthylphénol-2,4	1641	20 & 40	µg/(kg MS)
Dimétylan	1698	20 & 40	µg/(kg MS)
dimoxystrobine	5748	10 & 20	µg/(kg MS)
Diniconazole	1871	10 & 20	µg/(kg MS)
Dinitrotoluène-2,4	1578	5 & 10 & 20	µg/(kg MS)
Dinitrotoluène-2,6	1577	5 & 10 & 20	µg/(kg MS)
Diocetylétain cation	7494	6	µg/(kg MS)
Dioxane-1,4	1580	1000	µg/(kg MS)
Diphenylamine	5478	5 & 10 & 20	µg/(kg MS)
Diphenylétain cation	7495	10	µg/(kg MS)
Diuron	1177	20 & 40	µg/(kg MS)
Dodécane (C12)	1554	10	µg/(kg MS)
Durene	2688	2	µg/(kg MS)
Endosulfan alpha	1178	5 & 10 & 20	µg/(kg MS)
Endosulfan beta	1179	5 & 10 & 20	µg/(kg MS)
Endosulfan sulfate	1742	5 & 10 & 20	µg/(kg MS)
Endrine	1181	10 & 20	µg/(kg MS)
Epoxiconazole	1744	10 & 20	µg/(kg MS)
EPTC	1182	5 & 10 & 20	µg/(kg MS)
Esfenvalérate	1809	20 & 40	µg/(kg MS)
Etain	1380	0.2	mg/(kg MS)
Ethanol	1745	1000	µg/(kg MS)
Ethidimuron	1763	20 & 40	µg/(kg MS)
Ethion	1183	5 & 10 & 20	µg/(kg MS)
Ethofumésate	1184	5 & 10 & 20	µg/(kg MS)
Ethoprophos	1495	4 & 8	µg/(kg MS)
Ethyl tert-butyl ether	2673	2	µg/(kg MS)
Ethylbenzène	1497	2	µg/(kg MS)
Ethyl-butyl-cetone	2635	1000	µg/(kg MS)
Etrifos	5760	5 & 10 & 20	µg/(kg MS)
Famoxadone	2020	20 & 40	µg/(kg MS)
Fénamidone	2057	10 & 20	µg/(kg MS)
Fénarimol	1185	20 & 40	µg/(kg MS)
Fénazaquin	2742	4 & 8	µg/(kg MS)
Fenbuconazole	1906	10 & 20	µg/(kg MS)
Fenchlorphos	1186	5 & 10 & 20	µg/(kg MS)
Fenfurame	1843	20 & 40	µg/(kg MS)
Fénitrothion	1187	5 & 10 & 20	µg/(kg MS)
Fenothrine	2061	16 & 32	µg/(kg MS)
Fénoxprop éthyl	1973	5 & 10 & 20	µg/(kg MS)
Fénoxycarbe	1967	20 & 40	µg/(kg MS)
Fenpropathrine	1188	5 & 10 & 20	µg/(kg MS)
Fenpyroximate	5630	10 & 20	µg/(kg MS)
Fenthion	1190	5 & 10 & 20	µg/(kg MS)
Fénuron	1500	10 & 20	µg/(kg MS)
Fer	1393	5	mg/(kg MS)
Fipronil	2009	20 & 40	µg/(kg MS)
Flamprop-isopropyl	1840	5 & 10 & 20	µg/(kg MS)
Fluzifop-P-butyl	1404	5 & 10 & 20	µg/(kg MS)

Tébutame	1661	4 & 8	µg/(kg MS)
Tecnazène	5413	5 & 10 & 20	µg/(kg MS)
Téflubenzuron	1897	10 & 20	µg/(kg MS)
Tellure	2559	0.2	mg/(kg MS)
Téméphos	1898	10 & 20	µg/(kg MS)
Terbacile	1659	4 & 8	µg/(kg MS)
Terbuméton	1266	5 & 10	µg/(kg MS)
Terbuphos	1267	5 & 10 & 20	µg/(kg MS)
Terbutylazine	1268	5 & 10	µg/(kg MS)
Terbutryne	1269	4 & 8	µg/(kg MS)
tert-Butyl alcool	2583	1000	µg/(kg MS)
Tetrabutylétain	1936	4	µg/(kg MS)
Tétrachloréthane-1,1,1,2	1270	10	µg/(kg MS)
Tétrachloréthane-1,1,1,2,2	1271	10	µg/(kg MS)
Tétrachloréthylène	1272	2	µg/(kg MS)
Tétrachlorobenzène-1,2,3,4	2010	1 & 2	µg/(kg MS)
Tétrachlorobenzène-1,2,3,5	2536	1 & 2	µg/(kg MS)
Tétrachlorobenzène-1,2,4,5	1631	5 & 10 & 20	µg/(kg MS)
Tétrachloropropane-1,1,1,2	2704	2	µg/(kg MS)
Tétrachloropropane-1,1,1,3	2705	10	µg/(kg MS)
Tétrachlorure de C	1276	2	µg/(kg MS)
Tétrachlorvinphos	1277	5 & 10 & 20	µg/(kg MS)
Tétraconazole	1660	5 & 10 & 20	µg/(kg MS)
Tétradifon	1900	5 & 10 & 20	µg/(kg MS)
Tétrahydrofurane	1582	1000	µg/(kg MS)
Tetramethrin	5921	5 & 10 & 20	µg/(kg MS)
Tétraphénylétain	5249	6	µg/(kg MS)
Tetrasul	5837	5 & 10 & 20	µg/(kg MS)
Thallium	2555	0.1	mg/(kg MS)
Thiaflumamide	1940	5 & 10 & 20	µg/(kg MS)
Thiazasulfuron	1714	10 & 20	µg/(kg MS)
Thiométon	2071	20 & 40	µg/(kg MS)
Titane	1373	1	mg/(kg MS)
Toluène	1278	2	µg/(kg MS)
Tralométhrine	1658	4 & 8	µg/(kg MS)
trans-Nonachlor	7097	5 & 10 & 20	µg/(kg MS)
Triadiméfon	1544	5 & 10 & 20	µg/(kg MS)
Triallate	1281	5 & 10 & 20	µg/(kg MS)
Tributylétain cation	2879	1 & 25	µg/(kg MS)
Tributylphosphate	1847	4 & 8	µg/(kg MS)
Trichloréthane-1,1,1	1284	2	µg/(kg MS)
Trichloréthane-1,1,2	1285	10	µg/(kg MS)
Trichloréthylène	1286	2	µg/(kg MS)
Trichloroaniline-2,4,5	2732	50 & 100	µg/(kg MS)
Trichloroaniline-2,4,6	1595	50 & 100	µg/(kg MS)
Trichlorobenzène-1,2,3	1630	2	µg/(kg MS)
Trichlorobenzène-1,2,4	1283	2	µg/(kg MS)
Trichlorobenzène-1,3,5	1629	2	µg/(kg MS)
Trichlorofluorométhane	1195	1	µg/(kg MS)
Trichloropropane-1,2,3	1854	10	µg/(kg MS)
Trichlorotrifluoroéthane	6506	2	µg/(kg MS)
Triclocarban	6989	10 & 20	µg/(kg MS)
Triclosan	5430	5 & 10 & 20	µg/(kg MS)
Tricyclohexylétain cation	2885	6	µg/(kg MS)
Trifloxystrobine	2678	5 & 10 & 20	µg/(kg MS)
Triflumizole	5843	50 & 100	µg/(kg MS)
Triflururon	1902	10 & 20	µg/(kg MS)
Trifluraline	1289	5 & 10 & 20	µg/(kg MS)
Triméthylbenzène-1,2,3	1857	2	µg/(kg MS)
Triméthylbenzène-1,2,4	1609	2	µg/(kg MS)
Triméthylbenzène-1,3,5	1509	2	µg/(kg MS)
Triocetylétain cation	2886	6	µg/(kg MS)
Triphenylène	7124	10 & 20	µg/(kg MS)
Triphenylétain cation	6372	6	µg/(kg MS)
Undecane (C11)	2690	10	µg/(kg MS)
Uranium	1361	0.2	mg/(kg MS)
Vanadium	1384	0.2	mg/(kg MS)
Vinclozoline	1291	5 & 10 & 20	µg/(kg MS)
Xylène-meta	1293	2	µg/(kg MS)
Xylène-ortho	1292	2	µg/(kg MS)
Xylène-para	1294	2	µg/(kg MS)
Zinc	1383	0.4	mg/(kg MS)
Zoxamide	2858	5 & 10 & 20	µg/(kg MS)

III. Comptes rendus des campagnes physico-chimiques et phytoplanctoniques

Relevé phytoplanctonique et physico-chimique en plan d'eau

DONNEES GENERALES PLAN D'EAU

Plan d'eau : **Pierre-Châtel** Date : 29/03/2022
 Types (naturel, artificiel ...) : Naturel Code lac : W2405023
 Organisme / opérateur : STE : Lionel Bochu & Cédric Guillet/Marthe Moiron **Campagne : 1**
 Organisme demandeur : Agence de l'Eau RMC Marché n° : 200000016
 Page 1/6

LOCALISATION PLAN D'EAU

Commune : Pierre-Châtel (38) Type : N3
 Lac marnant : non lacs naturels de moyenne montagne calcaire, peu profonds
 Temps de séjour : > 30 jours
 Superficie du plan d'eau : 97 ha
 Profondeur maximale : 10,5 m

Carte (extrait SCAN 25 IGN 1/25 000)



Photo du site :



Relevé phytoplanctonique et physico-chimique en plan d'eau

DONNEES GENERALES PLAN D'EAU

Plan d'eau : **Pierre-Châtel** Date : 29/03/22
 Types (naturel, artificiel ...) : Naturel Code lac : W2405023
 Organisme / opérateur : STE : Lionel Bochu & Cédric Guillet/Marthe Moiron **Campagne : 1**
 Organisme demandeur : Agence de l'Eau RMC Marché n° : 200000016
 Page 2/6

STATION

Coordonnée de la station : Système de Géolocalisation Portable Carte IGN
 Lambert 93 : X : Y : alt. :
 WGS 84 (syst.international GPS ° ' ") : E N

Profondeur :

Météo : 1- temps sec ensoleillé 2- faiblement nuageux 3- temps humide
 4- pluie fine 5- orage-pluie forte 6- neige
 7- gel 8- fortement nuageux

P atm. :

Vent : 0- nul 1- faible 2- moyen 3- fort

Conditions d'observation :
 Surface de l'eau : 1- lisse 2- faiblement agitée 3- agitée 4- très agitée

Hauteur de vagues :

Bloom algal :

Marnage : Hauteur de bande : Cote échelle :

Campagne	1	campagne de fin d'hiver : homothermie du plan d'eau avant démarrage de l'activité biologique
----------	---	--

REMARQUES ET OBSERVATIONS

Contact

Propriétaire du lac M De Marliave

Observations :

Début du réchauffement de la colonne d'eau sur les 3 premiers mètres

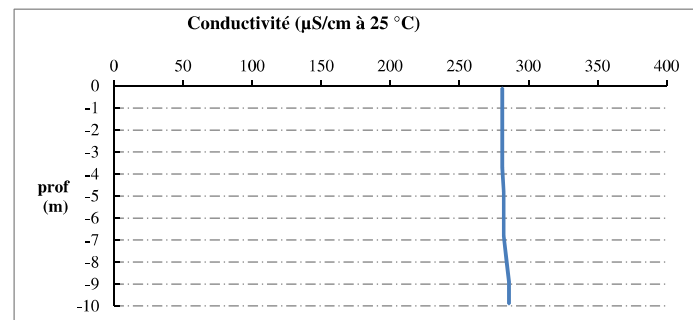
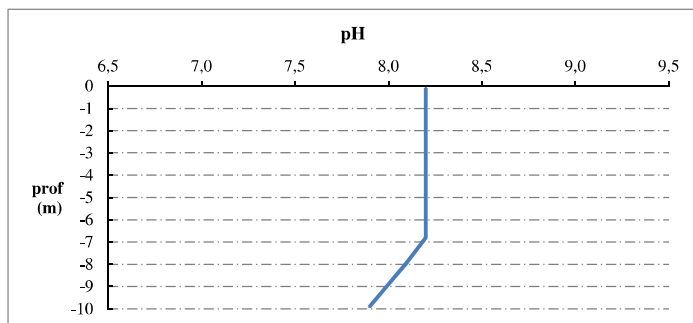
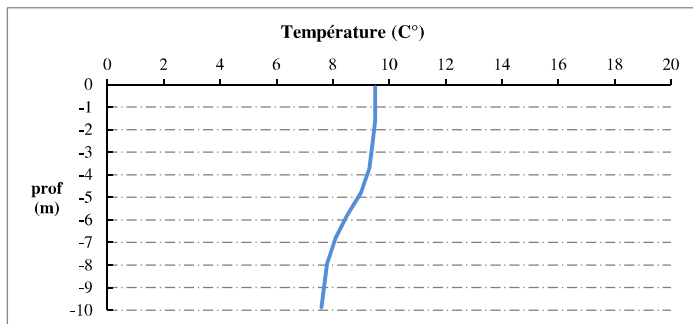
Remarques :

Pic de chlorophylle a de 4 à 5 µg/l entre 6 et 9 mètres de profondeur.
 Désoxygénation partielle au fond du plan d'eau

Relevé phytoplanctonique et physico-chimique en plan d'eau

DONNEES PHYSICO-CHIMIQUES / GRAPHIQUE

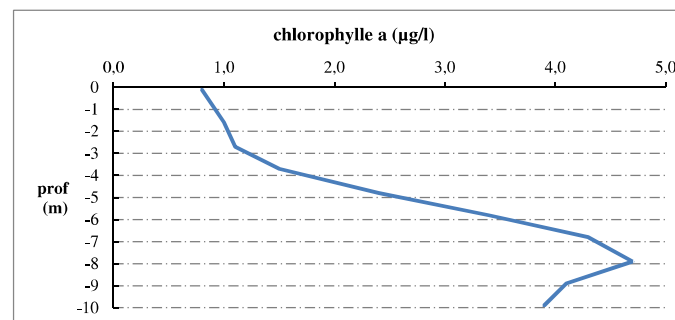
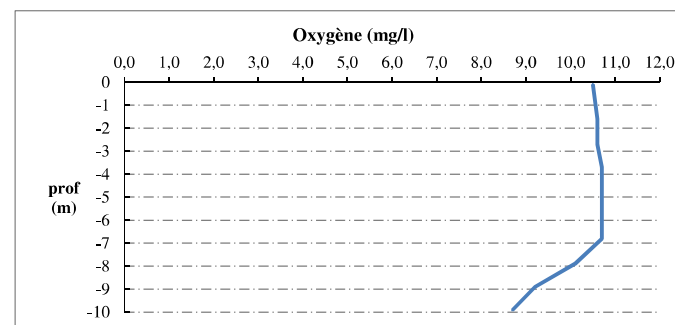
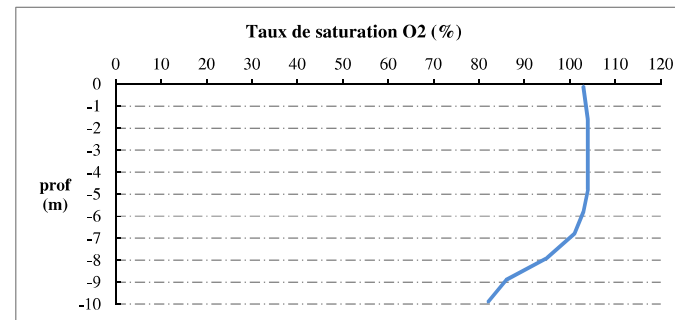
Plan d'eau : **Pierre-Châtel** Date : 29/03/22
 Types (naturel, artificiel ...) : Naturel Code lac : W2405023
 Organisme / opérateur : STE : Lionel Bochu & Cédric Guillet/Marthe Moiron **Campagne : 1**
 Organisme demandeur : Agence de l'Eau RMC **Marché n° : 200000016**
 Page 5/6



Relevé phytoplanctonique et physico-chimique en plan d'eau

DONNEES PHYSICO-CHIMIQUES / GRAPHIQUE

Plan d'eau : **Pierre-Châtel** Date : 29/03/22
 Types (naturel, artificiel ...) : Naturel Code lac : W2405023
 Organisme / opérateur : STE : Lionel Bochu & Cédric Guillet/Marthe Moiron **Campagne : 1**
 Organisme demandeur : Agence de l'Eau RMC **Marché n° : 200000016**
 Page 6/6



Relevé phytoplanctonique et physico-chimique en plan d'eau

DONNEES GENERALES PLAN D'EAU

Plan d'eau : **Pierre-Châtel** Date : 07/06/2022
 Types (naturel, artificiel ...) : Naturel Code lac : W2405023
 Organisme / opérateur : STE : Lionel Bochu & Mathias Clavières **Campagne : 2**
 Organisme demandeur : Agence de l'Eau RMC **Marché n° : 200000016**
 Page 1/6

LOCALISATION PLAN D'EAU

Commune : Pierre-Châtel (38) Type : N3
 Lac marnant : non lacs naturels de moyenne montagne calcaire, peu
 Temps de séjour : > 30 jours profonds
 Superficie du plan d'eau : 97 ha
 Profondeur maximale : 10,5 m
 Carte (extrait SCAN 25 IGN 1/25 000)



Angle de prise de vue



Relevé phytoplanctonique et physico-chimique en plan d'eau

DONNEES GENERALES PLAN D'EAU

Plan d'eau : **Pierre-Châtel** Date : 07/06/22
 Types (naturel, artificiel ...) : Naturel Code lac : W2405023
 Organisme / opérateur : STE : Lionel Bochu & Mathias Clavières **Campagne : 2**
 Organisme demandeur : Agence de l'Eau RMC **Marché n° : 200000016**
 Page 2/6

STATION

Coordonnée de la station : Système de Géolocalisation Portable Carte IGN
 Lambert 93 : X : 918814 Y : 6434299 alt. : 923 m
 WGS 84 (syst.international GPS ° ' ") : 5°46'33.95" E 44°58'23.8" N
 Profondeur : **10 m**
 Météo : 1- temps sec ensoleillé 2- faiblement nuageux 3- temps humide
 4- pluie fine 5- orage-pluie forte 6- neige
 7- gel 8- fortement nuageux
 P atm. : 911 hPa
 Vent : 0- nul 1- faible 2- moyen 3- fort
 Conditions d'observation :
 Surface de l'eau : 1- lisse 2- faiblement agitée 3- agitée 4- très agitée
 Hauteur de vagues : 0,1 m
 Bloom algal : **NON**
 Marnage : **NON** Hauteur de bande : **0 m** Côte échelle : nc

Campagne	2	campagne printanière de croissance du phytoplancton : mise en place de la thermocline
----------	---	---

REMARQUES ET OBSERVATIONS

Contact préalable :
 Propriétaire du lac M De Marliave

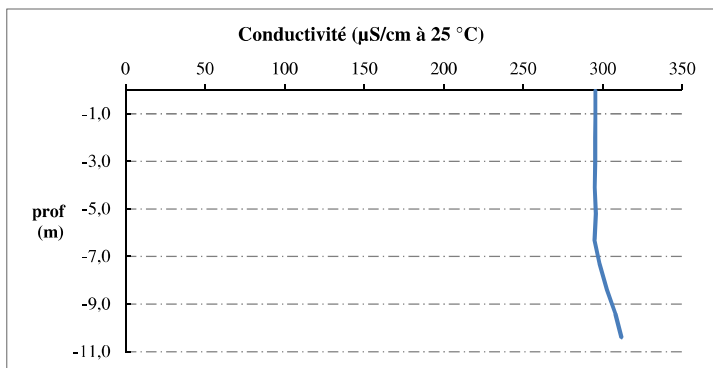
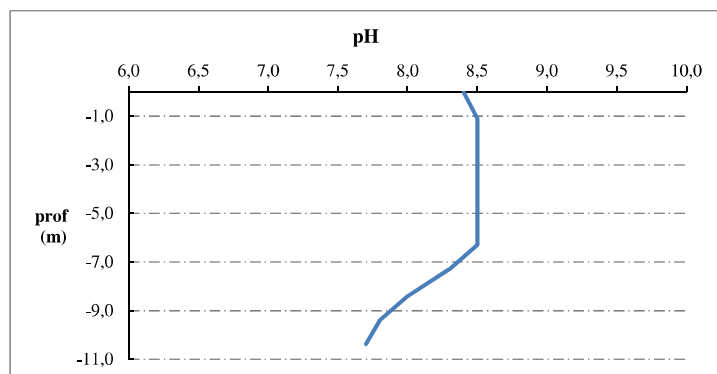
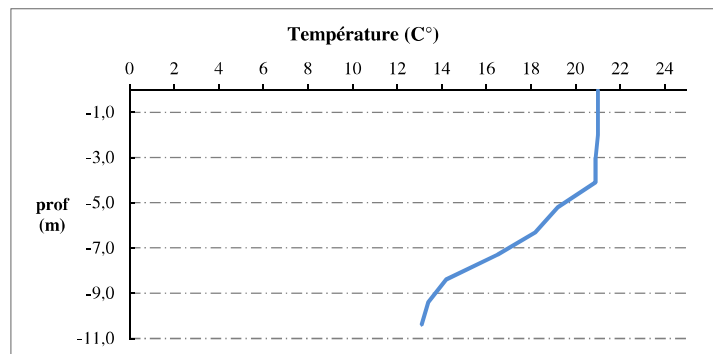
Observation :
 Réchauffement des eaux de surface (21°C)
 Saturation quasi-optimale jusqu'à 7 m de profondeur, puis désoxygénation partielle du fond de la masse d'eau
 Augmentation de la concentration en *chlorophylle a* avec la profondeur

Remarques :
 Les prélèvements pour les IML ont été réalisés le 27/04/2022

Relevé phytoplanctonique et physico-chimique en plan d'eau

DONNEES PHYSICO-CHIMIQUES / GRAPHIQUE

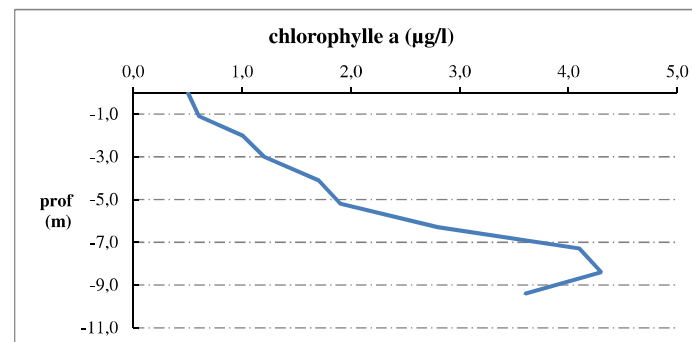
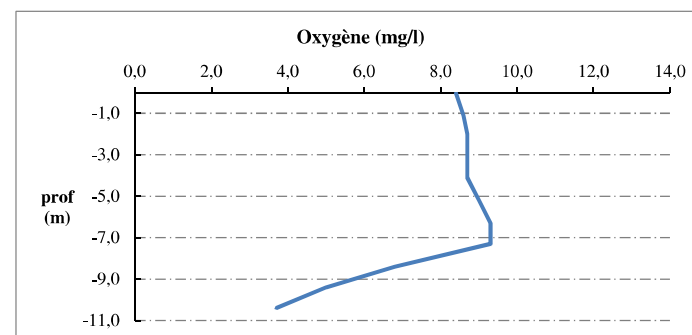
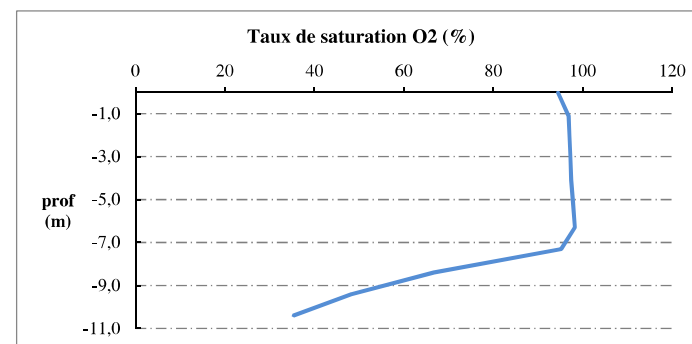
Plan d'eau : Pierre-Châtel Date : 07/06/22
 Types (naturel, artificiel ...) : Naturel Code lac : W2405023
 Organisme / opérateur : STE : Lionel Bochu & Mathias Clavières Campagne : 2
 Organisme demandeur : Agence de l'Eau RMC Marché n° : 200000016
 Page 5/6



Relevé phytoplanctonique et physico-chimique en plan d'eau

DONNEES PHYSICO-CHIMIQUES / GRAPHIQUE

Plan d'eau : Pierre-Châtel Date : 07/06/22
 Types (naturel, artificiel ...) : Naturel Code lac : W2405023
 Organisme / opérateur : STE : Lionel Bochu & Mathias Clavières Campagne : 2
 Organisme demandeur : Agence de l'Eau RMC Marché n° : 200000016
 Page 6/6



Relevé phytoplanctonique et physico-chimique en plan d'eau

DONNEES GENERALES PLAN D'EAU

Plan d'eau : **Pierre-Châtel** Date : 12/08/2022
 Types (naturel, artificiel ...) : Naturel Code lac : W2405023
 Organisme / opérateur : STE : Lionel Bochu & Mathias Clavières **Campagne : 3**
 Organisme demandeur : Agence de l'Eau RMC **Marché n° : 200000016**
 Page 1/6

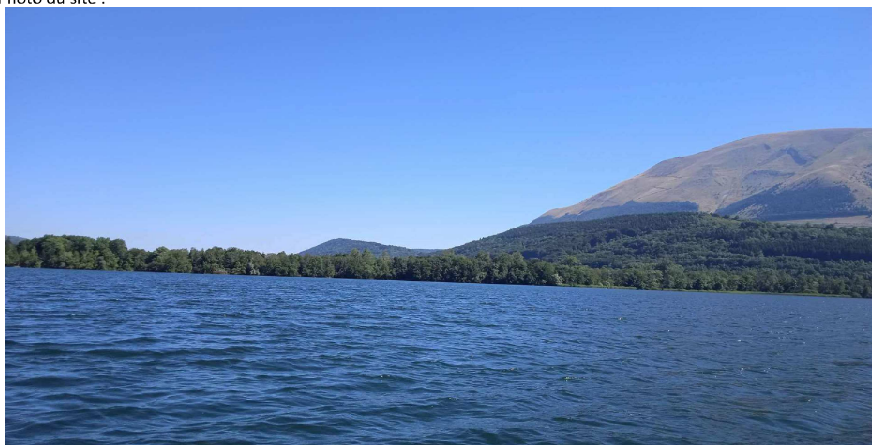
LOCALISATION PLAN D'EAU

Commune : Pierre-Châtel (38) Type : N3
 Lac marnant : non lacs naturels de moyenne montagne calcaire, peu
 Temps de séjour : > 30 jours profonds
 Superficie du plan d'eau : 97 ha
 Profondeur maximale : 10,5 m

Carte (extrait SCAN 25 IGN 1/25 000)



Photo du site :



Relevé phytoplanctonique et physico-chimique en plan d'eau

DONNEES GENERALES PLAN D'EAU

Plan d'eau : **Pierre-Châtel** Date : 12/08/22
 Types (naturel, artificiel ...) : Naturel Code lac : W2405023
 Organisme / opérateur : STE : Lionel Bochu & Mathias Clavières **Campagne : 3**
 Organisme demandeur : Agence de l'Eau RMC **Marché n° : 200000016**
 Page 2/6

STATION

Coordonnée de la station : Système de Géolocalisation Portable Carte IGN
 Lambert 93 : X : 918817 Y : 6434305 alt. : 923 m
 WGS 84 (syst.international GPS ° ' ") : 5°46'34.1" E 44°58'24.0" N

Profondeur : **10,1 m**

Météo : 1- temps sec ensoleillé 2- faiblement nuageux 3- temps humide
 4- pluie fine 5- orage-pluie forte 6- neige
 7- gel 8- fortement nuageux

P atm. : 908 hPa

Vent : 0- nul 1- faible 2- moyen 3- fort

Conditions d'observation :
 Surface de l'eau : 1- lisse 2- faiblement agitée 3- agitée 4- très agitée

Hauteur de vagues : 0,05 m

Bloom algal : **NON**

Marnage : **NON** Hauteur de bande : **0 m** Côte échelle : nd

Campagne	3	campagne estivale : thermocline bien installée, deuxième phase de croissance des phytoplancton
----------	---	--

REMARQUES ET OBSERVATIONS

Contact préalable :
 Propriétaire du lac M De Marliave

Observation :
 Réchauffement de la masse d'eau (23°C en surface, jusqu'à 7m de profondeur).
 Saturation quasi-optimale jusqu'à -5 m, puis désoxygénation complète du fond de la masse d'eau
 Pic de chlorophylle à 6 m de profondeur

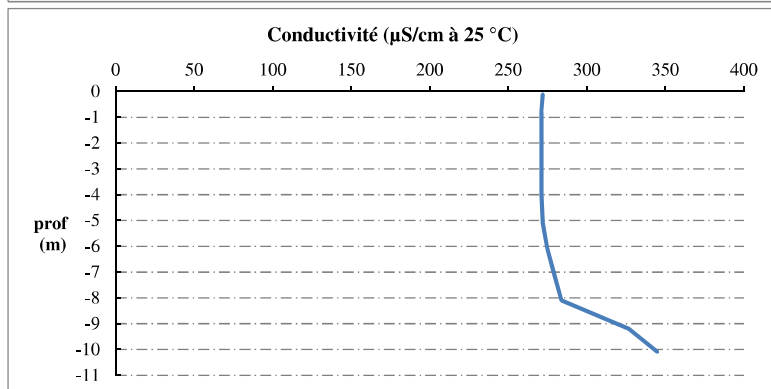
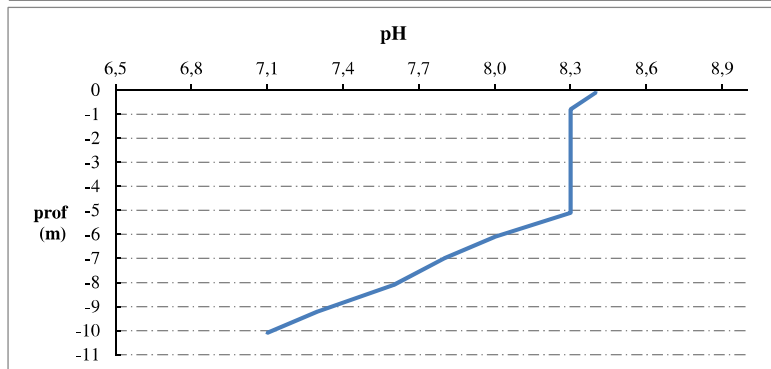
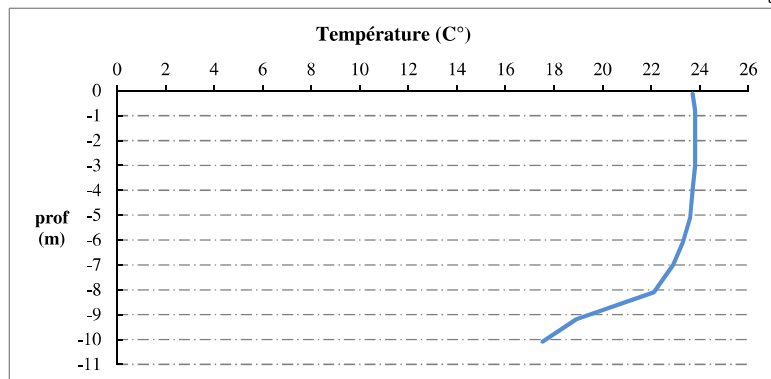
Remarques :

Relevé phytoplanctonique et physico-chimique en plan d'eau

DONNEES PHYSICO-CHIMIQUES / GRAPHIQUE

Plan d'eau : **Pierre-Châtel** Date : 12/08/22
 Types (naturel, artificiel ...) : Naturel Code lac : W2405023
 Organisme / opérateur : STE : Lionel Bochu & Mathias Clavières **Campagne : 3**
 Organisme demandeur : Agence de l'Eau RMC **Marché n° : 200000016**

Page 5/6

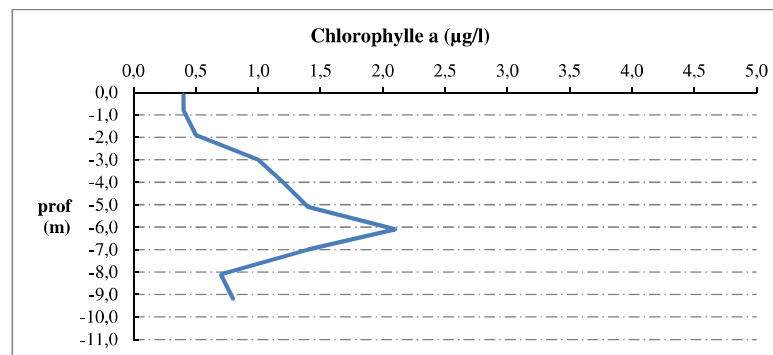
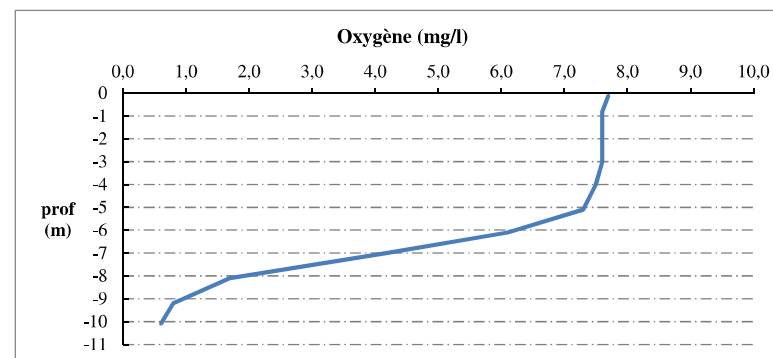
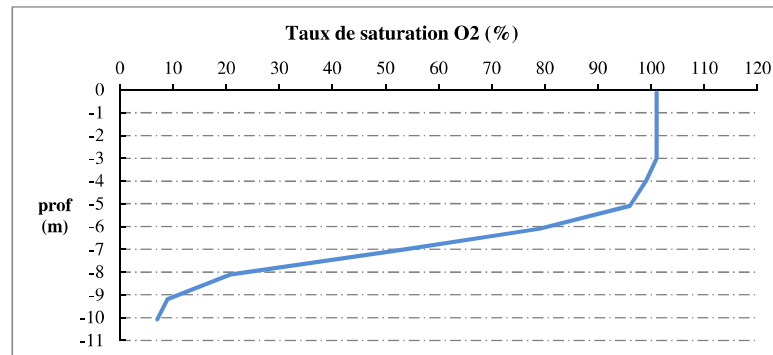


Relevé phytoplanctonique et physico-chimique en plan d'eau

DONNEES PHYSICO-CHIMIQUES / GRAPHIQUE

Plan d'eau : **Pierre-Châtel** Date : 12/08/22
 Types (naturel, artificiel ...) : Naturel Code lac : W2405023
 Organisme / opérateur : STE : Lionel Bochu & Mathias Clavières **Campagne : 3**
 Organisme demandeur : Agence de l'Eau RMC **Marché n° : 200000016**

Page 6/6



Relevé phytoplanctonique et physico-chimique en plan d'eau

DONNEES GENERALES PLAN D'EAU

Plan d'eau : **Pierre-Châtel** Date : 16/09/2022
 Types (naturel, artificiel ...) : Naturel Code lac : W2405023
 Organisme / opérateur : STE : Cédric Guillet & Mathias Clavières **Campagne : 4**
 Organisme demandeur : Agence de l'Eau RMC **Marché n° : 200000016**
 Page 1/7

LOCALISATION PLAN D'EAU

Commune : Pierre-Châtel (38) Type : N3
 Lac marnant : non lacs naturels de moyenne montagne calcaire, peu
 Temps de séjour : > 30 jours profonds
 Superficie du plan d'eau : 97 ha
 Profondeur maximale : 10,5 m

Carte (extrait SCAN 25 IGN 1/25 000)

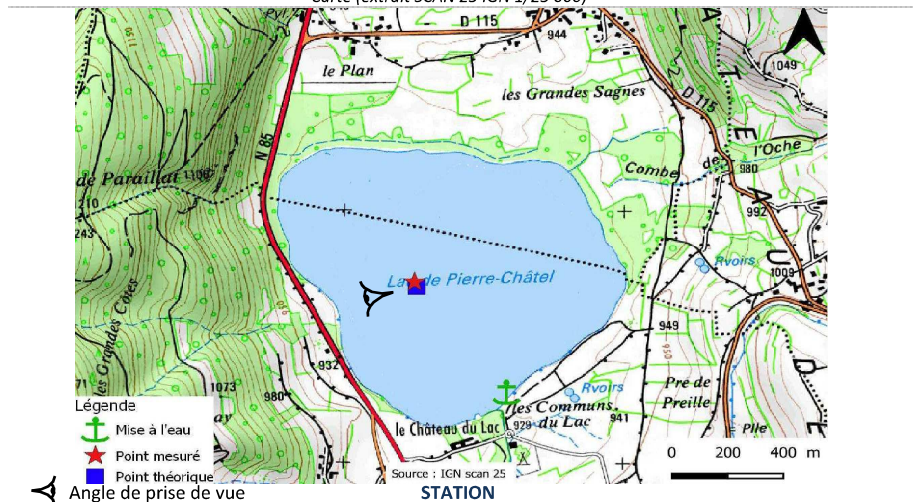


Photo du site :



Relevé phytoplanctonique et physico-chimique en plan d'eau

DONNEES GENERALES PLAN D'EAU

Plan d'eau : **Pierre-Châtel** Date : 16/09/22
 Types (naturel, artificiel ...) : Naturel Code lac : W2405023
 Organisme / opérateur : STE : Cédric Guillet & Mathias Clavières **Campagne : 4**
 Organisme demandeur : Agence de l'Eau RMC **Marché n° : 200000016**
 Page 2/7

STATION

Coordonnée de la station : Système de Géolocalisation Portable Carte IGN
 Lambert 93 : X : 918820 Y : 6434308 alt. : 923 m
 WGS 84 (syst.international GPS ° ' ") : 5°46'34.2" E 44°58'24.1" N

Profondeur : **10 m**
 Météo : 1- temps sec ensoleillé 2- faiblement nuageux 3- temps humide
 4- pluie fine 5- orage-pluie forte 6- neige
 7- gel 8- fortement nuageux
 P atm. : 949 hPa
 Vent : 0- nul 1- faible 2- moyen 3- fort
 Conditions d'observation :
 Surface de l'eau : 1- lisse 2- faiblement agitée 3- agitée 4- très agitée
 Hauteur de vagues : 0,1 m
 Bloom algal : **NON**
 Marnage : **NON** Hauteur de bande : **0 m** Côte échelle : nd

Campagne	4	campagne de fin d'été : fin de stratification avant baisse de la température
----------	---	--

REMARQUES ET OBSERVATIONS

Contact préalable :
 Propriétaire du lac M. De Marliave

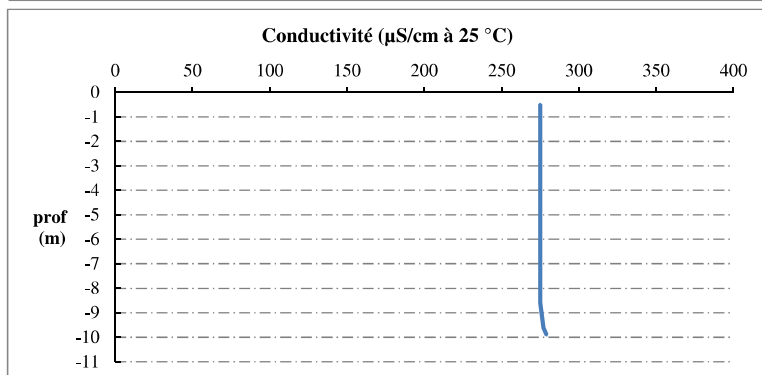
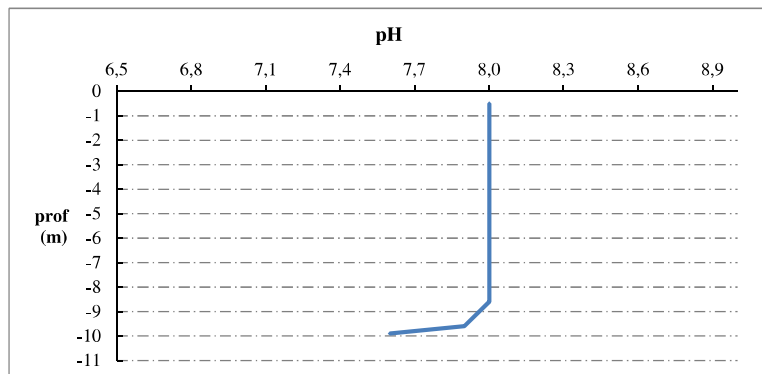
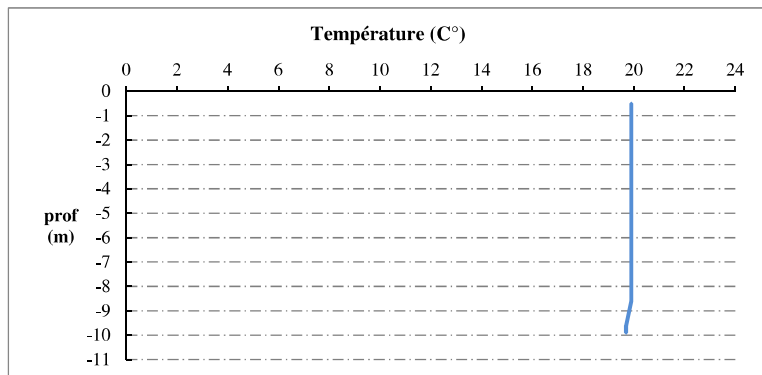
Observation :
 Température homogène sur toute la colonne d'eau
 Oxygénation homogène sur la colonne d'eau : ~82% sat

Remarques :
 Prélèvement de sédiments au point de plus grande profondeur

Relevé phytoplanctonique et physico-chimique en plan d'eau

DONNEES PHYSICO-CIMIQUES / GRAPHIQUE

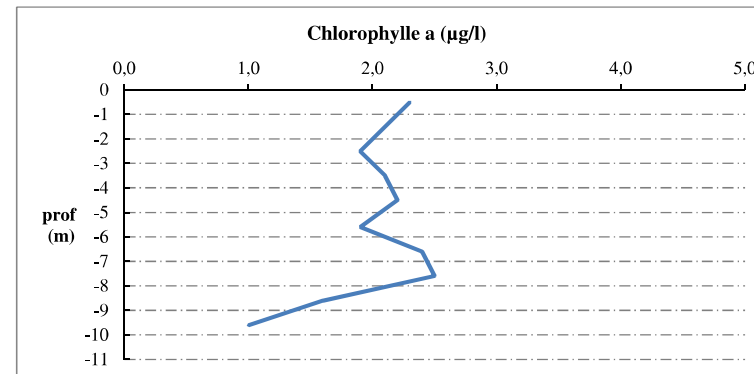
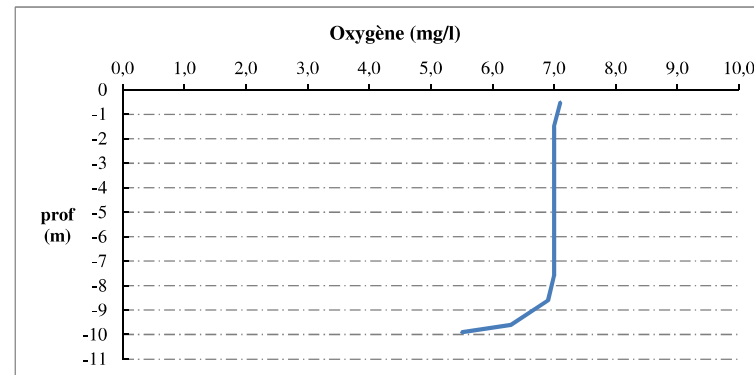
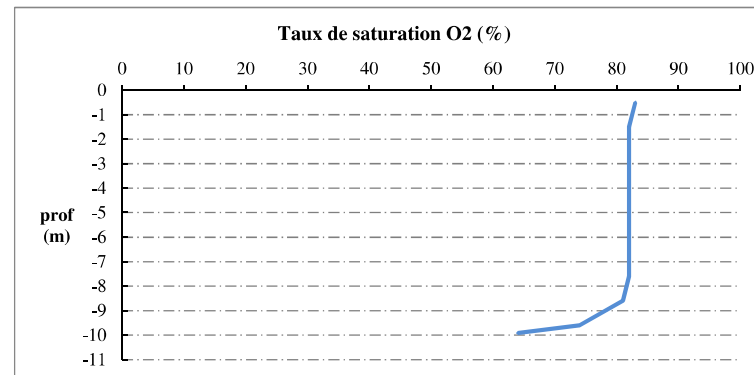
Plan d'eau : **Pierre-Châtel** Date : 16/09/22
 Types (naturel, artificiel ...) : Naturel Code lac : W2405023
 Organisme / opérateur : STE : Cédric Guillet & Mathias Clavières **Campagne : 4**
 Organisme demandeur : Agence de l'Eau RMC **Marché n° : 200000016**
 Page 5/7



Relevé phytoplanctonique et physico-chimique en plan d'eau

DONNEES PHYSICO-CIMIQUES / GRAPHIQUE

Plan d'eau : **Pierre-Châtel** Date : 16/09/22
 Types (naturel, artificiel ...) : Naturel Code lac : W2405023
 Organisme / opérateur : STE : Cédric Guillet & Mathias Clavières **Campagne : 4**
 Organisme demandeur : Agence de l'Eau RMC **Marché n° : 200000016**
 Page 6/7



Prélèvement de sédiments pour analyses physico-chimiques

Plan d'eau : **Pierre-Châtel** Date : 16/09/22
 Types (naturel, artificiel ...) : Naturel Code lac : W2405023
 Organisme / opérateur : STE : Cédric Guillet & Mathias Clavières Campagne : 4
 Organisme demandeur : Agence de l'Eau RMC Marché n° : 200000016
 Page 7/7

CONDITIONS DU MILIEU

Météo : 1- temps sec ensoleillé 4- pluie fine 7- gel
 2- faiblement nuageux 5- orage-pluie forte 8- fortement nuageux
 3- temps humide 6- neige

Vent : 0- nul 2- moyen 4- brise
 1- faible 3- fort 5- brise modéré

Surface de l'eau : 1- lisse 2- faiblement agitée 3- agitée 4- très agitée

Période estimée favorable à :

mort et sédimentation du plancton
 sédimentation de MES de toute nature



MATERIEL

benne Ekman pelle à main Autre :

PRELEVEMENTS

Localisation générale de la zone de prélèvement (X, Y Lambert 93)

(correspond au point de plus grande profondeur de C4)

X : 918820 Y : 6434308

Pélèvements	1	2	3	4	5
Profondeur (en m)	10	10	10		
Épaisseur échantillonnée					
récents (< 2cm)	X	X	X		
anciens (> 2cm)					
Granulométrie dominante					
graviers					
sables					
limons	X	X	X		
vases	X	X	X		
argile					
Aspect du sédiments					
homogène	X	X	X		
hétérogène					
couleur	Noir	Noir	Noir		
odeur	NON	NON	NON		
Présence de débris végétaux non décomposés	NON	NON	NON		
Présence d'hydrocarbures	NON	NON	NON		
Présence d'autres débris	NON	NON	NON		

REMISE DES ECHANTILLONS

Code prélèvement : Bon de transport : XV506549430EE

TNT Chrono LDA 26 Ville : Chambéry
 Dépôt : Date : 16/09/22 Heure : 13:00
 Réception au laboratoire le : 17/09/22

IV. Fiches relevés IBML

UNITE D'OBSERVATION MACROPHYTES		DESCRIPTION GENERALE	
Nom du plan d'eau :	Pierre Chatel	Code :	W2405023
Organisme :	osaïque Environnement / STI	Opérateur :	Mathilde REICH / Mathias
N°Unité d'observation :	1	Date (jj/mm/aaaa) :	21/07/2022
Heure début (hh:mm) :	14:30	Heure de fin (hh:mm) :	18:20
Coordonnées GPS du Point central de l'unité :		Lambert 93	
		x :	918797,079
		y :	6433788,901
Transparence mesurée au disque de Secchi (m) :	2,70	Niveaux des eaux (m) :	
Orientation / vents dominants :	sous le vent		
Typologie des rives au niveau de l'unité d'observation			
Noter la fréquence des éléments observés : 1, très rare, 2, rare, 3, présent, 4 abondant, 5, très abondant, "autre" : à préciser			
Numéro du type de rive dominant :		1	
Type 1 : "Zones humides caractéristiques"			
Tourbières			
Landes tourbeuses / humides			
Marais / Marécages			
Plan d'eau proche (<50m de la rive)			
Prairies inondées / humides			
Mégaphorbiaie / Végétation hélophyte en touradons			
Forêt hygrophile / Bois marécageux (aulnaie-saussaie)		5	
Autre**			
Type 2 : "Zones rivulaires colonisées par une végétation arbustive et arborescente non humide"			
Forêts feuillus et mixtes			
Forêts de conifères			
Arbustes et buissons			
Lande / Lande à Ericacées			
Autre**			
Type 3 : "Zones rivulaires non colonisées par une végétation arbustive et arborescente non humide"			
Friches			
Hautes herbes			
Rives rocheuses			
Plages / Sol nu			
Autre**			
Type 4 : "Zones artificialisées ou subissant des pressions anthropiques visibles"			
Ports			
Mouillages			
Jetées			
Urbanisation			
Entretien de la végétation rivulaire			
Zones déboisées			
Litière			
Décharge			
Remblais			
Murs			
Digues			
Revêtements artificiels			
Plages aménagées			
Zone de baignade			
Chemins et routes			
Ouvrages de génie civil			
Agriculture			
Autre**			
Pourcentage du linéaire total de rive représenté par ce type sur l'ensemble du plan d'eau :			
Type 1 (%) :	76	Type 3 (%) :	0
Type 2 (%) :	9	Type 4 (%) :	15
Largeur de la zone littorale "euphotique" :		a "importante"	
Commentaires / Précisions			

UNITE D'OBSERVATION MACROPHYTES		DESCRIPTION LOCALE	
Nom du plan d'eau :	Pierre Chatel	Code :	W2405023
Organisme :	osaique Environnement / ST	Opérateur :	Mathilde REICH / Mathias
N°Unité d'observation :	1	Date (jj/mm/aaaa) :	21/07/2022
Heure début (hh:mm) :	14:30	Heure de fin (hh:mm) :	18:20
Coordonnées GPS du Point central de l'unité :	Lambert 93		
	x :	918797,0794	
	y :	6433788,901	
Conditions d'observation			
Vent :	moyen		
Météo :	soleil		
Surface de l'eau :	faiblement agitée	Hauteur des vagues (m) :	0,30
Description de la rive			
Description de la zone riveraine (Cf. Fiche 1/1)			
Occupation du sol dominante :	Aulnaie		
Végétation dominante :	Arborée		
Description de la berge (Cf. Fiche 1/1)			
Description du talus :			
Hauteur (m) :	0,50		
Impacts humains visibles :	non		
Indices d'érosion :	oui		
Type de substrat dominant :	C		
Type de végétation dominante :	Herbacée		
Substrats : [V : Vase; T : Terre, argile, marne, tourbe ; S : Sables, graviers C : Cailloux, pierres, galets ; B : Blocs, dalles ; D : Débris organiques]			
Description de la plage			
Largeur (m) :	0,00		
Impacts humains visibles :	NA	Type de substrat dominant :	NA
Indices d'érosion :	NA	Type de végétation dominante :	NA
Description de la zone littorale			
Largeur explorée (m) :	10	Type de substrat dominant :	C
Longueur explorée(m) :	100	Impacts humains visibles :	non
Type de végétation aquatique dominante :	hydrophytes		
Commentaires / Précisions			

UNITE D'OBSERVATION MACROPHYTES		DESCRIPTION GENERALE	
Nom du plan d'eau :	Pierre Chatel	Code :	W2405023
Organisme :	osaïque Environnement / S	Opérateur :	Mathilde REICH / Mathias
N°Unité d'observation :	2	Date (jj/mm/aaaa) :	22/07/2022
Heure début (hh:mm) :	9:00	Heure de fin (hh:mm) :	13:07
Coordonnées GPS du Point central de l'unité :		Lambert 93	
	x :	919032,532	
	y :	6433792,295	
Transparence mesurée au disque de Secchi (m) :	4,00	Niveaux des eaux (m) :	
Orientation / vents dominants :	protégé		
Typologie des rives au niveau de l'unité d'observation			
Noter la fréquence des éléments observés : 1, très rare, 2, rare, 3, présent, 4 abondant, 5, très abondant, "autre" : à préciser			
Numéro du type de rive dominant :	4		
Type 1 : "Zones humides caractéristiques"			
Tourbières			
Landes tourbeuses / humides			
Marais / Marécages			
Plan d'eau proche (<50m de la rive)			
Prairies inondées / humides			
Mégaphorbiaie / Végétation héliophyte en touradons			
Forêt hygrophile / Bois marécageux (aulnaie-saussaie)		3	
Autre**			
Type 2 : "Zones rivulaires colonisées par une végétation arbustive et arborescente non humide"			
Forêts feuillus et mixtes			
Forêts de conifères			
Arbustes et buissons			
Lande / Lande à Ericacées			
Autre**			
Type 3 : "Zones rivulaires non colonisées par une végétation arbustive et arborescente non humide"			
Friches			
Hauts herbes			
Rives rocheuses			
Plages / Sol nu			
Autre**			
Type 4 : "Zones artificialisées ou subissant des pressions anthropiques visibles"			
Ports			
Mouillages			
Jetées			
Urbanisation			
Entretien de la végétation rivulaire			
Zones déboisées			
Litière			
Décharge			
Remblais			
Murs			
Digues			
Revêtements artificiels			
Plages aménagées			
Zone de baignade			
Chemins et routes			
Ouvrages de génie civil			
Agriculture			
Autre**	Parc/jardin : 5, Habitation : 1, Enrochement : 1		
Pourcentage du linéaire total de rive représenté par ce type sur l'ensemble du plan d'eau :			
Type 1 (%) :	76	Type 3 (%) :	0
Type 2 (%) :	9	Type 4 (%) :	15
Largeur de la zone littorale "euphotique" :	a "importante"		
Commentaires / Précisions			

UNITE D'OBSERVATION MACROPHYTES		DESCRIPTION LOCALE	
Nom du plan d'eau :	Pierre Chatel	Code :	W2405023
Organisme :	osaique Environnement / ST	Opérateur :	Mathilde REICH / Mathias
N°Unité d'observation :	2	Date (jj/mm/aaaa) :	22/07/2022
Heure début (hh:mm) :	9:00	Heure de fin (hh:mm) :	13:07
Coordonnées GPS du Point central de l'unité :	Lambert 93		
	x :	919032,5322	
	y :	6433792,295	
Conditions d'observation			
Vent :	nul		
Météo :	soleil		
Surface de l'eau :	lisse	Hauteur des vagues (m) :	
Description de la rive			
Description de la zone riveraine (Cf. Fiche 1/1)			
Occupation du sol dominante :	Pelouse parc		
Végétation dominante :	Herbacée		
Description de la berge (Cf. Fiche 1/1)			
Description du talus :			
Hauteur (m) :	0,80		
Impacts humains visibles :	oui		
Indices d'érosion :	non		
Type de substrat dominant :	B		
Type de végétation dominante :	Herbacée		
Substrats : [V : Vase; T : Terre, argile, marne, tourbe ; S : Sables, graviers C : Cailloux, pierres, galets ; B : Blocs, dalles ; D : Débris organiques]			
Description de la plage			
Largeur (m) :	0,00		
Impacts humains visibles :	NA	Type de substrat dominant :	NA
Indices d'érosion :	NA	Type de végétation dominante :	NA
Description de la zone littorale			
Largeur explorée (m) :	10	Type de substrat dominant :	S
Longueur explorée(m) :	100	Impacts humains visibles :	non
Type de végétation aquatique dominante :	hydrophytes		
Commentaires / Précisions			

UNITE D'OBSERVATION MACROPHYTES		DESCRIPTION GENERALE	
Nom du plan d'eau :	Pierre Chatel	Code :	W2405023
Organisme :	osaïque Environnement / STI	Opérateur :	Mathilde REICH / Mathias
N°Unité d'observation :	3	Date (jj/mm/aaaa) :	21/07/2022
Heure début (hh:mm) :	10:30	Heure de fin (hh:mm) :	14:00
Coordonnées GPS du Point central de l'unité :		Lambert 93	
		x :	919298,819
		y :	6434798,665
Transparence mesurée au disque de Secchi (m) :	2,60	Niveaux des eaux (m) :	
Orientation / vents dominants :	protégé		
Typologie des rives au niveau de l'unité d'observation			
Noter la fréquence des éléments observés : 1, très rare, 2, rare, 3, présent, 4 abondant, 5, très abondant, "autre" : à préciser			
Numéro du type de rive dominant :		1	
Type 1 : "Zones humides caractéristiques"			
Tourbières			
Landes tourbeuses / humides			
Marais / Marécages			
Plan d'eau proche (<50m de la rive)			
Prairies inondées / humides			
Mégaphorbiaie / Végétation hélophyte en touradons			
Forêt hygrophile / Bois marécageux (aulnaie-saussaie)		5	
Autre**			
Type 2 : "Zones rivulaires colonisées par une végétation arbustive et arborescente non humide"			
Forêts feuillus et mixtes			
Forêts de conifères			
Arbustes et buissons			
Lande / Lande à Ericacées			
Autre**			
Type 3 : "Zones rivulaires non colonisées par une végétation arbustive et arborescente non humide"			
Friches			
Hautes herbes			
Rives rocheuses			
Plages / Sol nu			
Autre**			
Type 4 : "Zones artificialisées ou subissant des pressions anthropiques visibles"			
Ports			
Mouillages			
Jetées			
Urbanisation			
Entretien de la végétation rivulaire			
Zones déboisées			
Litière			
Décharge			
Remblais			
Murs			
Digues			
Revêtements artificiels			
Plages aménagées			
Zone de baignade			
Chemins et routes			
Ouvrages de génie civil			
Agriculture			
Autre**			
Pourcentage du linéaire total de rive représenté par ce type sur l'ensemble du plan d'eau :			
Type 1 (%) :	76	Type 3 (%) :	0
Type 2 (%) :	9	Type 4 (%) :	15
Largeur de la zone littorale "euphotique" :		a "importante"	
Commentaires / Précisions			

UNITE D'OBSERVATION MACROPHYTES		DESCRIPTION LOCALE	
Nom du plan d'eau :	Pierre Chatel	Code :	W2405023
Organisme :	osaique Environnement / ST	Opérateur :	Mathilde REICH / Mathias
N°Unité d'observation :	3	Date (jj/mm/aaaa) :	21/07/2022
Heure début (hh:mm) :	10:30	Heure de fin (hh:mm) :	14:00
Coordonnées GPS du Point central de l'unité :	Lambert 93		
	x :	919298,8187	
	y :	6434798,665	
Conditions d'observation			
Vent :	nul		
Météo :	soleil		
Surface de l'eau :	lisse	Hauteur des vagues (m) :	
Description de la rive			
Description de la zone riveraine (Cf. Fiche 1/1)			
Occupation du sol dominante :	Aulnaie		
Végétation dominante :	Arborée		
Description de la berge (Cf. Fiche 1/1)			
Decription du talus :			
Hauteur (m) :	0,00		
Impacts humains visibles :	NA		
Indices d'érosion :	NA		
Type de substrat dominant :	NA		
Type de végétation dominante :	NA		
Substrats : [V : Vase; T : Terre, argile, marne, tourbe ; S : Sables, graviers C : Cailloux, pierres, galets ; B : Blocs, dalles ; D : Débris organiques]			
Description de la plage			
Largeur (m) :	0,00		
Impacts humains visibles :	NA	Type de substrat dominant :	NA
Indices d'érosion :	NA	Type de végétation dominante :	NA
Description de la zone littorale			
Largeur explorée (m) :	9	Type de substrat dominant :	V
Longueur explorée(m) :	100	Impacts humains visibles :	non
Type de végétation aquatique dominante :	hélrophytes		
Commentaires / Précisions			

* indiquer la superficie de (des) l'herbier(s), la profondeur, le type de substrat, la présence de fleurs, de fruits, etc. Substrat dominant : [V : vase; T : Terre, argile, marne, tourbe; R : Racines, branchages; S : Sables, graviers; C : Cailloux, pierres, galets; B : Blocs, dalles; D : Débris organiques]

TAXONS	Abondance	Observations complémentaires (*)
PHRAUS	5	
SCILAC	3	
CARELA	3	
SPISPX	4	
OEDSPX	1	
SCZSPX	2	
RUBCAE	1	
CARREM	1	
LYSVUL	1	
AGRSTO	1	
LYTSAL	1	

Phragmites australis
 Scirpus lacustris L.,
 Carex elata All., 178
 Spirogyra sp. Link
 Oedogonium Link ex
 Schizothrix Kützing e
 Rubus caesius L., 17
 Carex remota L., 175
 Lysimachia vulgaris
 Agrostis stolonifera L
 Lythrum salicaria L.,

UNITE D'OBSERVATION MACROPHYTES		RELEVÉ DE RIVE	
Nom du plan d'eau :	Pierre Chatel	Code :	W2405023
Organisme :	osaïque Environnement / ST	Opérateur :	Mathilde REICH / Mathias
N°Unité d'observation :	3	Date (jj/mm/aaaa) :	21/07/2022
Heure début (hh:mm) :	10:35	Heure de fin (hh:mm) :	11:15
Commentaires / Précisions			

V. Inventaires diatomiques

Fiches prélèvements

Diatomées en plan d'eau - Données soutenant la biologie - IRSTEA-AFB - v1.0 - oct. 2017	
*Donnée obligatoire pour le référencement de l'opération	
IDENTIFICATION DE L'OPERATION DE PRELEVEMENT	
Localisation	
Code opération	
Département	Isère
Code station*	W2405023
Libellé station	Pierre-Châtel (Lac de)
Nom du plan d'eau	Pierre-Châtel
Code point*	
Date*	31/08/2022
Intervenants	
Code producteur*	13000672900029
Nom producteur	
Code préleveur*	13000672900029
Nom préleveur	
Code déterminateur*	13000672900029
Nom déterminateur	
Coordonnées	
Coordonnées X (LB 93)*	918823
Coordonnées Y (LB 93)*	6433778
Unité d'observation	
UO hors protocole macrophytes	non
Numéro d'unité d'observation*	1
Numéro du type de rive dominant	Type 1 : "Zones humides caractéristiques"
PRELEVEMENT SUR SUBSTRAT DUR	
Numéro d'inventaire Omnidia associé	20220600000001
Type de substrat dur	Pierres, galets
Colmatage	Léger colmatage
Profondeur maximale de la zone d'échantillonnage	0.3
PRELEVEMENT SUR SUBSTRAT VEGETAL	
Numéro d'inventaire Omnidia associé	20220600000002
Type biologique végétal	Hélophytes
Nombre de tiges	10
Nom latin du taxon	<i>Phragmites australis</i>
Profondeur maximale de la zone d'échantillonnage	0.2
PHYSICO-CHIMIE DU PLAN D'EAU	
Température (°C)	20.7
O ₂ dissous (mg/L)	8.4
Conductivité (µS/cm)	279
Saturation en O ₂ (%)	103
pH	8.7
INFORMATIONS COMPLEMENTAIRES	
Impacts humains visibles	non
Distance à la rive (m)	2
Transparence disque de secchi (m)	2.8
Transparence déterminable au niveau de l'UO	oui
COMMENTAIRES	

Diatomées en plan d'eau - Données soutenant la biologie - IRSTEA-AFB - v1.0 - oct. 2017	
*Donnée obligatoire pour le référencement de l'opération	
IDENTIFICATION DE L'OPERATION DE PRELEVEMENT	
Localisation	
Code opération	
Département	Isère
Code station*	W2405023
Libellé station	Pierre-Châtel (Lac de)
Nom du plan d'eau	Pierre-Châtel
Code point*	
Date*	31/08/2022
Intervenants	
Code producteur*	13000672900029
Nom producteur	
Code préleveur*	13000672900029
Nom préleveur	
Code déterminateur*	13000672900029
Nom déterminateur	
Coordonnées	
Coordonnées X (LB 93)*	919031
Coordonnées Y (LB 93)*	6433795
Unité d'observation	
UO hors protocole macrophytes	non
Numéro d'unité d'observation*	2
Numéro du type de rive dominant	Type 4 : "Zones artificialisées ou subissant des pressions anthropiques visibles"
PRELEVEMENT SUR SUBSTRAT DUR	
Numéro d'inventaire <i>Omnidia</i> associé	20220600000003
Type de substrat dur	Pierres, galets
Colmatage	Léger colmatage
Profondeur maximale de la zone d'échantillonnage	0.15
PRELEVEMENT SUR SUBSTRAT VEGETAL	
Numéro d'inventaire <i>Omnidia</i> associé	
Type biologique végétal	
Nombre de tiges	
Nom latin du taxon	
Profondeur maximale de la zone d'échantillonnage	
PHYSICO-CHIMIE DU PLAN D'EAU	
Température (°C)	21.3
O ₂ dissous (mg/L)	8.4
Conductivité (µS/cm)	279
Saturation en O ₂ (%)	106
pH	8.7
INFORMATIONS COMPLEMENTAIRES	
Impacts humains visibles	oui
Distance à la rive (m)	1
Transparence disque de secchi (m)	2.8
Transparence déterminable au niveau de l'UO	oui
COMMENTAIRES	
Absence de support végétal prélevable	

Diatomées en plan d'eau - Données soutenant la biologie - IRSTEA-AFB - v1.0 - oct. 2017

*Donnée obligatoire pour le référencement de l'opération

IDENTIFICATION DE L'OPERATION DE PRELEVEMENT

Localisation	
Code opération	
Département	Isère
Code station*	W2405023
Libellé station	Pierre-Châtel (Lac de)
Nom du plan d'eau	Pierre-Châtel
Code point*	
Date*	31/08/2022

Intervenants	
Code producteur*	13000672900029
Nom producteur	
Code préleveur*	13000672900029
Nom préleveur	
Code déterminateur*	13000672900029
Nom déterminateur	

Coordonnées	
Coordonnées X (LB 93)*	919387
Coordonnées Y (LB 93)*	6434739

Unité d'observation	
UO hors protocole macrophytes	non
Numéro d'unité d'observation*	3
Numéro du type de rive dominant	Type 1 : "Zones humides caractéristiques"

PRELEVEMENT SUR SUBSTRAT DUR

Numéro d'inventaire Omidia associé	20220600000004
Type de substrat dur	Pierres, galets
Colmatage	Léger colmatage
Profondeur maximale de la zone d'échantillonnage	0.3

PRELEVEMENT SUR SUBSTRAT VEGETAL

Numéro d'inventaire Omidia associé	20220600000005
Type biologique végétal	Hélophytes
Nombre de tiges	10
Nom latin du taxon	<i>Phragmites australis</i>
Profondeur maximale de la zone d'échantillonnage	0.2

PHYSICO-CHIMIE DU PLAN D'EAU

Température (°C)	21.7
O ₂ dissous (mg/L)	8.4
Conductivité (µS/cm)	277
Saturation en O ₂ (%)	107
pH	8.7

INFORMATIONS COMPLEMENTAIRES

Impacts humains visibles	non
Distance à la rive (m)	2
Transparence disque de secchi (m)	2.8
Transparence déterminable au niveau de l'UO	oui

COMMENTAIRES

--	--

Listes floristiques

N° échantillon		20220600000001	20220600000002	20220600000003	20220600000004	20220600000005
Plan d'eau						
Unité d'Observation		UO1	UO1	UO2	UO3	UO3
Substrat		Pierres	Végétaux	Pierres	Pierres	Végétaux
Date de prélèvement		31/08/2022	31/08/2022	31/08/2022	31/08/2022	31/08/2022
Espèces de diatomées	Code (*IBD)	%	%	%	%	%
<i>Achnanthydium minutissimum</i> (Kützing) Cz	ADMI*	5.96	32.25	19	12.94	20.25
<i>Pantocsekiella costei</i> (Druart et F. Straub) I	PCOS*	10.17	5	3	26.37	8.75
<i>Pseudostaurosira brevistriata</i> (Grun.in Van	PSBR*	12.16	0.5	3.5	9.2	2.75
<i>Encyonopsis alpina</i> Krammer & Lange-Bertal	ECAL		3.5	14.75	0.25	5
<i>Encyonopsis minuta</i> Krammer & Reichardt	ECPM*		3.25	8	0.25	9.5
<i>Amphora indistincta</i> Levkov	AMID*	12.16		1.75	6.47	0.5
<i>Encyonopsis subminuta</i> Krammer & Reicha	ESUM*	0.74	4.25	5	0.25	8.75
<i>Fragilaria perdelicatissima</i> (W.Smith) Lang	FPDE	0.74	7.75	5	0.25	0.25
<i>Pseudostaurosira robusta</i> (Fusey) William	PRBS	10.92		0.5	1	0.25
<i>Encyonopsis neerlandica</i> Van de Vijver, Ve	ENEE	0.5	0.25	1.25	2.49	7.5
<i>Cocconeis neothumensis</i> Krammer var. neo	CNTH*	6.2	0.25	1	3.73	
STAUROSIRELLA D.M. Williams & F.E. Round	STRL	5.71	0.75	1	2.99	0.25
<i>Gomphonema minusculum</i> Krasske	GMIS		4.75	0.25		4.75
<i>Gomphonema lateripunctatum</i> Reichardt &	GLAT*	0.25	4	2.75	0.25	1.75
<i>Brachysira neglectissima</i> Lange-Bertalot	BNEG*		3.75	3	0.25	1.25
<i>Brachysira neoexilis</i> Lange-Bertalot	BNEO*		2.25	1.25	0.5	4
<i>Navicula cryptotenelloides</i> Lange-Bertalot	NCTO*		2.25	0.25	2.24	2.75
<i>Amphora pediculus</i> (Kützing) Grunow var. p	APED*	3.72	0.5	0.25	2.24	0.5
<i>Punctastriata ovalis</i> Williams & Round	POVA	4.47		0.5	1.24	0.75
<i>Karayevia clevei</i> (Grunow in Cl. & Grun.) Bul	KCLE*	4.47	0.25		1.24	
<i>Achnanthydium zhakovskikovii</i> M. Potapov	AZHA	2.48		2	1.24	
<i>Encyonopsis cesatii</i> (Rabenhorst) Krammer	ECES*		0.75	0.75		4
<i>Cymbella neoleptoceros</i> Krammer	CNLP*		1	3.75		0.5
FRAGILARIA H.C. Lyngbye	FRAG	0.25	4.75		0.25	
<i>Achnanthydium straubianum</i> (Lange-Bertal	ADSB*	0.99		1	2.49	0.5
<i>Cymbella parva</i> (W. Sm.) Kirchner in Cohn v	CPAR*			4.5		
<i>Navicula cryptotenella</i> Lange-Bertalot var. c	NCTE*	0.25	1.25	0.5	1.24	1
ACHNANTHIDIUM F.T. Kützing	ACHD			3	0.75	
<i>Achnanthydium druartii</i> Rimet & Couté in R	ADRU	1.99	0.5	0.5		0.5
<i>Navicula wildii</i> Lange-Bertalot	NWIL	0.25			2.24	0.75
<i>Fragilaria gracilis</i> Østrup	FGRA*	0.74	2.25			
<i>Navicula radiosa</i> Kützing var. radiosa	NRAD*		0.25	0.75	0.75	1
<i>Fragilaria amphicephaloides</i> Lange-Bertal	FAPO*	0.5	0.75	0.5	0.5	0.25
<i>Platessa conspicua</i> (A.Mayer) Lange-Bertal	PTCO*	0.99	0.5	0.25	0.75	
<i>Cymbopleura pyrenaica</i> Le Cohu et Lange-B	CBPY		1.25	0.5		0.5
<i>Gomphonema vibrio</i> Ehrenberg var. vibrio	GVIB		1.75	0.5		
<i>Cymbopleura kuelbsii</i> Krammer var. kuelbs	CBKU*	0.5		1.5		
<i>Gomphocymbellopsis ancylus</i> (Cleve) Kramm	GPAN			1	1	
BRACHYSIRA F.T. Kützing	BRAC		0.75			1
<i>Gomphonema tenocultum</i> Reichardt	GTNO		0.5	0.25		1
<i>Nitzschia oligotraphenta</i> (Lange-Bertalot) I	NIOG	0.74	0.75	0.25		
<i>Sellaphora utermoehlii</i> (Hustedt) C.E. Wetz	SEUT*	0.5			1.24	
<i>Fragilaria aquaplus</i> Lange-Bertalot & Ulric	FAQU	0.5	0.5	0.25		0.25
<i>Platessa zieglerei</i> (Lange-Bertalot) Lange-B	PZIE	0.5			1	
<i>Sellaphora stroemii</i> (Hustedt) Kobayasi in	SSTM*		0.25	0.75		0.5
<i>Planothidium rostratoholarcticum</i> Lange-B	PROH*	0.99			0.5	
<i>Achnanthydium affine</i> (Grun) Czarniecki	ACAF*			1.25		
<i>Cymbella cymbiformis</i> Agardh var. cymbifor	CCYM*					1.25
<i>Encyonopsis krammeri</i> Reichardt	ECKR*		0.75	0.5		
<i>Gomphonema hebridense</i> Gregory	GHEB*		0.25			1
<i>Navicula subalpina</i> Reichardt	NSBN		0.25	1		
<i>Planothidium frequentissimum</i> (Lange-Ber	PLFR*	0.5	0.25		0.5	
<i>Achnanthydium pyrenaicum</i> (Hustedt) Koba	ADPY*	1.24				
<i>Achnanthydium rosenstockii</i> var. inareolat	ARIN	0.5			0.5	
<i>Cocconeis placentula</i> var. lineata (Ehrenbe	CPLI*	0.5			0.5	
<i>Cymbella neolanceolata</i> W. Silva	CNLC*					1
<i>Encyonema ventricosum</i> (Kützing) Grunow i	ENVE*		1			
<i>Fragilaria tenera</i> (W. Smith) Lange-Bertalot	FTEN*					1
<i>Gomphonema auritum</i> A.Braun ex Kützing	GAUR		1			

Etude des plans d'eau du programme de surveillance des bassins Rhône-Méditerranée - Rapport de données brutes et interprétation 2022 – Lac de Pierre-Châtel (38)

N° échantillon		20220600000001	20220600000002	20220600000003	20220600000004	20220600000005
Plan d'eau						
Unité d'Observation		UO1	UO1	UO2	UO3	UO3
Substrat		Pierres	Végétaux	Pierres	Pierres	Végétaux
Date de prélèvement		31/08/2022	31/08/2022	31/08/2022	31/08/2022	31/08/2022
Espèces de diatomées		Code (*IBD)	%	%	%	%
Halamphora thumensis (A.Mayer) Levkov	HTHU	0.5			0.5	
NITZSCHIA A.H. Hassall	NITZ				1	
Pseudostaurosira parasitica (W.Smith) Moe	PPRS*	0.25			0.25	0.5
COCCONEIS C.G. Ehrenberg	COCO	0.99				
Gomphonema minutum (Agardh) Agardh f.	GMIN*	0.99				
Staurosira venter (Ehrenberg) Cleve et Moe	SSVE*	0.74	0.25			
Adlafia bryophila (Petersen) Lange-Bertalot	ABRY*				0.75	
Denticula tenuis Kützing var. tenuis	DTEN*				0.75	
Denticula tenuis var. crassula (Naegeli in H	DTCR*				0.75	
Encyonema silesiacum (Bleisch in Rabh.) D	ESLE*	0.5			0.25	
Navicula gottlandica Grunow in Van Heurcl	NGOT	0.25			0.5	
NAVICULA J.B.M. Bory de St. Vincent	NAVI		0.5	0.25		
Navicula oligotraphenta Lange-Bertalot & I	NOLI*					0.75
Navicula tripunctata (O.F.Müller) Bory var. t	NTPT*			0.25	0.5	
Nitzschia denticula Grunow in Cleve et Gru	NDEN*					0.75
Pantocsekiella comensis (Grunow in Van H	PCMS*				0.75	
Ulnaria biceps (Kützing) Compère	UBIC*					0.75
AMPHORA C.G. Ehrenberg ex F.T. Kützing	AMPH	0.5				
Amphora vetula Levkov, var. vetula	AVTU*	0.5				
Cymbella affiniformis Krammer	CAFM*					0.5
Cymbella subhelvetica Krammer	CSBH			0.5		
CYMBOPLEURA (Krammer) Krammer	CBPL				0.5	
Cymbopleura amphicephala (Nägeli) Kram	CBAM*			0.5		
Diploneis callicacustris Lange-Bertalot et	DCAL	0.25			0.25	
EPITHEMIA F.T. Kützing	EPIT			0.5		
HALAMPHORA (Cleve) Levkov	HALA				0.5	
Navicula capitatoradiata Germain	NCPR*	0.25	0.25			
Navigeia schoenfeldii (Hust.) Bukhtiyarova	NGSH*				0.5	
Nitzschia dissipata subsp. dissipata (Kützi	NDIS*		0.25		0.25	
Punctulata balatonis (Pantocsek) Wojtla	PUBA*					0.5
Rhopalodia gibba (Ehr.) O.Müller var. gibba	RGIB*				0.5	
Sellaphora raederae (Lange-Bertalot) C.E. V	SRAE		0.5			
Staurosira construens Ehrenberg var. const	SCON*	0.25			0.25	
Achnanthis linearis W.Smith	ACLI*		0.25			
Adlafia langebertalotii Monnier et Ector	ALBL				0.25	
Amphipleura pellucida Kützing	APEL*		0.25			
Aulacoseira ambigua (Grunow) Simonsen	AAMB*				0.25	
Cymbella lange-bertalotii Krammer	CLBE			0.25		
Delicata delicatula (Kützing) Krammer	DDEL*				0.25	
Denticula kuetzingii Grunow	DKUE*	0.25				
Encyonema auerswaldii Rabenhorst	EAUE*		0.25			
Encyonema caespitosum Kützing var. caesp	ECAE*					0.25
Encyonema minutum (Hilse in Rabh.) D.G. f	ENMI*					0.25
Epithemia adnata (Kützing) Brébisson var.	EADN*				0.25	
Eucocconeis laevis (Østrup) Lange-Bertalot	EULA*	0.25				
Eunotia arcubus Nörpel-Schempp et Lange	EARB					0.25
Fallacia subhamulata (Grunow in Van Heu	FSBH*	0.25				
Fragilaria crotonensis Kitton var. crotonens	FCRO*			0.25		
Fragilaria saxoplanctonica Lange-Bertalot	FSXP		0.25			
GEISSLERIA Lange-Bertalot & Metzeltin	GEIS				0.25	
GOMPHONEMA C.G. Ehrenberg	GOMP				0.25	
Gomphonema occultum Reichardt & Lange	GOCU*			0.25		
Navicula praeterita Hustedt	NPRA*	0.25				
Nitzschia lacuum Lange-Bertalot	NILA*		0.25			
Nitzschia wuellerstorffii Lange-Bertalot	NWUE*				0.25	
Ulnaria grunowii (Lange-Bertalot et Ulrich)	UGRU*		0.25			
diversité	115	49	50	49	59	44

VI. Comptes-rendus des campagnes IML

Description des prélèvements réalisés									
Nom du lac :	Pierre Châtel		Remarques : Plus de GA que de BD sur le pourtour du lac.						
Code lac :	W2405023		Présence d'exuvies et d'adultes de chironomes et quelques éphémères en vol.						
Opérateurs :	Claire Perrier et Cédric Guillet		Les hélophytes (roseaux) sont peu développés.						
Date :	27/04/2022		La température de surface moyenne atteint 13,4°C.						
CONDITIONS DE PRELEVEMENT									
<u>Météo :</u>	ensoleillé	<input checked="" type="checkbox"/>	Echantillon	Sub. théorique	Sub. observé	Profondeur (m)	Coord. X (L93)	Coord. Y (L93)	Commentaires / obs.
	fai. [†] nuageux	<input type="checkbox"/>	1	GA+HE	GA+HE	0,5	918812	6433784	+algues
	humide	<input type="checkbox"/>	2	GA	GA	0,5	918635	6433907	+algues + 3 ephemera relâchées
	pluie fine	<input type="checkbox"/>	3	BD	BD	0,9	918569	6434018	+algues + litières
	orage	<input type="checkbox"/>	4	BD+HE	BD+HE	0,55	918391	6434386	+algues
	fort. [†] nuageux	<input type="checkbox"/>	5	BD	BD	0,8	918334	6434690	
	crépuscule	<input type="checkbox"/>	6	BD+HE	BD+HE	0,7	918404	6434784	+algues
		<input type="checkbox"/>	7	GA	GA	0,6	918849	6434843	2 ephemera relâchées
<u>Limpidité :</u>	Limpide	<input checked="" type="checkbox"/>	8	BD	BD	0,7	918998	6434824	+algues
	Trouble +	<input type="checkbox"/>	9	VA+HE	VA+HE	0,9	919314	6434790	
	Trouble ++	<input type="checkbox"/>	10	GA+HE	GA+HE	0,5	919443	6434643	+algues
		<input type="checkbox"/>	11	GA	GA	0,7	919490	6434539	+algues
<u>Visibilité du substrat :</u>		<input type="checkbox"/>	12	BD	BD	0,7	919580	6434355	
	Bonne	<input checked="" type="checkbox"/>	13	GA	GA	0,5	919486	6434141	1 ephemera relâchée + litières
	Moyenne	<input type="checkbox"/>	14	GR	GR	0,5	919371	6434048	
	Faible	<input type="checkbox"/>	15	GR	GR	0,5	919241	6433959	1 ephemera relâchée
	Non visible	<input type="checkbox"/>							
<u>Signes d'émergence :</u>	Légende substrats : VA = vase (<0.002mm); SL = sable (>2mm); GR = graviers (2mm-2cm); GA = galets (2-20cm) ; BD = bloc-dalle (>20cm)								
	oui	<input checked="" type="checkbox"/>	He = hélophytes						
	non	<input type="checkbox"/>							
<u>Marnage :</u>	oui	<input type="checkbox"/>							
	non	<input checked="" type="checkbox"/>							
si oui h estim. :									
cote (en m) :									
si connue									

Informations hydrologiques du plan d'eau	
Region	<i>Rhône Alpes</i>
Numero_Dept	<i>38</i>
Nom_Dept	<i>Isère</i>
code_lac	<i>W2405023</i>
Nom_Lac	<i>Pierre Châtel</i>
Typologie nationale DCE	<i>Lac de moyenne montagne calcaire peu profond (N3)</i>
Type Lac (Naturel, Artif., Reserv.)	<i>Naturel</i>
Superficie (ha)	<i>97</i>
Profondeur max théorique (m)	<i>10</i>
Temps de séjour (j)	<i>nd</i>
Altitude (m)	<i>923</i>
Cote maximale 2021-2022	<i>NC</i>
Mois cote maximale 2021-2022	<i>NC</i>
Cote minimale 2021-2022	<i>NC</i>
Mois cote minimale 2021-2022	<i>NC</i>
Cote jour du prélèvement (m)	<i>NC</i>
Durée d'immersion permanente jour du prélèvement (j)	<i>> 30 j</i>